## UNIVERSIDAD NACIONAL DE SAN ANTONIO ABAD DEL CUSCO

# FACULTAD DE INGENIERÍA ELÉCTRICA, ELECTRÓNICA, INFORMÁTICA Y MECÁNICA

## ESCUELA PROFESIONAL DE INGENIERÍA MECÁNICA



**TESIS** 

DISEÑO Y CONSTRUCCIÓN DE UN MÓDULO PARA EL ESTUDIO DE LA ABSORCIÓN DINÁMICA DE VIBRACIONES TORSIONALES

#### PRESENTADO POR:

Bach. RAUL BOLIVAR MORA

Bach. RUTH MARITZA CUYO LIPA

PARA OPTAR EL TÍTULO PROFESIONAL DE

INGENIERO MECÁNICO

**ASESOR:** 

Dr.Ing. DAVID REYNALDO BERRIOS BARCENA

CUSCO - PERÚ

2025

#### INFORME DE ORIGINALIDAD

(Aprobado por Resolución Nro.CU-303-2020-UNSAAC)

DE UN M	Asesor del trabajo de investigación/tesistitulada: DISEÑO Y ODULO PARA EL ESTUDIO DE LA ABSORCIÓN CIONES TORSIONALES	DINÉMICA
presentado por:	Bach RAUL BOLIVAR MORA DNI Nº .  Bach RUTH MARITZA CVYO LIPA DNI Nº :  ulo profesional/grado académico de INGENIERO MECA	70122233
Software Antipl <i>UNSAAC</i> y de la	trabajo de investigación ha sido sometido a revisión por .Q.2 agio, conforme al Art. 6° del <i>Reglamento para Uso de Sistem</i> evaluación de originalidad se tiene un porcentaje de%. nes del reporte de coincidencia para trabajos de investigación conducentes título profesional, tesis	na Antiplagio de la
Porcentaje	Evaluación y Acciones	Marque con una (X)
Del 1 al 10%	No se considera plagio.	X
Del 11 al 30 %	Devolver al usuario para las correcciones.	
Mayor a 31%	El responsable de la revisión del documento emite un informe al inmediato jerárquico, quien a su vez eleva el informe a la autoridad académica para que tome las acciones correspondientes. Sin perjuicio de las sanciones administrativas que correspondan de acuerdo a Ley.	

Por tanto, en mi condición de asesor, firmo el presente informe en señal de conformidad y **adjunto** las primeras páginas del reporte del Sistema Antiplagio.

Cusco, 17 de Julio de 20.25

Firma

POST FIRM DAVID REYNALDO BERRIOT BARCENA

Nro. de DNI 23977639

ORCID del Asesor. 0000 - 0001 - 5660 - 6616.

#### Se adjunta:

- 1. Reporte generado por el Sistema Antiplagio.
- 2. Enlace del Reporte Generado por el Sistema Antiplagio: oid: 27 259:474413122?/locale=es-MX

## **BOLIVAR CUYO**

## Proyecto\_de\_Tesis.pdf



Universidad Nacional San Antonio Abad del Cusco

#### **Detalles del documento**

Identificador de la entrega trn:old::;27259;474413122

Fecha de entrega 17 jul 2025, 9:07 a.m. GMT-5

Fecha de descarga 17 jul 2025, 10:37 a.m. GMT-5

Nombre de archivo Proyecto\_de\_Tesis.pdf

Tamaño de archivo 18.8 MB

156 Páginas

33,409 Palabras

169.111 Caracteres

Página 2 of 166 - Descripción general de integridad

## 6% Similitud general

El total combinado de todas las coincidencias, incluidas las fuentes superpuestas, para ca...

#### Filtrado desde el informe

Bibliografía

#### **Exclusiones**

N.º de coincidencias excluidas

#### **Fuentes principales**

1% Publicaciones

4% La Trabajos entregados (trabajos del estudiante)

### Marcas de integridad

N.º de alertas de integridad para revisión

Caracteres reemplazados

101 caracteres sospechosos en N.º de páginas Las letras son intercambiadas por caracteres similares de otro alfabeto.

Texto oculto

2 caracteres sospechosos en N.º de página

El texto es alterado para mezclarse con el fondo blanco del documento.

Los algoritmos de nuestro sistema analizan un documento en profundidad para buscar inconsistencias que permitirian distinguirlo de una entrega normal. Si advertimos algo extraño, lo marcamos como una alerta para que pueda revisarlo.

Una marca de alerta no es necesariamente un indicador de problemas. Sin embargo, recomendamos que preste atención y la revise.



A mi madre, cuyo rezo es luz en mi camino y refugio en la tormenta.

 $A\ mis\ hermanos\ por\ su\ apoyo\ permanente\ e\ incondicional.$ 

Bolivar Mora, Raul

A mi madre Aurelia, y a mis hermanos Rody y Sofía.

Cuyo Lipa, Ruth Maritza

## A grade cimientos

Expresamos nuestra profunda gratitud al Dr. Ing. Berrios Barcena, David Reynaldo por su valiosa guía, paciencia y dedicación durante el desarrollo de esta tesis. Su conocimiento y orientación fueron fundamentales para llevar a cabo esta investigación.

Agradecemos a los docentes de la Escuela Profesional de Ingeniería Mecánica, quienes, con su compromiso y entrega en nuestra formación académica, nos han proporcionado las bases necesarias para enfrentar este desafío.

Extendemos nuestro agradecimiento a nuestros amigos y compañeros, quienes han brindado su apoyo, compañía y colaboración, haciendo de este proceso una experiencia enriquecedora y llevadera.

## Resumen

La presente investigación se centra en el estudio de la absorción dinámica de vibraciones torsionales a través del diseño y construcción de un módulo. Se analizaron los parámetros que intervienen en la generación y atenuación de dichas vibraciones y, aplicando la directriz VDI 2221 se obtuvo el concepto de solución óptimo que se compone de una junta universal como mecanismo para la generación de vibraciones torsionales y péndulos simples como elementos de absorción.

Para comprender la fuerza que genera la deformación torsional en el resorte, se planteó un modelo conceptual de acuerdo a los lineamientos expuestos en la directriz VDI 3843-1 para un grado de libertad del sistema, en función del ángulo de deformación. El modelo conceptual es sencillo, capaz de resolverse analíticamente, fue validado mediante simulación numérica y experimental, obteniéndose una alta precisión en la evaluación del modelo planteado.

A partir de las características identificadas en el modelo conceptual, se realizaron los cálculos preliminares necesarios para inducir vibración torsional en el sistema, al sintonizar su frecuencia natural con el segundo armónico de la fuente de excitación. Posteriormente, se modeló el sistema considerando los péndulos simples para la absorción dinámica de las vibraciones torsionales; y dio lugar a ecuaciones diferenciales no lineales de segundo orden. Por la complejidad de las ecuaciones, se recurrió al uso de métodos numéricos (Runge-Kutta), para obtener la respuesta del sistema en el tiempo. En la simulación numérica se demostró que el incremento de masa mejora la atenuación de las vibraciones torsionales.

El resorte fue diseñado para que la deformación sea visualmente perceptible y no fallar bajo las cargas a las que estará sometido. En la parte experimental, los ensayos confirmaron que el incremento de la masa en los péndulos optimiza la atenuación, alcanzando hasta un  $51\,\%$  de reducción en la deformación del resorte para una masa de  $180~{\rm gr}.$ 

La validación numérica y experimental confirmaron que el sistema responde adecuadamente bajo condiciones controladas de resonancia, destacando su eficacia como herramienta para el estudio y comprensión del fenómeno de vibraciones torsionales.

Palabras clave: Vibraciones torsionales, Absorbedor dinámico, Resonancia y Péndulo centrífugo.

## Abstract

This research focuses on the study of dynamic absorption of torsional vibrations through the design and construction of an experimental module. The parameters involved in the generation and attenuation of these vibrations were analyzed, and by applying the VDI 2221 guideline, an optimal solution concept was developed. This concept consists of a universal joint as the mechanism for generating torsional vibrations and simple pendulums as absorption elements.

To understand the force causing the torsional deformation in the spring, a conceptual model was proposed based on the guidelines of VDI 3843-1 for a single degree of freedom system, expressed as a function of the deformation angle. This simple model, analytically solvable, was validated through numerical simulation and experimental testing, achieving high accuracy in its evaluation.

Using the parameters identified in the conceptual model, preliminary calculations were performed to induce torsional vibration by tuning the system's natural frequency to the second harmonic of the excitation source. The system was subsequently modeled considering simple pendulums as dynamic absorbers of torsional vibrations, resulting in nonlinear second-order differential equations. Due to the complexity of these equations, numerical methods — specifically the Runge-Kutta method — were used to obtain the time response of the system. Numerical simulations showed that increasing the pendulum mass improves the attenuation of torsional vibrations.

The spring was designed to exhibit a visually perceptible deformation without failure under the applied loads. Experimental tests confirmed that increasing the pendulum mass enhances attenuation, achieving up to a  $51\,\%$  reduction in spring deformation with a mass of  $180~\mathrm{g}$ .

The combined numerical and experimental validation confirmed that the system responds effectively under controlled resonance conditions, highlighting its usefulness as a tool for studying and understanding the phenomenon of torsional vibrations.

Keywords: Torsional vibrations, Dynamic absorber, Resonance, Centrifugal pendulum.

## Introducción

Las vibraciones torsionales son inevitables en sistemas rotativos y alternantes. El problema radica cuando las oscilaciones angulares se amplifican debido a factores relacionados con el proceso de manufactura, a la mala instalación de engranajes, o es propio del funcionamiento de motores de combustión interna, bombas, compresores y turbomáquinas; que pueden ocasionar fallas por fatiga debido a la presencia de cargas variables. Por lo expuesto anteriormente, el análisis de la vibración torsional preliminar en el proceso de diseño, es fundamental para evitar que la máquina opere en resonancia y así garantizar su funcionamiento.

El uso de absorbedores dinámicos es una estrategia bastante estudiada para atenuar las vibraciones torsionales en sistemas mecánicos. Estos absorben y disipan la energía de las oscilaciones torsionales no deseadas, mejorando así la estabilidad y reduciendo el riesgo de daños en los componentes mecánicos. De acuerdo con la literatura revisada, los Absorbedores de Vibración de tipo Péndulo Centrífugo (CPVA) son los más eficaces en contraste con los volantes de inercia bimasa, extendiendo su aplicación principalmente en motores de combustión interna.

El objetivo principal de la investigación es estudiar la atenuación de las vibraciones torsionales con la implementación de un absorbedor dinámico a través del diseño y construcción de un módulo. Se analizarán los parámetros para caracterizar sistemas rotativos y alternantes utilizando mecanismos que generen torques (fuentes de excitación periódicas). El diseño del módulo, tanto para la generación como para la atenuación de la vibración torsional, se realizará de acuerdo a la metodología alemana VDI 2221. Posteriormente, se llevarán a cabo pruebas de funcionamiento en condiciones de resonancia con la finalidad de demostrar la función atenuante del CPVA.

A lo largo de esta tesis, se abordarán aspectos relacionados con la teoría de las vibraciones torsionales, el modelado del sistema físico, la solución de EDOs no lineales mediante métodos numéricos (Runge-Kutta), el diseño y la fabricación del módulo, así como la etapa de pruebas de funcionamiento. La presente investigación contribuirá al mejor entendimiento de la atenuación de las vibraciones torsionales en la formación académica.

# Índice General

R	esum	en	• • • • • • • • • • • •				• •	•	• •	•	 •	•	•	•		•	•	III
$\mathbf{A}$	bstra	ct																IV
In	trodi	ıcción																V
Li	ista de Figuras																	
	ista de Tablas																	
1			enerales															1
_	_		Geográfico															1
			miento del Problema .															2
	1.2.		Problemática															2
	1.3.		ción del Problema															2
			Problema General															2
			Problemas Específicos															3
	1.4.		ción															3
	1.5.	Objeti	os															4
		1.5.1.	Objetivo General															4
		1.5.2.	Objetivos Específicos .															4
	1.6.	Hipóte	S															4
		1.6.1.	Hipótesis General															4
		1.6.2.	Hipótesis Específico															5
	1.7.	Variab	es															5
		1.7.1.	ndependientes															5
		1.7.2.	Dependientes															5
	1.8.	Alcand	s														•	5
	1.9.	Delim	aciones														•	6
	1.10.		logía															6
		1.10.1	Proceso de Desarrollo de	el Tral	bajo								•		•	•		7
2	Mar	co Te	ico															9
	2.1.	Antece	entes de Investigación															9
	2.2.	Metod	logía del Diseño															10
	2.3.	Vibra	on Torsional										_					12

		2.3.1.	Vibración Torsional Libre
		2.3.2.	Vibración Torsional Forzada
			Modos de Vibración
		2.3.3.	Diferencias Clave entre la Vibración Lateral y Torsional
		2.3.4.	Mecanismos para la Generación de Vibración Torsional
		2.3.5.	Absorbedores de Vibración de Péndulo Centrífugo (CPVA)
	2.4.	Series	de Fourier
	2.5.	Búsqu	eda de Principios de Solución para el Diseño
		2.5.1.	Catálogos para el Sistema Generador de Vibraciones Torsionales .
		2.5.2.	Trabajos de Investigación
		2.5.3.	Sistema Atenuador
3	Dise	eño Co	onceptual del Módulo
	3.1.	Comp	rensión de la Solicitud
		3.1.1.	Lista de Exigencias
	3.2.	Conce	pción de la Solicitud
		3.2.1.	Abstracción (Black Box)
		3.2.2.	Estructura de funciones
		3.2.3.	Conceptos de Solución
	3.3.	Proyec	eto Preliminar Óptimo
		3.3.1.	Selección de Variantes de solución
		3.3.2.	Evaluación Técnica y Económica
4	Mod	delado	y Simulación Numérica
	4.1.	Anális	is Dinámico del Sistema
		4.1.1.	Junta Universal
		4.1.2.	Ecuaciones de Movimiento del Sistema
	4.2.	Simula	ación Numérica de las Ecuaciones de Movimiento
		4.2.1.	Solución del Sistema Sin Absorbedor
		4.2.2.	Solución del Sistema Lineal
		4.2.3.	Solución del Sistema no Lineal
5	Dise	eño Me	ecánico del Módulo
	5.1.	Cálcul	o y selección de Componentes
		5.1.1.	Selección del Motor
		5.1.2.	Selección del Variador de Frecuencia
		5.1.3.	Selección de la Junta Universal
		5.1.4.	Cálculo del Resorte
		5.1.5.	Cálculo del eje
		5.1.6.	Cálculo de la Chaveta
		5.1.7.	Selección de Rodamiento

		5.1.8.	Uniones Atornilladas
		5.1.9.	Cálculo de Soldadura
		5.1.10.	Selección de Anillos de Retención
		5.1.11.	Análisis de Esfuerzos en los Prisioneros de Sujeción
		5.1.12.	Limitación de Movimiento del Péndulo
	5.2.	Anális	is Modal del Módulo
6	Con	strucc	ión y Experimentación
	6.1.	Proces	o de Construcción
		6.1.1.	Costos de Construcción del Módulo
		6.1.2.	Instrucciones de Funcionamiento del Módulo
	6.2.	Prueba	as de Ensayo
		6.2.1.	Modelo a Ensayar
		6.2.2.	Lugar de Prueba
		6.2.3.	Equipos y Materiales
		6.2.4.	Capacitación del uso del Módulo
		6.2.5.	Recolección de Datos
Co	onclu	siones	
Re	ecom	endaci	ones
Bi	bliog	rafía	
Aı	iexos	S	
$\mathbf{A}$	Cata	álogos	y Fichas Técnicas
В	Cot	ización	de Equipos Comerciales
$\mathbf{C}$	Form	nato d	e Inspección y Experimentación
D	Figu	ıras y	Tablas para el Diseño
${f E}$			e Matlab
		•	o de Respuesta del Sistema no Linealizado
		_	o para la Obtención de la Amplitud pico de la Deformación Torsional
		_	ocidad
	E 3		para el Procesamiento de Imagenes

# Lista de Figuras

1.1.	Ubicación del centro de mecanizado de Ingeniería Mecánica	1
1.2.	Proceso generalizado para el desarrollo y diseño VDI 2221	8
2.1.	Vibración libre y forzada	12
2.2.	Sistema torsional con dos discos montados sobre una flecha	13
2.3.	Modo torsional de vibración	14
2.4.	Torque no dimensional del péndulo durante un período completo de	
	movimiento sinusoidal. [1] $\dots \dots \dots \dots \dots \dots \dots \dots \dots$	17
2.5.	Tipos de absorbedores dinámicos torsionales	17
2.6.	Función periódica	18
2.7.	Equipo de estudio de vibraciones torsionales	19
2.8.	Equipo para el estudio de las Vibraciones torsionales libres y forzadas Gunt	19
2.9.	Equipo para el estudio de vibraciones torsional Armfield	20
2.10.	Banco de pruebas de vibraciones laterales y torsionales	21
2.11.	Esquema de un sistema generador de vibración torsional	23
2.12.	Amortiguador de vibraciones rotativo con péndulo de fuerza centrifuga   .	26
2.13.	Absorbedor de vibraciones de péndulo centrífugo	26
2.14.	Conjunto de péndulo para volante de doble masa	27
3.1.	Black Box	30
3.2.	Subfuciones esenciales	30
3.3.	Estructura de funciones	31
3.4.	Matriz morfológica de Zwicky	33
3.5.	Combinación de principios de solución de acuerdo con la Fig. 3.4 $$	34
3.6.	Concepto de solución 1	35
3.7.	Concepto de solución 2	36
3.8.	Concepto de solución 3	37
3.9.	Concepto de solución 4	38
3.10.	Concepto de solución 5	39
3.11.	Concepto de solución 6	40
3.12.	Concepto de solución 7	41
3.13.	Ponderación para la evaluación técnica	44
3.14.	Ponderación para la evaluación económica	45

3.15.	Criterio de evaluación	47
4.1.	Junta de Hooke	48
4.2.	Variación de la velocidad angular causada por el ángulo de unión entre los	
	ejes de entrada y salida	49
4.3.	Variación de la aceleración angular causada por el ángulo de unión entre	
	los ejes de entrada y salida	50
4.4.	Variación del momento inercial adimensional en función del ángulo $\theta_1$	53
4.5.	Modelo físico del sistema sin péndulo	54
4.6.	Modelo físico del sistema	54
4.7.	Respuesta analítica del sistema	60
4.8.	Amplitud de deformación pico del resorte sin péndulo	60
4.9.	Amplitud de deformación para diferentes coeficientes de amortiguamiento	
	del sistema	61
4.10.	Respuesta numérica del sistema sin absorbedor	63
4.11.	Respuesta del sistema linealizado con absorbedor, para una masa de 180 gr	63
4.12.	Respuesta del sistema no linealizado con absorbedor, con una masa de 180	
	gr	65
4.13.	Amplitud total vs velocidad angular del motor	66
5.1.	Diagrama de fuerza cortante y momento flector del eje principal	72
5.2.	Cruceta de conexión	73
5.3.	Uniones atornilladas del soporte doble	74
5.4.	Ubicación de los soportes y el centro de gravedad	75
5.5.	Soporte de la base principal	76
5.6.	Distribución de cargas	76
5.7.	Gráfica de la restricción de desplazamiento axial del péndulo mediante	
	anillos de retención	77
5.8.	Diagrama de esfuerzo cortante puro	78
5.9.	Gráfica de la restricción del movimiento angular del péndulo	80
5.10.	Modelo simplificado del módulo para el análisis modal	81
5.11.	Enmallado del modelo	82
5.12.	Relación de aspecto	82
5.13.	Primer modo - Frecuencia natural de 63.6 Hz	84
5.14.	Segundo modo - Frecuencia natural de 78.1 Hz	84
5.15.	Tercer modo - Frecuencia natural de 97.0 Hz	85
5.16.	Cuarto modo - Frecuencia natural de 127.0 Hz	85
5.17.	Quinto modo - Frecuencia natural de 133.0 Hz	86
5.18.	Sexto modo - Frecuencia natural de 176.5 Hz	86

6.1.	Torneado del volante de inercia	88
6.2.	Volante de inercia	89
6.3.	Acople de resorte	89
6.4.	Montaje del eje del péndulo en el volante de inercia	90
6.5.	Junta universal con prisioneros de sujeción	90
6.6.	Prueba de alineamiento de eje de motor y junta universal	91
6.7.	Base secundaria	91
6.8.	Base principal	92
6.9.	Taladrado del péndulo	92
6.10.	. Ejes del péndulo	93
6.11.	. Restricción de desplazamiento axial del péndulo mediante anillos de retención	93
6.12.	Tapas para los soportes	93
6.13.	Pintura anticorrosiva aplicada a los componentes del módulo	94
6.14.	Pintado y acabado del módulo	95
6.15.	Soporte del volante de inercia	95
6.16.	. Ángulo entre el eje conductor y el conducido	96
	Módulo experimental	96
6.18.	Equipos y materiales	102
6.19.	Presentación del comportamiento del módulo	103
6.20.	Presentación del módulo	103
6.21.	a) Torcimiento del resorte en la dirección de la velocidad angular, b)	
	Atenuación de la vibración torsional para una masa de péndulo de 180 gr.	104
6.22.	a) y b) Punto de inflexión para ambas condiciones.	104
6.23.	a) Torcimiento del resorte en dirección contraria a la velocidad angular, b)	
	Atenuación de la vibración torsional para una masa de péndulo de 180 gr.	105
6.24.	. En las figuras en lado izquierdo se muestra el sistema en resonancia sin	
	el absorbedor y el lado derecho se muestra su atenuación para diferentes	
	masas. a) Masa de 45 gr, b) Masa de 90 gr, c) Masa de 135 gr y d) Masa	
	de 180 gr	106
Λ 1	Ficha técnica Motor WEG 0.5HP IV Polos	118
	Variador de frecuencia	119
	Altitud de funcionamiento del variador de frecuencia	120
	Datos de dimensiones de la junta universal tipo D y HD	120
	Puesta en Marcha Rápida Sinamics V20	120
	Ficha técnica del eje	121
	Ficha técnica del Rodamiento 16002-2z	123
	Ficha técnica del Rodamiento 624-2z	123 124
11.0.		144
B.1.	Cotización Equipos GUNT	125

Cotización Equipos EDIBON	126
Formato de Inspección	127
Ficha de Experimentación para el Estudio de la Absorción Dinámica de	
Vibraciones Torsionales	128
Sensibilidad a la muesca sometidos a flexión inversa de cargas axiales inversas.	.129
Sensibilidad a la muesca de materiales sometidos a torsión inversa	129
Eje redondo con filete en torsión	130
Eje redondo con filete en flexión	130
Dimensiones del anillo de retención	132
Ejemplo de instalación	132
	Formato de Inspección

## Lista de Tablas

2.1.	Comparaciones de algunos modelos procedimentales de diseño	11
2.2.	Fuentes de excitación de vibración torsional	15
2.3.	Principales características del módulo de Edibon	19
2.4.	Principales características del módulo de Gunt	20
2.5.	Principales características del módulo de Armfield	21
2.6.	Principales características del módulo desarrollado	22
2.7.	Valores de parámetros del actuador	23
2.8.	Atenuadores investigados para la reducción de vibraciones torsionales	25
3.1.	Selección sistemática	43
3.2.	Evaluación técnica	46
3.3.	Evaluación económica	46
4.1.	Valores del coeficiente $b_2$ para diferentes valores de $\beta$	51
4.2.	Valores de los parámetros vibratorios	57
4.3.	Variación de las frecuencias naturales y el Porcentaje de atenuación a	
	diferentes masas de péndulo	65
5.1.	Parámetros a considerar para la selección del variador de frecuencia	68
5.2.	Propiedades geométricas del resorte	69
5.3.	Constantes A y m de $S_{ut}$ para estimar la resistencia de tensión mínima de alambres para fabricar resortes comunes	70
5.4.	Esfuerzos flexionantes máximos recomendados para resortes helicoidales a	10
0.1.	torsión en aplicaciones cíclicas como porcentaje de $S_{ut}$	70
5.5.	Cuñas estándar en medidas métricas para ejes $\dots \dots \dots \dots$	72
5.6.	Porcentaje de participación de masa	83
0.0.	Torcentage de participación de masa	00
6.1.	Costos de construcción	99
6.2.	Costos de ingeniería	100
6.3.	Estimación de costo total	100
6.4.	Comparación de valores experimentales con los valores simulados	105
D.1.	Valores orientativos de la vida especificada de los diferentes tipos de	
	máquinas	131

D.2.	Especificaciones	de las	dimensiones	del anillo	de retención de t	ipo normal	
	y la ranura						132

## Lista de Siglas

## Siglas

DMF : Dual-mass flywheel (Volante Bimasa).

CPVA : Centrifugal Pendulum Vibration Absorber (Absorbedor de

Vibraciones de Péndulo Centrífugo).

CDPVA : Centrifugal Double Pendulum Vibration Absorber (Absorbedor de

Vibraciones de Doble Péndulo Centrífugo).

HBM : Harmonic Balance Method (Método de Equilibrio Armónico).
 NES : Nonlinear energy sinks (Disipador de Energía No Lineal).

VDI : Verein Deutscher Ingenieure (Asociación Alemana de Ingenieros).

TIMS : Time-Interval Measurement Systems (Sistema de Medición de

Intervalo de Tiempo).

ASTM : American Society for Testing and Materials (Sociedad Estadounidense

para Pruebas y Materiales).

KDF : Kinematically Driven Flywheel (Volante Accionado

Cinemáticamente).

ATTVA: Adaptative Torsional Tuned Vibration Absorber (Absorsor de

vibración sintonizado torsional adaptativo).

MRE : Magneto Rheological Elastomer (Elastómero Magneto Reológico).

## 1 | Aspectos Generales

## 1.1. Ámbito Geográfico

La etapa de fabricación y las pruebas de funcionamiento del módulo, serán realizadas en la Unidad de Enseñanza (Maquicentro) de la Universidad Nacional de San Antonio Abad del Cusco, ubicada en la Av. de La Cultura 220.



Fig. 1.1. Ubicación del centro de mecanizado de Ingeniería Mecánica.[2]

## 1.2. Planteamiento del Problema

#### 1.2.1. Problemática

Las vibraciones torsionales se originan por fuerzas asociadas al movimiento alternativo, a la variación cíclica de la presión en los cilindros de motores de combustión interna y compresores alternativos, así como por imperfecciones en elementos de máquinas que transmiten potencia [3, pp 3 - 4]. Estas vibraciones pueden dar lugar a la fatiga de los componentes, definida por la ASTM [4] como el proceso de cambio estructural permanente, progresivo y localizado que puede culminar en grietas o fracturas completas después de un número suficiente de fluctuaciones. La vibración torsional es la causa más común de rotura en dientes de engranajes [5, pp 51] y agrietamiento en turbinas de gas, turbinas de vapor y centrales nucleares [6]. Por este motivo, la atenuación de las vibraciones torsionales en sistemas mecánicos es de gran relevancia y representa un desafío en los diversos entornos industriales.

En las últimas décadas, la atenuación óptima de este fenómeno se ha logrado mediante la implementación de un Volante de Inercia Bimasa, conocida como DMF por sus siglas en ingles. Sin embargo, la creciente demanda de reducir aún más la indeseable vibración ha sido motivo de investigación. Actualmente, la implementación de Absorbedores de Vibración de Péndulo Centrífugo (CPVAs) ha logrado resultados aún más satisfactorios que los DMFs [7].

Los equipos actuales para el estudio de este fenómeno son altamente costosos y son casi nulos los que incluyen la experimentación de la absorción dinámica. Al día de hoy, el laboratorio de vibraciones mecánicas de la escuela profesional de Ingeniería Mecánica carece de un módulo que permita el análisis y la experimentación de la absorción dinámica torsional para reforzar los conocimientos teóricos.

#### 1.3. Formulación del Problema

#### 1.3.1. Problema General

¿De qué manera se puede estudiar la absorción dinámica de las vibraciones torsionales?

## 1.3.2. Problemas Específicos

- ¿Cómo influyen los parámetros que intervienen en la generación y atenuación de las vibraciones torsionales?
- ¿Cómo plantear la concepción óptima del módulo en base a las exigencias establecidas?
- ¿Cómo analizar el fenómeno físico y determinar la respuesta del sistema?
- ¿Cómo determinar las dimensiones adecuadas de los elementos de máquina del módulo para la generación y atenuación de vibraciones torsionales en resonancia?
- ¿Cómo validar los resultados analíticos y simulados de la atenuación de las vibraciones torsionales?

### 1.4. Justificación

El análisis de la vibración torsional es esencial para asegurar el funcionamiento confiable de las máquinas, ya que su impacto puede comprometer la integridad de los sistemas mecánicos. Por ello, es fundamental realizar un estudio torsional preliminar durante la etapa de diseño [8]. El módulo experimental permitirá representar condiciones similares de máquinas y de esta manera facilitar el análisis de este fenómeno.

A partir de esta investigación, será posible establecer nuevos lineamientos para futuros estudios. Se han planteado bases teóricas que explican la generación de vibraciones torsionales, las cuales serán validadas tanto mediante simulaciones numéricas como a través de pruebas experimentales. Asimismo, se buscará corroborar las teorías propuestas por [1] y [9].

Los equipos comerciales disponibles para el estudio de vibraciones torsionales son limitados y costosos. Empresas como Gunt y Edibon ofrecen módulos que permiten analizar únicamente el fenómeno de la vibración torsional, sin incluir mecanismos para el estudio de la absorción de estas vibraciones. Además, su adquisición requiere una inversión alta con un precio de s/. 242 000.00 y s/. 82 600.00 respectivamente (Ver Anexo B). Ante esta situación, surge la necesidad de diseñar y construir un módulo con un presupuesto accesible, que permita estudiar el fenómeno y explorar soluciones de absorción de vibraciones torsionales, contribuyendo así al aprendizaje de la comunidad estudiantil.

La construcción de este módulo representa una valiosa herramienta didáctica que permitirá a la comunidad académica comprender de manera más clara los parámetros

asociados a mecanismos paliativos de vibraciones torsionales, así como observar experimentalmente la atenuación de dichas oscilaciones. Mediante la manipulación directa de variables, los estudiantes podrán reforzar sus conocimientos teóricos a través de la experimentación práctica, desarrollando competencias clave para identificar, analizar y resolver problemas similares en entornos industriales reales. Este proceso de aprendizaje no solo fortalece la educación académica, sino que también contribuye a la preparación de profesionales capaces de generar soluciones que respondan a necesidades en el ámbito regional y nacional.

## 1.5. Objetivos

## 1.5.1. Objetivo General

Diseñar y construir un módulo para el estudio de la absorción dinámica de las vibraciones torsionales.

## 1.5.2. Objetivos Específicos

- Analizar los parámetros que intervienen en la generación y atenuación de las vibraciones torsionales.
- Desarrollar el diseño conceptual del módulo.
- Modelar el fenómeno físico y simular mediante herramientas computacionales la respuesta del sistema.
- Calcular los elementos de máquina del módulo para la generación y atenuación de vibraciones torsionales en resonancia.
- Construir el módulo y analizar empíricamente la atenuación de las vibraciones torsionales.

## 1.6. Hipótesis

## 1.6.1. Hipótesis General

El diseño y la construcción del módulo permitirá el estudio de la absorción dinámica de las vibraciones torsionales.

## 1.6.2. Hipótesis Específico

- Los parámetros analizados permitirán la generación y atenuación de vibraciones torsionales.
- El diseño conceptual del módulo cumplirá las exigencias establecidas para el estudio de la absorción dinámica de vibraciones torsionales.
- La simulación numérica determinará la respuesta del sistema para la obtención de los parámetros vibratorios.
- Los cálculos desarrollados de los elementos de máquina garantizarán que el módulo genere y atenue las vibraciones torsionales en resonancia.
- Las pruebas de funcionamiento verificaran la atenuación de las oscilaciones torsionales.

#### 1.7. Variables

## 1.7.1. Independientes

- Frecuencia del motor.
- Parámetros de la fuente de excitación torsional.
- Amplitud del péndulo.

## 1.7.2. Dependientes

- Deflexión angular.
- Frecuencia natural del sistema y el absorbedor dinámico.
- Atenuación de la amplitud torsional.

## 1.8. Alcances

En esta investigación se diseñará y construirá un módulo que caracterizará las vibraciones torsionales, y se le implementará un absorsor para experimentar la atenuación de la deflexión angular. El módulo está dirigido principalmente a la comunidad académica para reforzar los conocimientos teóricos a través de la

experimentación directa; permitirá identificar, analizar y solucionar problemas similares en la industria.

### 1.9. Delimitaciones

En la investigación no serán considerados los siguientes ítems:

- Las múltiples ordenes producidas por la implementación de un absorsor de vibraciones en el sistema, es decir, las diferentes frecuencias adicionales que aparecen debido a la interacción del absorbedor.
- Las fricciones ocasionadas por los rodamientos y magnetismos del motor eléctrico.
- Las variaciones de la rigidez y amortiguamiento del sistema. Se trabajará con estos parámetros constantes.
- La instalación de un sistema para la medición de las vibraciones torsionales, así como un sistema de mandos.
- Las vibraciones no torsionales generadas por desbalance y desalineamiento en el sistema, el diseño deberá tener la rigidez suficiente para evitar entrar en resonancia.

## 1.10. Metodología

## Tipo de Investigación

La investigación es de tipo tecnológico, busca aplicar conocimientos científicos para el desarrollo de una solución practica que contribuya al estudio y control del fenómeno de la vibración torsional en sistemas mecánicos. La investigación no se limita a comprender el fenómeno sino que propone la construcción de un módulo con fines educativos y experimentales. [10]

## Nivel de Investigación

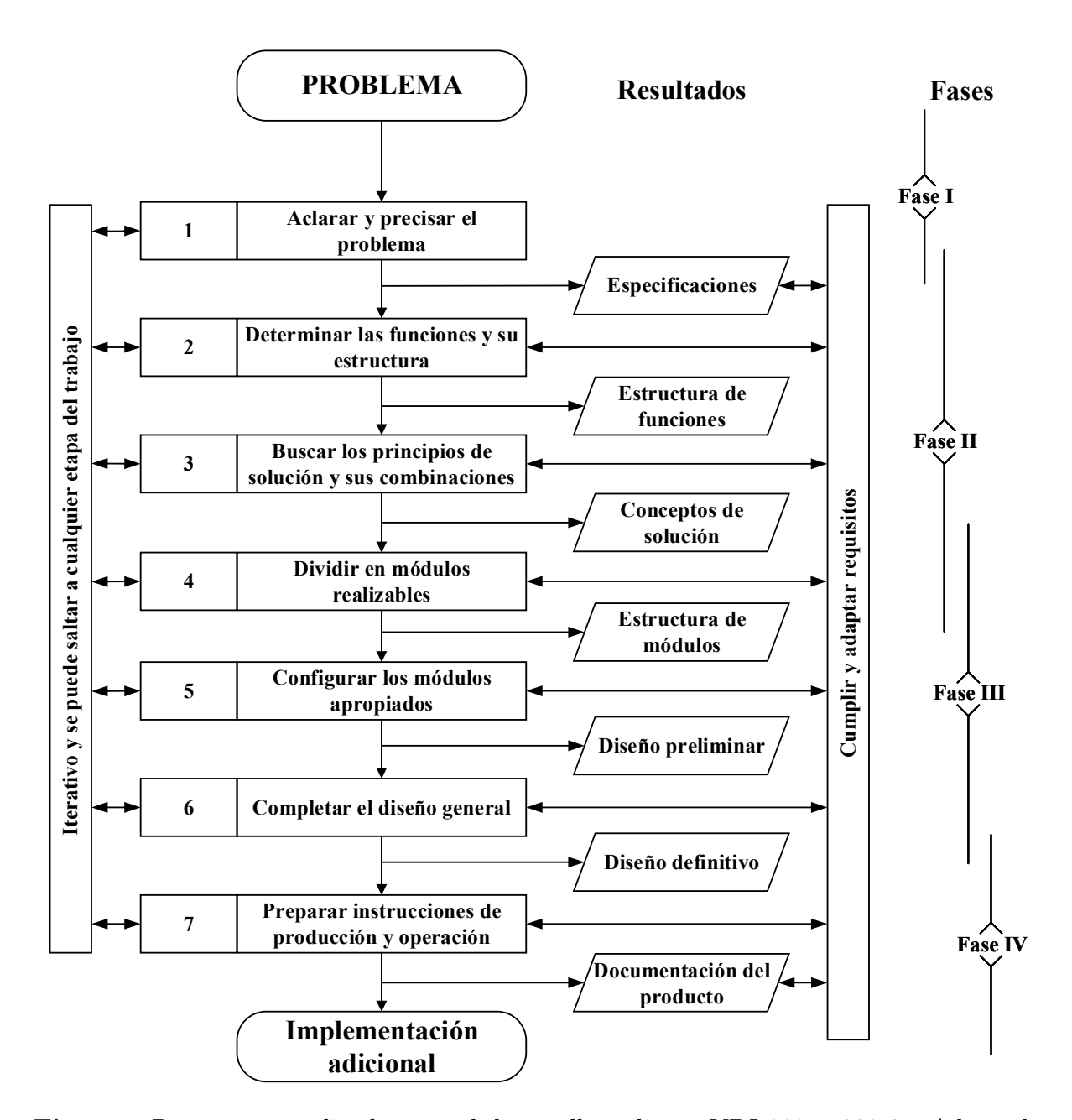
El nivel de investigación es experimental, debido a la implementación de un módulo en el cual se manipulan variables con el fin de observar su efecto en la generación y atenuación de las vibraciones torsionales. [10]

## 1.10.1. Proceso de Desarrollo del Trabajo

- I. Revisión bibliográfica: Se obtendrá información de libros, trabajos de investigación y artículos científicos sobre los parámetros de diseño de sistemas que generan vibración torsional y absorción dinámica. Se priorizarán las investigaciones experimentales.
- II. Diseño conceptual del módulo: En esta etapa, se desarrollará el diseño más óptimo de acuerdo a la metodología alemana VDI 2221 [11] (ver Fig. 1.2) y los aportes de Pahl et al. en su libro Engineering Design [12]. En la presente investigación, la fase I se desarrollará en el capítulo 1, la fase II en los capítulos 2 y 3; y las fases III y IV en el capítulo 4. Esta metodología se caracteriza por ser iterativa y la sucesión de las etapas no es estrictamente rígida [12].

Previo a la construcción del módulo se realizará la simulación numérica en Matlab en un capítulo independiente.

- III. Simulación numérica: Para estudiar el comportamiento del sistema se obtendrán las ecuaciones de movimiento del sistema torsional y de los absorbedores pendulares. Se hallará la respuesta del sistema con el solver ODE45 de Matlab.
- IV. Diseño mecánico: Se calcularán y seleccionarán los componentes mecánicos según los parámetros establecidos en la simulación numérica.
- V. Construcción y experimentación del módulo: Posterior al diseño mecánico, se realizará la construcción y las pruebas experimentales para observar la atenuación del fenómeno torsional.
- VI. Análisis de resultados: Interpretación y contraste de los resultados analíticos, por simulación y experimentación.



 $\bf Fig.~1.2.$  Proceso generalizado para el desarrollo y diseño VDI 2221:1993-05. Adaptado de [11]

## 2 | Marco Teórico

## 2.1. Antecedentes de Investigación

Ashar [13] estudió la dinámica de la junta universal para la generación de vibraciones torsionales caracterizando sistemas reales, determinó que la amplitud oscilatoria es proporcional al ángulo de la junta universal y a la frecuencia de excitación del motor; y a partir de sus resultados Desai [14] diseñó una máquina para el estudio de las vibraciones torsionales. Ishida et al. [15] y [16] estudiaron la atenuación de las vibraciones torsionales mediante CPVA simple y de rodillo, su estudio trata de las influencias de los atenuadores en la reducción de las vibraciones torsionales, sus resultados experimentales alcanzaron una amplitud máxima de deformación torsional de 0.003 rad y 0.0054 rad respectivamente, demostraron que el péndulo de rodillo es más eficiente llegando a atenuar hasta en un 90 %. Kadoi et al. [17] realizaron un estudio sobre la atenuación del CPVA simple en un sistema de múltiples grados de libertad, llegaron a la conclusión de que el CPVA simple puede atenuar un modo de vibración y que la reducción de las oscilaciones torsionales mejora con el incremento de la masa del péndulo. Además, para absorber la vibración de forma eficaz en un modo específico, el péndulo debe ser acoplado en el rotor que sufre mayor torcimiento. Haris et al. [18] experimentaron la atenuación de las oscilaciones de un disipador de energía no lineal (NES) con rigidez cúbica en un módulo compacto y de dimensiones reducidas, demostraron que el NES puede mitigar las vibraciones en un amplio rango de velocidades a diferencia de los CPVAs simples. Las investigaciones citadas con anterioridad utilizaron el mecanismo de la junta universal como fuente de excitación para generar vibración torsional.

La aplicación de atenuadores para vibraciones torsionales inició en 1929 en motores de combustión interna y rotores de helicópteros [19], desde entonces fueron estudiados con mayor frecuencia. Wedin [20] y Smith [21], se enfocaron en el análisis de la trayectoria de los absorbedores tipo péndulo y concluyeron que la trayectoria epicicloidal es la más eficiente. Vidmar [22], Manchi y Sujatha [9] diseñaron atenuadores no lineales para mitigar las vibraciones torsionales de primer y segundo orden, el primero fue experimentado en un banco de pruebas controlado y el último aplicado en un vehículo de tracción trasera de cuatro cilindros. Acar [23] desarrolló herramientas numéricas

simplificando las no linealidades para el análisis en sistemas complejos con el propósito de facilitar el diseño de los CPVAs.

La influencia de la velocidad excitadora sobre la fuerza centrífuga en absorbedores de tipo bifiliar y de rodillo fue estudiada por Newland [1]. Chen et al. [7] experimentaron la atenuación del absorbedor de tipo bifiliar en un volante de inercia bimasa a diferentes velocidades del motor de un vehículo, obteniendo buenos resultados en contraste con los absorbedores convencionales. Asimismo, Melendres [24] acopló un CPVA de tipo bilifiar en el cigüeñal de un motor de 2 cilindros y de 4 tiempos, reduciendo la amplitud en un 80%. Sin embargo, su estudio es teórico.

## 2.2. Metodología del Diseño

Las metodologías de diseño aseguran la obtención de la solución óptima a través de estrategias efectivas. Los modelos procedimentales están dirigidos a diseñadores de ingeniería, diseñadores industriales, investigadores o estudiantes [25]. En la Tabla 2.1 se comparan algunos modelos procedimentales de ingeniería de diseño de los cuales la mayoría presenta solo divergencia en terminología.

La Metodología para el desarrollo y diseño de sistemas y productos técnicos - VDI 2221, fue desarrollada por el Comité de Diseño Metódico de la Asociación Alemana de Ingenieros, con la participación de científicos especializados en diseño de diversas áreas de la industria de entre los cuales algunos de ellos se mencionan en la Tabla 2.1, su versión más reciente fue publicada en 2019. Las constantes revisiones de la norma están enfocadas en implementar actualizaciones basadas en nuevas investigaciones en diseño; no obstante, la versión inicial de esta norma sigue siendo práctica. [26]

VDI 2221 (1993)	Rodenacker (1970)	Pahl/Beitz (2007)	Roth (1995)	Koller (1985)	Hubka/Eder (1996)
Problema asignado	Problema asignado	Problema asignado	Problema asignado	Planificación de productos	Problema asignado
Formulación de la tarea  1. Aclarar y aumentar la precisión de la descripción de la tarea.	Relaciones de acción requeridas	Aclarar la tarea Descripción detallada de la tarea, lista de requisitos.	Formulación Aclarar la descripción de la tarea, tarea principal, instrucciones, lista de requisitos.	Análisis de mercado Establecer la definición del problema.	Desarrollar la especificación de diseño
Buscar principios, conceptualización 2. Determinar las funciones y su estructura. 3. Búsqueda de los principios de solución y sus combinaciones.	Funciones  -Relaciones lógicas de acciónEventos físicosRelaciones de acción físicaTipo de acciónRelaciones de acción cinemáticas.	Conceptualización  - Estructuras de funciones.  - Búsqueda de los principios de solución.  - Selección de las combinaciones adecuadas.  - Conceptos de solución.  - Conceptos de solución.  - Evaluación técnico-económica.	Desarrollar funciones Establecer funciones, general, lógicas, estructura de funciones.  - Desarrollo de los principios de solución Funciones con efectos, funciones específicas Desarrollar portadores de efectos para el esbozo de principios, evaluación técnico-	Síntesis de funciones -Propósito o funciones principalesDividir las funciones parciales y básicasEvaluación técnico- económica. Síntesis cualitativa -A signación y variación de efectosVariación de portadores	-Establecer el proceso de transformaciónEstablecer tecnológicaEstablecer estructura de funcionesMatriz morfológica Establecer estructura de órganos.
Formulación y encarnación 4. División en módulos realizables. 5. Configurar los módulos apropiados.	Relaciones de acción de diseño.	Diseño preliminar y Encarnación  - Desarrollo de la estructura constructiva.  - Formulación preliminar, geometría, material y cálculos.  - Diseño definitivo.  - Evaluación técnico-	Diseño de la estructura y geometría  -Forma de la estructura: esbozoContornos y seccionesMateriales, resistenciaEnsambleIntegración de funcionesDesarrollo generalEvaluación técnico-económica.	-Representar principioSeleccionar soluciones para el concepto totalDiseño preliminar.	Establecer estructura constructiva: 1 Diseño preliminar. Establecer estructura constructiva: 2 Diseño dimensional.
Elaboración y detalles 6. Completar el diseño general. 7. Preparar instrucciones de producción y operación.	Relaciones de acción tecnológica de fabricación.	Elaboración Documentación de ejecución y uso. Documentación de fabricación. Instrucciones de ensamblaje, transporte y pruebas.	Diseño para fabricación  -Análisis de puntos críticos.  -Diseño para fabricación; ensamblaje; transporte; reciclaje.  -Diseño finalizadoDetallado; toleranciasDocumentación de fabricaciónInstrucciones de ensamblaje,	Sintesis cuantitativa  - Cálculos, dimensionamiento Investigaciones experimentales Pruebas, mejora Formular planes de trabajo Documentación de fabricación y ensamble.	Establecer estructura constructiva: 3 Detalles y dibujos de ensamblaje. Modelos computarizados. Listas de partes y documentación.

**Tabla 2.1.** Comparaciones de algunos modelos procedimentales de diseño. Adaptado de [25]

#### 2.3. Vibración Torsional

Es el torcimiento oscilatorio de un rotor alrededor de su línea central de giro superpuesto a su velocidad de funcionamiento [27], [5]. En máquinas alternantes y rotativas cada rotor oscilará siguiendo una perturbación torsional al rededor de su eje de rotación [8].

#### 2.3.1. Vibración Torsional Libre

Cuando a un sistema mecánico se le imprime una perturbación angular por un periodo breve, oscilará a una frecuencia denominada como frecuencia natural. Una vez que se libera el sistema, continuará vibrando hasta que la vibración se extinga o se vuelva a excitar. [28]

La vibración del sistema de rotor implica la conversión de la energía cinética a energía potencial de varios componentes tipo resorte. La energía potencial puede almacenarse temporalmente en la deflexión del eje del rotor, la deflexión de los cojinetes, la deformación de la carcasa de la máquina, la deflexión del sistema de tuberías conectado y la deflexión de la cimentación. Prácticamente cada elemento del sistema de rotor puede actuar como un resorte disponible para el almacenamiento temporal de la energía suministrada por la fuerza que causó la perturbación inicial. [28]

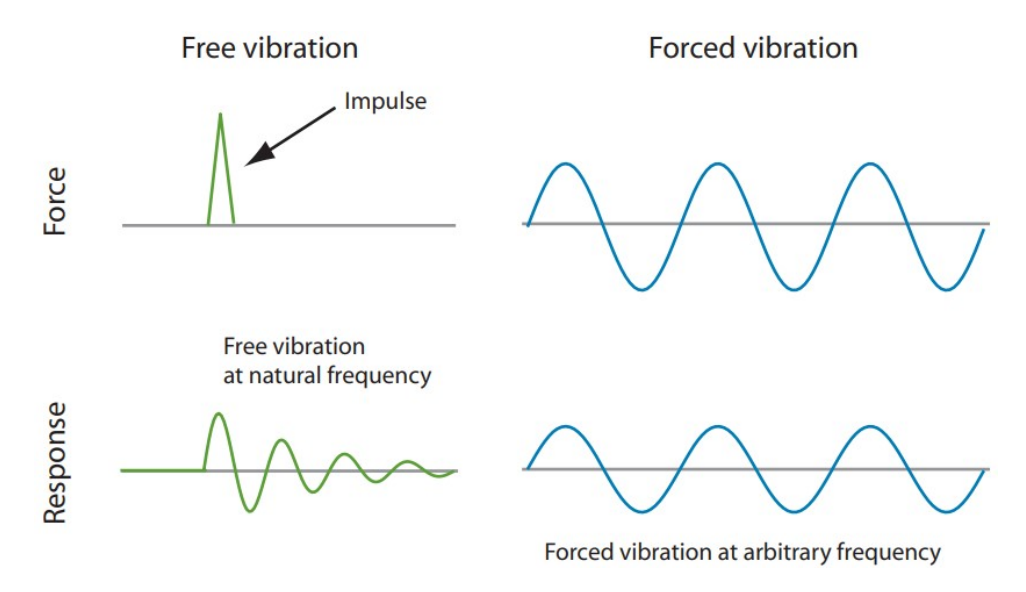


Fig. 2.1. Vibración libre y forzada. [28]

Al lado izquierdo de la Fig. 2.1 se observa un sistema mecánico sometido a un impulso repentino el cual vibra a su frecuencia natural y eventualmente la vibración se extinguirá. El lado derecho muestra la vibración forzada que puede ocurrir a cualquier frecuencia y además la amplitud de la fuerza y la respuesta son constantes [28]. La vibración torsional

libre puede ocurrir debido a cambios repentinos de la carga en el sistema, por ejemplo, el cambio da carga en generadores eléctricos puede crear un impulso que puede excitar una frecuencia natural torsional del sistema. [5]

#### 2.3.2. Vibración Torsional Forzada

La vibración torsional forzada es el resultado del suministro de energía externa en el sistema mecánico [28] y puede ocurrir debido a la variación en la geometría de los engranajes, frecuencia de deslizamiento del motor eléctrico o irregularidades de par, acoplamientos desalineados, motores o cargas reciprocantes [8].

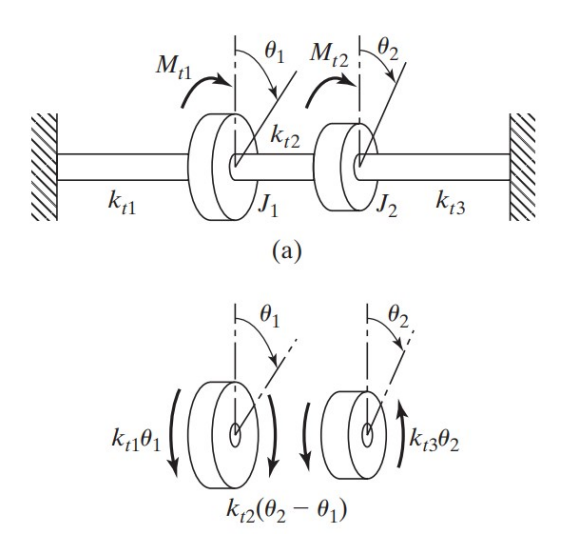


Fig. 2.2. Sistema torsional de dos grados de libertad. [29]

De acuerdo a la primera ley de Newton las ecuaciones diferenciales del sistema de la Fig. 2.2 se describen como:

$$J_1\ddot{\theta}_1 + (k_{t1} + k_{t2})\theta_1 - k_{t2}\theta_2 = M_{t1}$$
(2.1)

$$J_2\ddot{\theta}_2 - k_{t2}\theta_1 + (k_{t2} + k_{t3})\theta_2 = M_{t2}$$
(2.2)

Donde:  $J_1$  y  $J_2$  son los momentos de inercia,  $M_{t1}$  y  $M_{t2}$  representan los pares externos aplicados y  $\theta_1$  y  $\theta_2$  desplazamientos angulares del sistema torsional.

#### Modos de Vibración Torsional

Cada modo de vibración representa diferentes combinaciones de torsión en la máquina. La forma real de los modos dependerá de la magnitud y distribución de los momentos de inercia, y de la distribución de la rigidez torsional en el eje. [28]

En la Fig. 2.3 el accionamiento externo proviene del motor y se entrega a través de un acoplamiento. El par de torsión de accionamiento se equilibra con el par de carga en el sistema, este par es generado por las fuerzas alternantes en compresores, cargas de fluidos en bombas, entre otros. El motor oscila en sentido contrario (desfasado) al compresor y ambos pueden ser modelados como cuerpos rígidos ya que presentan poca torsión. [5]

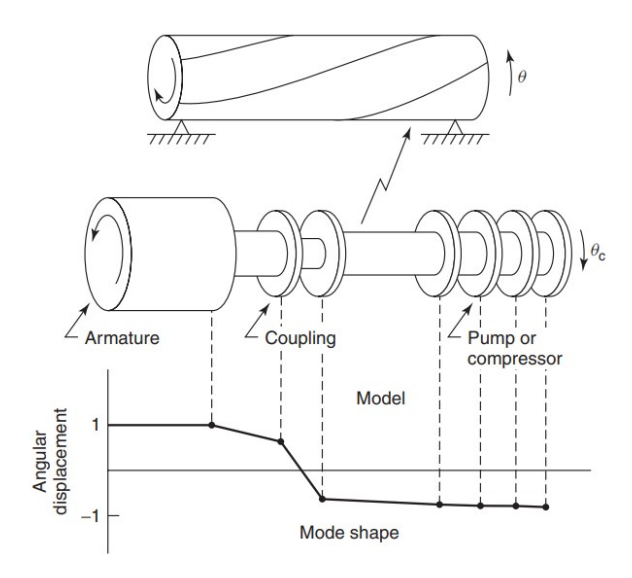


Fig. 2.3. Modo torsional de vibración. [5]

#### 2.3.3. Diferencias Clave entre la Vibración Lateral y Torsional

Las vibraciones laterales involucran el movimiento lateral y oscilatorio de los componentes de la máquina en planos perpendiculares al eje [28]. Vance [5] indica las siguientes diferencias.

- La detección de vibraciones laterales puede realizarse mediante instrumentación o cuando se transmiten hacia la carcasa y al cimiento. En cambio, para las vibraciones torsionales es poco común disponer de la instrumentación adecuada, por lo que estas pueden ocurrir silenciosamente y sin afectar de forma significativa la carcasa y el cimiento.
- Las frecuencias naturales de la vibración lateral están influenciadas por la velocidad de rotación, mientras que las de la vibración torsional no dependen de esta y pueden medirse con la máquina en reposo, siempre que se disponga de una fuente de excitación.
- La excitación más común de la vibración lateral está relacionada con el desequilibrio del rotor, y aunque este no influya directamente en la vibración torsional, puede generar un torque dinámico de manera indirecta en máquinas con engranajes.

• El análisis de la vibración lateral puede realizarse en cada componente del tren de manera independiente, mientras que para el análisis de la vibración torsional debe incluir todos los rotores y en muchos casos, cada rotor puede considerarse rígido.

## 2.3.4. Mecanismos para la Generación de Vibración Torsional

Los principales mecanismos para la generación de vibraciones torsionales y sus respectivas frecuencias a la que serán excitas se muestran en la Tabla 2.2.

Fuente	Frecuencia				
Desviación del engranaje	$1 \times, 2 \times, 3 \times \text{rpm}$				
Tolerancias de mecanizado de los	No. de dientes del engranaje $\times$ rpm				
dientes de los engranajes	No. de dientes dei engranaje × rpin				
Desequilibrio del acoplamiento	$1 \times \text{rpm}$				
Junta de Hooke	$2 \times, 4 \times, 6 \times \text{rpm}$				
Desalineación del acoplamiento	Depende de los elementos de				
Desanneación dei acopiamiento	accionamiento				

Tabla 2.2. Fuentes de excitación de vibración torsional.[30]

Ashar [13], Desai [14] y Haris et al. [18] emplearon la junta universal dentro de sus investigaciones para la generación de vibración torsional, debido a su fácil manipulación.

# 2.3.5. Absorbedores de Vibración de Péndulo Centrífugo (CPVA)

Los CPVAs son ampliamente utilizados en máquinas rotativas y alternantes. Consiste en un péndulo restringido a moverse en un plano perpendicular al eje de rotación de la máquina [31]. El rendimiento del absorbedor de vibración típico generalmente está limitado a un estrecho rango de frecuencia. Sin embargo, el péndulo centrífugo puede ajustarse a un cierto orden de rotación en lugar de a una frecuencia establecida y, por lo tanto, son efectivos en un rango continuo de velocidades de rotación [32]. La siguiente ecuación expresa que la frecuencia natural de las oscilaciones libres de un péndulo es proporcional a la velocidad de rotación [33].

$$\omega_p = \Omega \sqrt{\frac{a}{l}} \tag{2.3}$$

Donde: a: distancia del centro del disco a la articulación del péndulo y l: longitud de la articulación a la masa puntual.

La ecuación 2.3 representa una expresión que no tolera los errores que se producen en el proceso de manufactura del péndulo. En la práctica, mantener la exactitud de a y l es difícil de lograr, por esa razón es necesario considerar un margen de desintonización [1]. La ecuación 2.3 se puede escribir de la siguiente forma.

$$\omega_p = \Omega \sqrt{\frac{a}{l}(1+\epsilon)} \tag{2.4}$$

Donde  $\epsilon$  es el grado de desintonización y puede tomar los valores de 0.0, 0.05, 0.1, 0.15, 0.2, 0.25.

#### Ecuación del Torque del Péndulo

Las oscilaciones del péndulo producen un par alrededor del eje del rotor para evitar el torcimiento del eje ocasionado por una fuerza externa. De acuerdo con el análisis realizado por [1], los efectos de la inercia del péndulo pueden considerarse despreciables. En consecuencia, el torque generado se representa mediante la siguiente ecuación.

$$\frac{T}{mal\omega^2} = \left(1 + \left(\frac{a}{l}\right)\cos\phi\right)\sin\phi\tag{2.5}$$

De la ecuación 2.5, la expresión  $T/mal\omega^2$  representa un torque adimensional y depende de la amplitud del péndulo  $\phi$ . La amplitud de diseño debe restringirse a 30° para obtener un par aproximadamente armónico y mantener la propiedad absorbente del péndulo [1], en la Fig. 2.4 se muestra la razón de la limitación de la amplitud del ángulo, esta Figura muestra el torque adimensional para un ciclo completo de un péndulo centrífugo a diferentes ángulos (línea negra a 30°, línea azul a 60° y línea roja a 90°). El torque a 30°, es casi armónica, y para 60° se muestra una desviación significativa de forma de la armónica; finalmente para una amplitud de 90° el torque del péndulo se leja de lo armónico.

Otro punto mencionado en [9] para limitar  $\phi$  ocurre cuando las fuerzas gravitatorias son mayores que las fuerzas centrifugas. Este efecto debe tenerse en consideración cuando la relación  $g/a\Omega^2$  es mayor que 0.015, donde a es la distancia del centro del rotor al punto de articulación del péndulo y  $\Omega$  es la velocidad de rotación.

## 2.4. Series de Fourier

En muchos de los sistemas vibratorios la fuente de excitación no es armónica, sin embargo muchos de ellos son periódicas como se muestra en la Fig. 2.6(a) y se puede

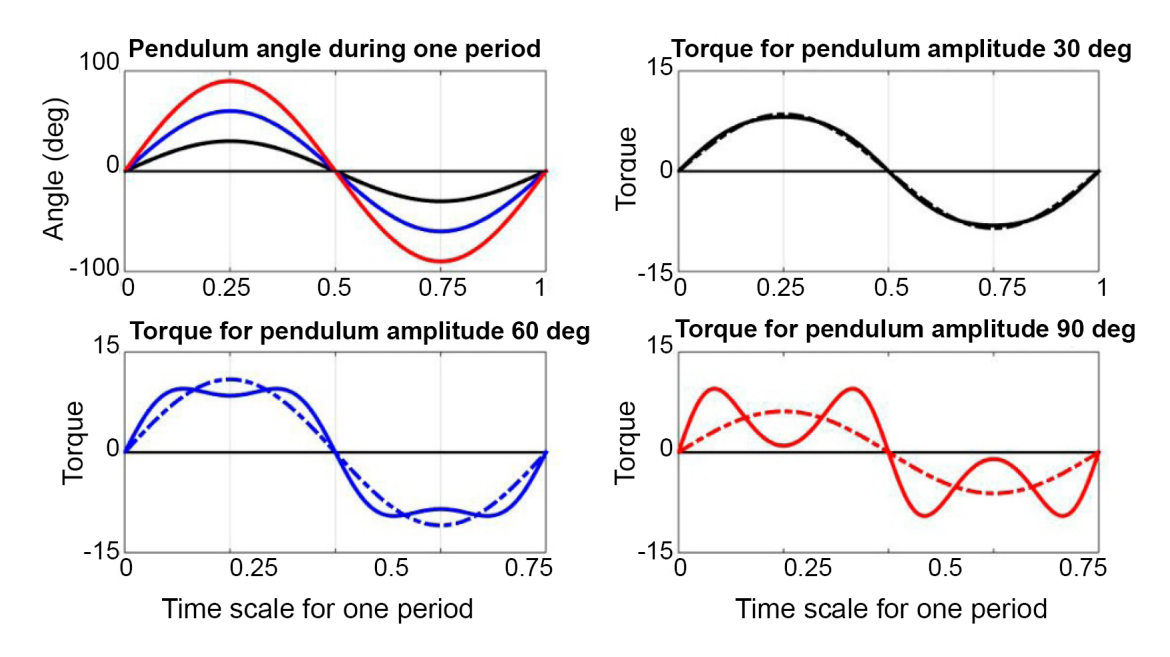


Fig. 2.4. Torque no dimensional del péndulo durante un período completo de movimiento sinusoidal. [1]

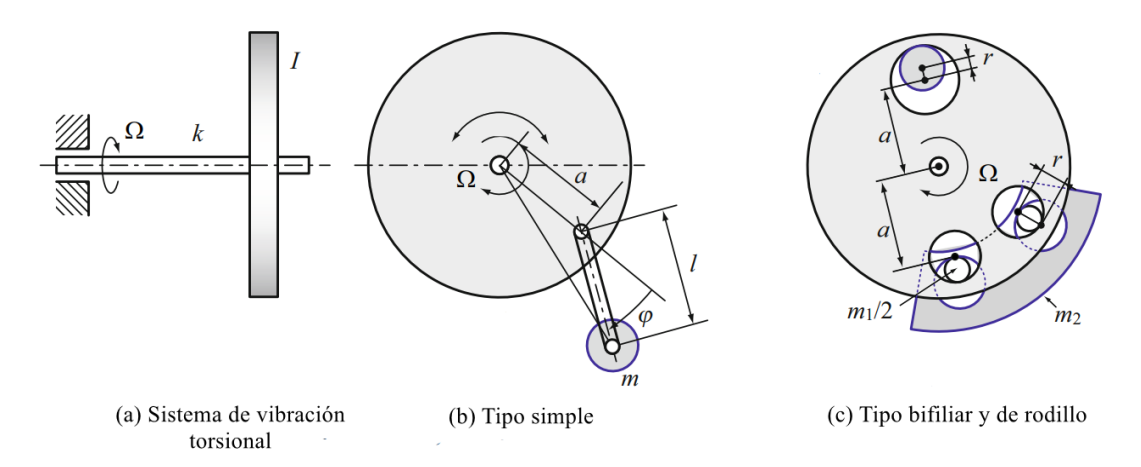


Fig. 2.5. Tipos de absorbedores dinámicos torsionales. Adaptado de [34]

representar como una serie infinita de senos y cosenos. Si la función x(t) es una función periódica con periodo  $\tau$ , se puede escribir como una serie de fourier. [29]

$$x(t) = \frac{a_0}{2} + a_1 \cos \omega t + a_2 \cos 2\omega t + \cdots$$

$$+ b_1 \sin \omega t + b_2 \sin 2\omega t + \cdots$$

$$= \frac{a_0}{2} + \sum_{n=1}^{\infty} (a_n \cos n\omega t + b_n \sin n\omega t)$$
(2.6)

Donde  $\omega = 2\pi/\tau$  es la frecuencia fundamental y  $a_0, a_1, a_2, ..., b_1, b_2, ...$  son coeficientes constantes y se pueden obtener con las siguiente ecuaciones.

$$a_0 = -\frac{\omega}{\pi} \int_0^{2\pi/\omega} x(t) \, dt = -\frac{2}{\tau} \int_0^{\tau} x(t) \, dt$$
 (2.7)

$$a_n = -\frac{\omega}{\pi} \int_0^{2\pi/\omega} x(t) \cos n\omega t \, dt = -\frac{2}{\tau} \int_0^{\tau} x(t) \cos n\omega t \, dt$$
 (2.8)

$$b_n = -\frac{\omega}{\pi} \int_0^{2\pi/\omega} x(t) \sin n\omega t \, dt = -\frac{2}{\tau} \int_0^{\tau} x(t) \sin n\omega t \, dt$$
 (2.9)

Para determinar los coeficientes, se integra a lo largo de un periodo  $\tau=2\pi/\omega$ , por ejemplo, de 0 a  $2\pi/\omega$ .

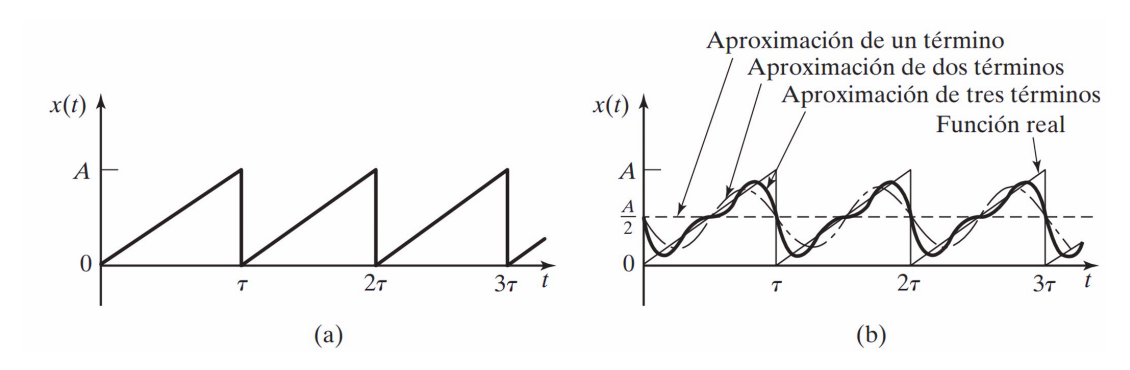


Fig. 2.6. Función periódica

Aunque la ecuación 2.6 es una serie infinita de senos y cosenos, muchas veces solo es necesario utilizar algunos términos para una buena aproximación de la función real, ver Fig. 2.6(b). [29]

## 2.5. Búsqueda de Principios de Solución para el Diseño

Los métodos aplicados para la búsqueda de principios de solución para la matriz morfológica son: métodos convencionales, intuitivos y discursivos [12].

## 2.5.1. Catálogos para el Sistema Generador de Vibraciones Torsionales

Edibon



Fig. 2.7. Equipo de estudio de vibraciones torsionales Edibon. [35]

Elementos	Carácteristicas
Fuente de energía	Motor eléctrico trifásico 0.5 Kw.
Control de velocidad de giro	Sistema SCADA.
Generador de VT	Motor eléctrico y resistencia de amortiguador
	dinámico.
	Acero inoxidable:
Espécimen	D = 6  mm.
	$\mathrm{L}=1400~\mathrm{mm}.$
	Disco 1 y 2:
Discos	$D = 150 \text{ mm}, m = 2.6 \text{ Kg y I} = 0.00731 \text{ Kg } m^2.$
Discos	Disco 3:
	$D = 240 \text{ mm}, m = 4.9 \text{ Kg y I} = 0.06679 \text{ Kg } m^2.$
Dimensiones geómetricas	1650 x 500 x 400 mm.
Peso	55 Kg.
Absorsor dinámico	No presenta.
Amortiguador dinámico	Amortiguador rotativo.

Tabla 2.3. Principales características del módulo de Edibon. [35]

### Gunt



**Fig. 2.8.** Equipo para el estudio de las Vibraciones torsionales libres y forzadas Gunt. [36]

Elementos	Características
Fuente de energía	Motor eléctrico monofásico. Velocidad max. 20 Hz.
Control de velocidad de giro	Software Gunt con adquisición de datos.
Generador de VT	Motor eléctrico y resistencia del amortiguador
	dinámico.
	Acero inoxidable:
Espécimen	D = 6  mm.
	L=1300  mm.
	Disco 1:
Discos	D = 150 mm, aprox. 2.7 Kg.
Discos	Disco 2:
	D = 228  mm,  aprox.  4.8  Kg.
Dimensiones geométricas	1400 x 410 x 400 mm.
Peso	50 Kg.
Absorsor dinámico	No presenta.
Amortiguador dinámico	Amortiguador rotativo. Coeficiente del amortiguador:
	(0.25 - 3.5)  Nm s/rad.

Tabla 2.4. Principales características del módulo de Gunt. [35]

### Armfield



Fig. 2.9. Equipo para el estudio de vibraciones torsional Armfield [37]

## 2.5.2. Trabajos de Investigación

Modelamiento y Análisis del Comportamiento Rotodinámico de un Eje Asimétrico Sometido a Carga Combinada Lateral y Torsional

Elementos	Características
Fuente de energía	Motor eléctrico monofásico. Velocidad max. 20 Hz.
Control de velocidad de giro	AIU: Unidad de Interfaz Armfield.
Generador de VT	Motor eléctrico y mandril de sujeción.
	Acero inoxidable:
Espécimen	D = 6  mm.
	$\mathrm{L}=1300~\mathrm{mm}.$
	Discos de acero 1 y 2:
Discos	$20 \text{ mm x } \phi 150 \text{ mm}.$
Discos	Disco de plástico 3:
	15 mm x $\phi$ 228 mm.
Dimensiones geométricas	1400 x 410 x 400 mm.
Peso	70 Kg.
Absorsor dinámico	No presenta.
Amortiguador dinámico	No presenta.

**Tabla 2.5.** Principales características del módulo de Armfield. [37]



Fig. 2.10. Banco de pruebas de vibraciones laterales y torsionales. [38]

Elementos	Características
Fuente de energía	Motor eléctrico 220V 1.8 HP a 60 Hz y 3459 rpm
Control de velocidad de giro	Variador de velocidad marca Telemechanique.  • Alimentación: 220 V trifásico.

Elementos	Características
	Acelerómetro marca CTC
	Resolución: 100 mV/g.
	■ Conexión: BNC.
	Encoders de deformación angular
	■ Modelo 775.
	<ul> <li>Velocidad máxima mecánica: 6000 rpm.</li> </ul>
	<ul> <li>Frecuencia máxima: 150 Khz.</li> </ul>
T	Tarjeta de adquisición de datos para acelerómetros
Instrumentos de	marca National Instrument.
medición	■ Modelo: NI9233.
	■ Entradas: 4 de tipo análoga.
	■ Muestreo: Hasta 50 KHz.
	■ Conexión: BNC
	Tarjeta de adquisición de datos para encoders marca
	National Instrument.
	■ Modelo: NI9411.
	Freno de partículas magnéticas marca Warner Electric.
	■ Modelo PRB-2.5H
Generador de VT	■ 24 VDC.
	<ul> <li>Velocidad máxima de operación 1800 rpm.</li> </ul>
Egnásimon	Acero inoxidable 316:
Espécimen	$D = 2.25 \; \mathrm{in} \; (57.15 \mathrm{mm}).$
Discos	Discos de acero 1: $I=1.7429$ in-lb- $seg^2$ .
Discos	Disco de acero 2 al 7: $I=1.4644$ in-lb- $seg^2$ .
Dimensiones	L: 1 m.
geométricas	L. 1 III.
Peso	_
Absorsor dinámico	No presenta.
Amortiguador	No presenta.
dinámico	по ргозента.

 ${\bf Tabla~2.6.~Principales~caracter\'(sticas~del~m\'odulo~desarrollado.~[38]}$ 

### Análisis Dinámico de un Actuador de Vibración Torsional

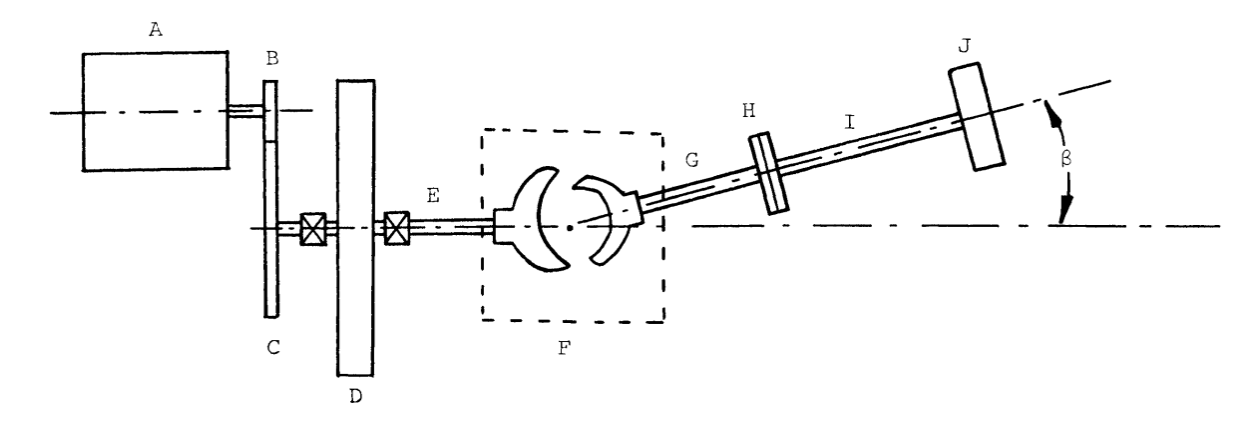


Fig. 2.11. Esquema de un sistema generador de vibración torsional. [13]

Donde: A: Motor, B: Engranaje del eje del motor, C: Engranaje del eje del volante de inercia, D: Volante de inercia, E: Eje del conductor, F: Junta de Hooke, G: Eje conducido, H: Acople, I: Eje de muestra y J: Disco de muestra.

Con los principios de Ashar [13], Desai [14] diseño una máquina de vibración torsional con diferencias poco significativas, por lo que bastará mencionarlo.

Descripción	Valor
Momento de inercia de masa del motor	$0.025 \text{ lb. in. } \sec^2$
Momento de inercia de masa del volante de inercia	$20 \text{ lb. in. } \sec^2$
Momento de inercia de masa del lado de salida de la junta de	$0.03 \text{ lb. in. sec}^2$
Hooke	0.05 lb. lll. sec
Momento de inercia de masa del disco de la muestra	$0.628 \text{ lb. in. } \sec^2$
Rigidez torsional del eje de la muestra	12000 lb. in. $\sec^2$
Relación de reducción de velocidad	0.33

Tabla 2.7. Valores de parámetros del actuador. [13]

### 2.5.3. Sistema Atenuador

### Trabajos de Investigación:

De la Tabla 2.8, se priorizarán los tipos de atenuadores verificados experimentalmente para la matriz morfológica.

Estudiado por:	Atenuador	Símbolo	Descripción
Pfabe [39]	Volante accionado cinemáticamente	KDF	Investigación experimental.  Reduce una armónica de un par fluctuante.
Haris [18]	Disipador de energía no lineal	NES	Investigación experimental.  Extrae la energía del sistema primario en un amplio rango de velocidad.
Abu Seer et al. [40]	Absorsor de vibración sintonizado torsional adaptativo	ATTVA	Investigación experimental.  Adapta su frecuencia natural al sistema para su sintonización mediante el control de la capacitancia conectada al bobinado, esto es posible por el circuito electromagnético integrado en el diseño del atenuador.
Praveen Shenoy et al. [41]	Elastómero magneto - reológico	MRE	Investigación experimental.  Es un material inteligente que cambia sus propiedades inherentes (rigidez y amortiguación) con la entrada de un campo magnético. Es un aislador torsional semiactivo.
Chen et al.[7]	Volante de inercia de doble masa integrado con absorbedor de vibraciones de péndulo centrifugo	DMF con CPVA	Investigación experimental.  El DMF con CPVA tipo bifiliar tiene mejor rendimiento en un rango amplio de velocidad en contraste con el DMF y el DMF con CPVA tipo simple.
Manchi y Sujatha [9]	Absorbedor de vibraciones de doble péndulo centrífugo	CDPVA	Investigación experimental.  Reduce las vibraciones torsionales de múltiples ordenes. Es un diseño robusto para uso prolongado.
Newland [1]	Absorbedor de vibraciones de péndulo centrífugo	CPVA	<ul> <li>Investigación teórica.</li> <li>Tipo bifiliar laminado</li> <li>Ampliamente utilizado en motores de automóviles</li> </ul>

Estudiado por:	Atenuador		Símbolo	Descripción
y Smith	Absorbedor vibraciones péndulo centrifugo	de de	CPVA	Tipo Simple:  Con trayectoria circular.  Adecuado para investigaciones iniciales.  No es muy utilizado en la práctica.  Tipo Bifiliar:  Suspendido en dos puntos.  Utilizado en la práctica.  Su tamaño y forma pueden ser virtualmente arbitrarios.  Tipo Rodillo  El péndulo es un cilindro solido rodante.  El rodillo gira alrededor de una pista circular.  Adecuado para volantes, engranajes, contrapesos de biela, etc.

Tabla 2.8. Atenuadores investigados para la reducción de vibraciones torsionales

#### **Patentes**

Existe una gran variedad de patentes sobre atenuadores tipo péndulo, la diferencia en su geometría y disposición son poco significativos, bastará con mencionar un conjunto reducido.

### Amortiguador de Vibraciones Rotativo con Péndulo de Fuerza Centrifuga:

Patentado el año 2014 por Huegel and Dinger con N° US 8,739,523 B2. El péndulo consta de varias masas distribuidas sobre la superficie de la brida, se desplaza de manera limitada en la dirección circunferencial y radial. [42]

Donde: 1:Amortiguador rotativo de vibraciones, 2: Parte de la brida, 3: Recorte, 4: Abertura, 5: Péndulo de fuerza centrifuga, 6: Parte de masa, 7: Pista, 8: Cuerpos rodantes y 9: Pista.

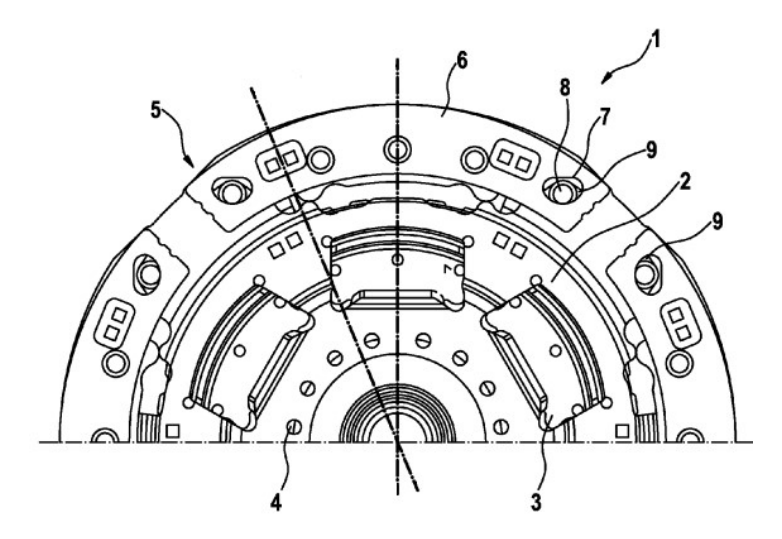


Fig. 2.12. Amortiguador de vibraciones rotativo con péndulo de fuerza centrifuga. [42]

Absorbedor de Vibraciones de Péndulo Centrifugo: Patentado el año 2016 por Otanez y Melanson con N° US 2016/0040738A1. En la Fig. 2.13 se observa las partes principales del absorbedor. [43]

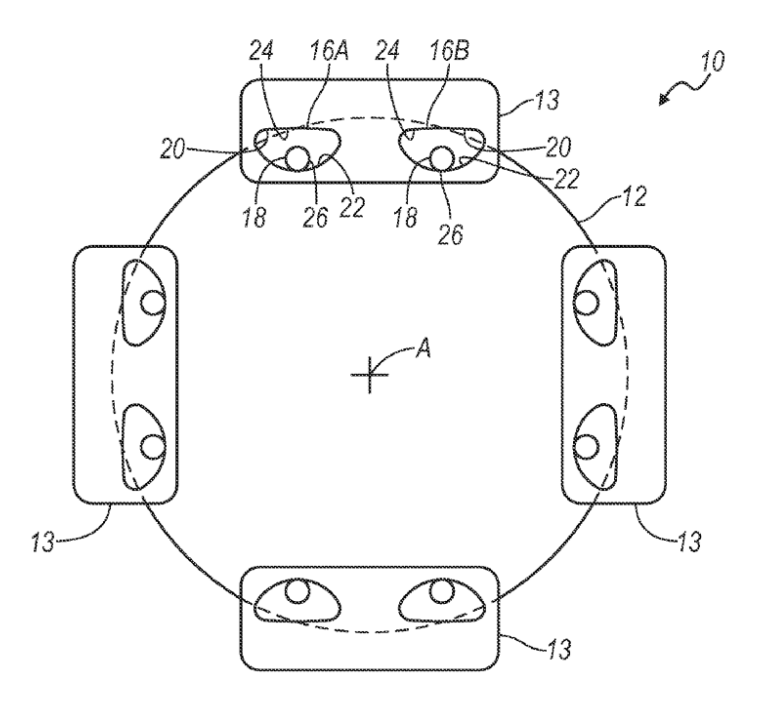


Fig. 2.13. Absorbedor de vibraciones de péndulo centrífugo. [43]

Donde: 12: Placa giratoria, 13 y 15: Conjunto de absorbedores de vibraciones, 16A y 16B: Aberturas de los absorbedores, 18: Pasadores conectadas a la placa, 20: Superficie interna de la masa del péndulo, 22: Primera superficie o sección activa, 24: Segunda superficie o sección pasiva, 26: Porción de una superficie externa.

Conjunto de Péndulo para Volante de Doble Masa: Patentado el año 2018 por

Geonwoo y Jongryul con N° 10-1868699. La invención permite el movimiento pendular en la dirección lateral mediante una estructura fija limitado por una placa. [44]

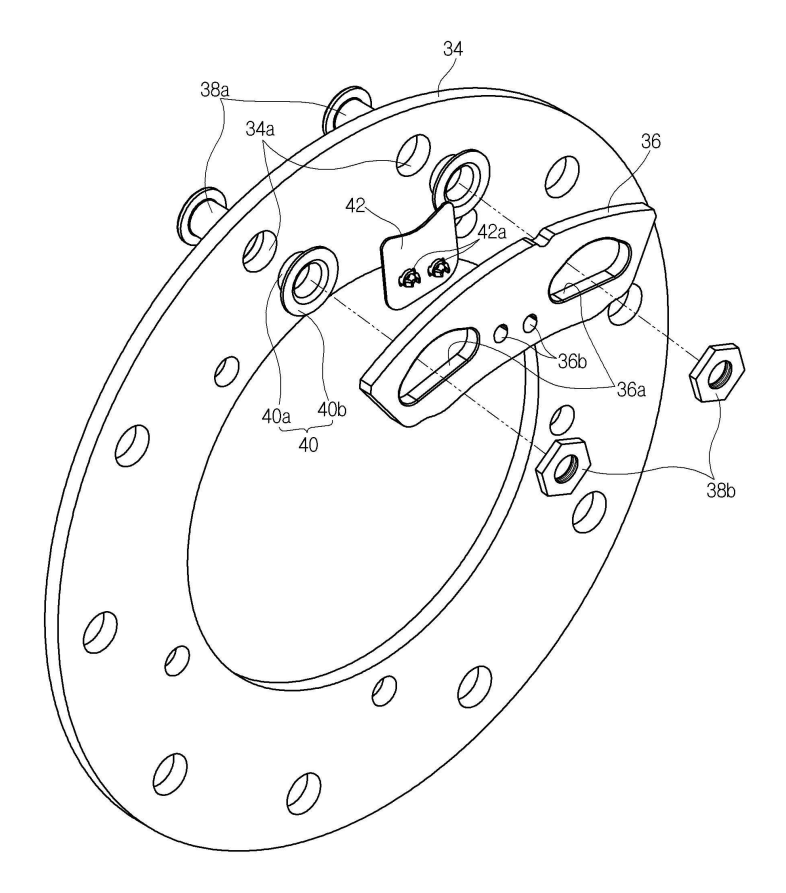


Fig. 2.14. Conjunto de péndulo para volante de doble masa. [44]

Donde: 34: Placa de soporte, 34a: Agujero pasante, 36: Péndulo, 36a: Abertura triangular, 36b: Agujero pasante, 38: Tornillo, 38a: Perno, 38b: Tuerca, 40: Pasador cilíndrico montado en la periferia del tornillo, 40a: Cuerpo cilíndrico insertado en le bulón del tornillo, 40b: Brida que se dobla en dirección radial, 42: Deslizador compuesto por una estructura plana echa de un material resistente la desgaste y 42a: Componente de fijación que se fija al atravesar el material para la conección con el péndulo.

# 3 | Diseño Conceptual del Módulo

## 3.1. Comprensión de la Solicitud

### 3.1.1. Lista de Exigencias

La lista de exigencias es un contrato entre el diseñador y el cliente. A continuación se describen las principales características del módulo.

		Lista de Exigencias	Página: 1 de 2 Edición: 1
Pro	yecto:	Diseño y Construcción de un Módulo para el Estudio de la Absorción Dinámica de las Vibraciones Torsionales	Fecha: 15/11/23  Revisado:
Cliente:		Universidad Nacional de San Antonio Abad del Cusco	Elaborado:
Fecha:	Deseo o Exigencia	Descripción	Responsable
15/11/23	E	Función Principal: Estudiar la absorción dinámica de las vibraciones torsionales a través de la experimentación directa.	RBM/RMCL
15/11/23	E	Geometría:  Las dimensiones del módulo deben permitir su portabilidad y no deben exceder las siguientes dimensiones:  Ancho: 50 cm.  Largo: 80 cm.  Altura: 35 cm.	RBM/RMCL
15/11/23	E E	Cinemática: Movimiento rotacional menor a 60Hz. Posibilidad de cambiar la frecuencia de excitación.	RBM/RMCL
15/11/23	E E	Fuerzas:  El par de excitación debe ser lo suficiente para generar vibraciones torsionales.  Las vibraciones laterales del módulo deben ser lo más	RBM/RMCL
15/11/23	E	mínimo posible.  Energía: Fuente de alimentación eléctrica monofásica (220V).	RBM/RMCL
15/11/23	E	Señal: El módulo deberá funcionar a través de mandos eléctricos accionados directamente para el encendido/apagado y cambio de velocidad.	RBM/RMCL
	E	La magnitud de entrada (velocidad de rotación) debe ser visible en todo momento.	

		Lista de Exigencias	Página: 2 de 2 Edición: 1
Prog	yecto:	Diseño y Construcción de un Módulo para el Estudio de la Absorción Dinámica de las Vibraciones Torsionales	Fecha: 15/11/23  Revisado:
Cliente:		Universidad Nacional de San Antonio Abad del Cusco	Elaborado:
Fecha:	Deseo o Exigencia	Descripción	Responsable
15/11/23	E	Seguridad: El módulo no pondrá en peligro la integridad física del operario.	RBM/RMCL
15/11/23	E E	Ergonomía: De fácil operación. Posibilitar el manejo del módulo con un solo operador.	RBM/RMCL
15/11/23	E	Construcción:  La adquisición de materiales se deben realizar de preferencia en el país.	RBM/RMCL Técnico capacitado
47/44/00	Е	Proceso de manufactura de elementos mecánicos en talleres locales.	
15/11/23	E E	Montaje: Mediante uniones fijas y desmontables. De fácil montaje sin la necesidad de herramientas especializadas.	RBM/RMCL
15/11/23	E	Transporte: Sin la necesidad de grúas y montacargas con una masa menor a 60 Kg.	RBM/RMCL
15/11/23	E E	Uso: Uso en lugares aislados de vibración y ruido. Uso en un lugar adecuado (Unidad de Enseñanza), no expuesto al medio ambiente y con un funcionamiento óptimo a una altitud menor a 4000 m.s.n.m.	RBM/RMCL
15/11/23	E E	Mantenimiento:  De fácil acceso a elementos mecánicos que requieran lubricación, reparación o cambio.  Repuestos mecánicos comerciables y accesibles en el	RBM/RMCL
15/11/23	E	mercado local.  Costo Total:  El costo total no superará el monto de US\$ 5000.00.	RBM/RMCL
15/11/23	E	Plazo de Entrega: La fecha de entrega es: 30/11/2024.	RBM/RMCL

## 3.2. Concepción de la Solicitud

## 3.2.1. Abstracción (Black Box)

A partir del análisis de la Lista de Exigencias se formuló la abstracción del problema, el propósito de esta etapa es abarcar la mayor cantidad de soluciones posibles. Cualquier función se puede representar en una Black Box donde solo se tiene en cuenta tres magnitudes básicas de entrada y salida sin considerar los procesos internos. [12]

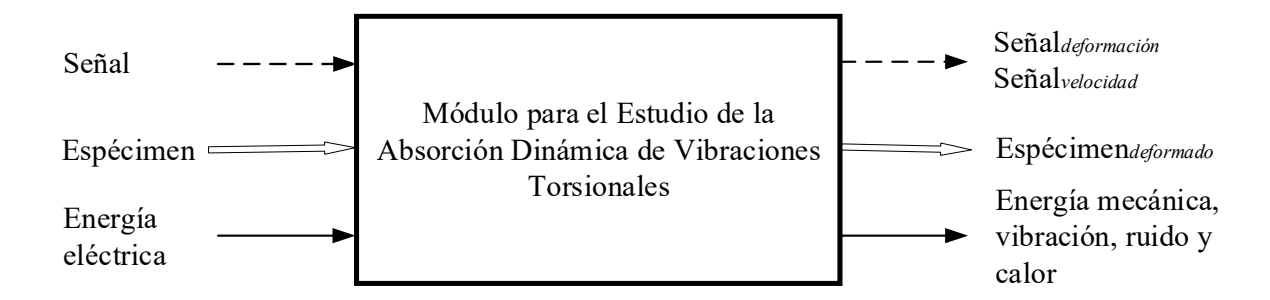


Fig. 3.1. Black Box

### 3.2.2. Estructura de funciones

Una función compleja o general se puede descomponer en subfunciones de menor complejidad. La combinación de subfunciones individuales da como resultado una estructura de funciones que representa la función general, y está destinada a facilitar el descubrimiento de soluciones [12]. En la Fig. 3.2 se especifican las subfunciones esenciales que satisfacen directamente la función principal; luego en la Fig. 3.3 se establece una estructura de funciones más simple.

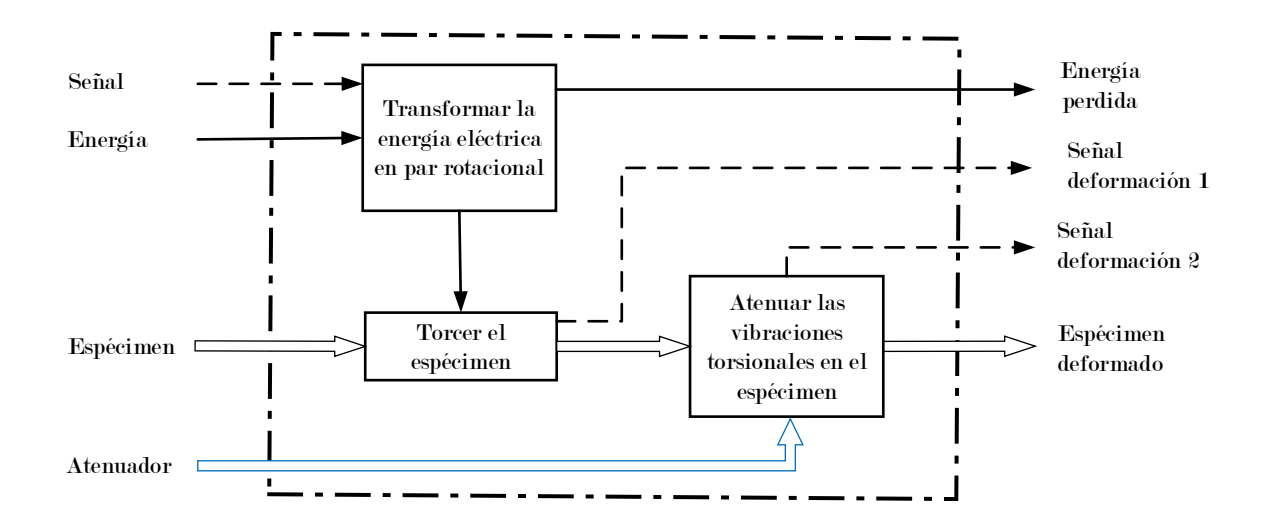


Fig. 3.2. Subfuciones esenciales

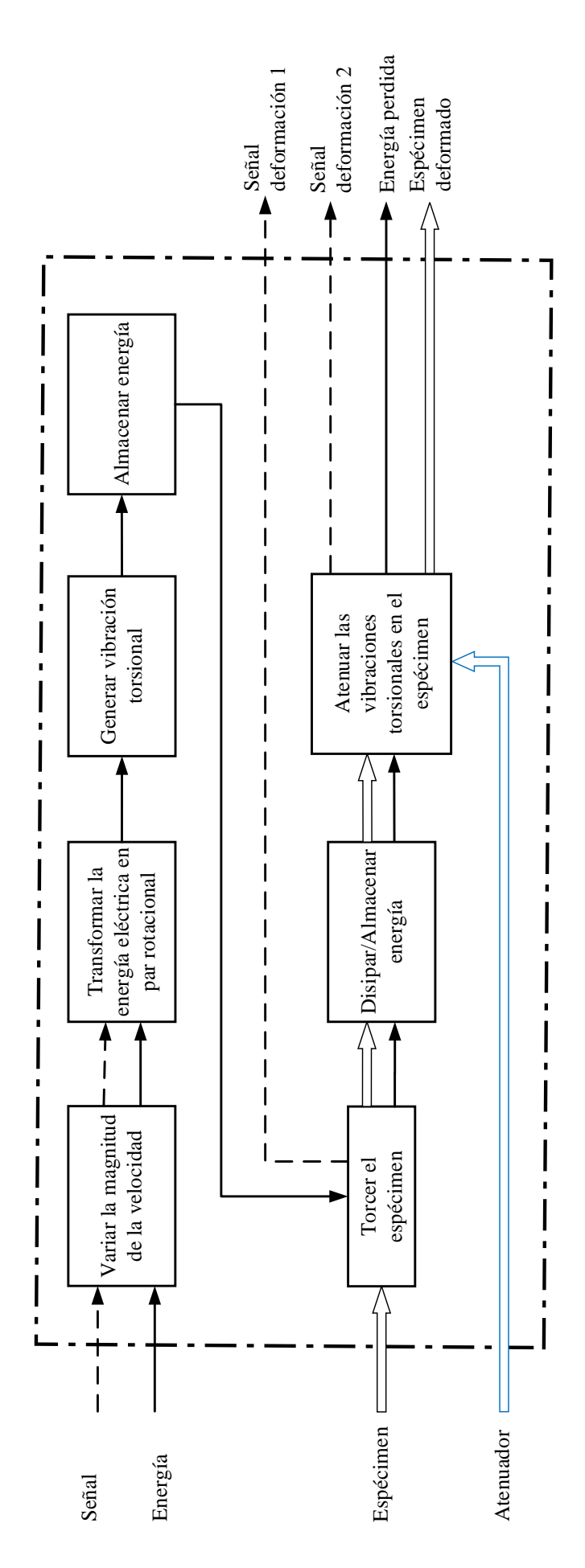


Fig. 3.3. Estructura de funciones

### 3.2.3. Conceptos de Solución

La búsqueda de principios de solución se realizó en la sección 2.5.

Aquellos principios de solución inadecuados a primera impresión, son descartados para minimizar el esfuerzo posterior en la elección óptima de los conceptos de solución [12]. A continuación, se mencionan las principales razones según las subfunciones establecidas.

- Transformar la energía eléctrica en par rotacional: El motor paso a paso permite controlar el movimiento y la posición del eje con precisión [45], estas características no son parte del diseño del módulo.
- Variar la magnitud de la velocidad: Durante el uso prolongado los engranajes pueden generar desviaciones geométricas interfiriendo en el funcionamiento [46] y generando desgaste. La cadena de rodillos es un mecanismo ruidoso y el tornillo sin fin es aplicable para grandes reducciones de velocidad con elevados costos de manufactura.
- Generar vibración torsional: Los armónicos que generan el ventilador y la bomba centrifuga dependen del número de alabes, por lo que su experimentación es limitada al no ser manipulables con facilidad. La desviación de engranajes puede tener un comportamiento difícil de cuantificar, influye en su vida útil [46] y es poco manipulable.
- Almacenar energía: Se evaluaran distintas opciones. El volante de inercia, aunque esencial para acumular energía cinética rotacional y estabilizar la vibración, no almacena energía elástica y por tanto no contribuye directamente a la deformación torsional requerida. El uso de un resorte torsional o un eje fabricado con un polímero elástico resulta más adecuado, ya que ambos permiten almacenar energía mediante su deformación elástica y liberarla para mantener la vibración. En cambio, un eje metálico tiene una rigidez elevada que limita su capacidad para deformarse y, por ende, para acumular energía torsional apreciable en aplicaciones dinámicas.
- Disipar/Almacenar Energía: El freno magnético de partículas y la zapata con control hidráulico no cumplen con las exigencias establecidas en costo e implementación del módulo.
- Atenuar vibraciones torsionales: El disipador de energía no lineal es más complejo debido a que requiere un análisis de resortes no lineales.

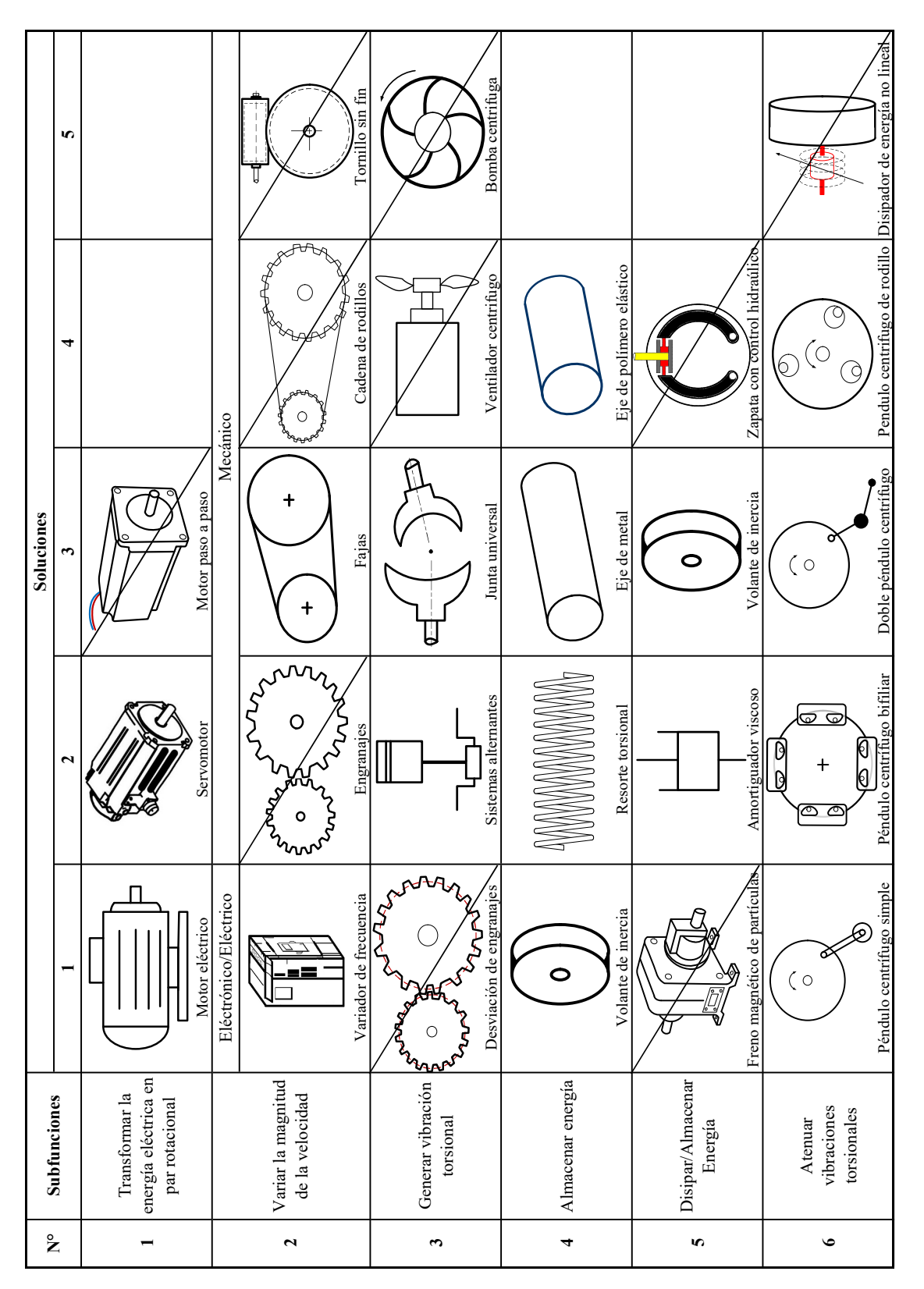


Fig. 3.4. Matriz morfológica de Zwicky

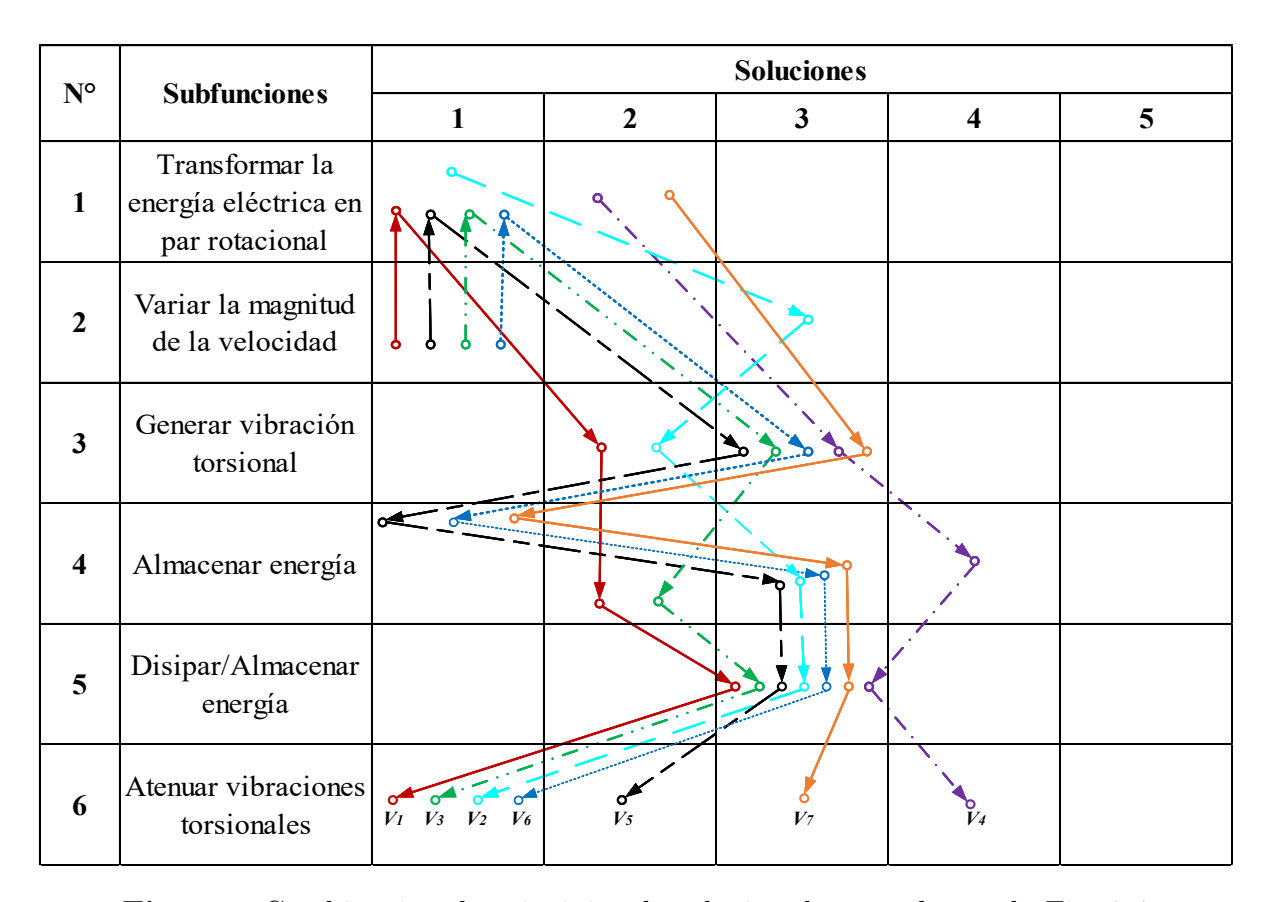


Fig. 3.5. Combinación de principios de solución de acuerdo con la Fig. 3.4

```
Variante 1: 21 - 11 - 32 - 42 - 53 - 61;

Variante 2: 11 - 23 - 32 - 43 - 53 - 61;

Variante 3: 21 - 11 - 33 - 42 - 53 - 61;

Variante 4: 12 - 33 - 44 - 53 -64;

Variante 5: 21 - 11 - 33 - 41 - 43 - 53 - 62;

Variante 6: 11 - 23 - 32 - 43 - 53 - 61;

Variante 7: 12 - 33 - 41 - 43 - 53 - 63.
```

Para tomar una decisión confiable es necesario realizar los dibujos de las variantes de solución (Fig. 3.6 a Fig. 3.12) que permita su evaluación.

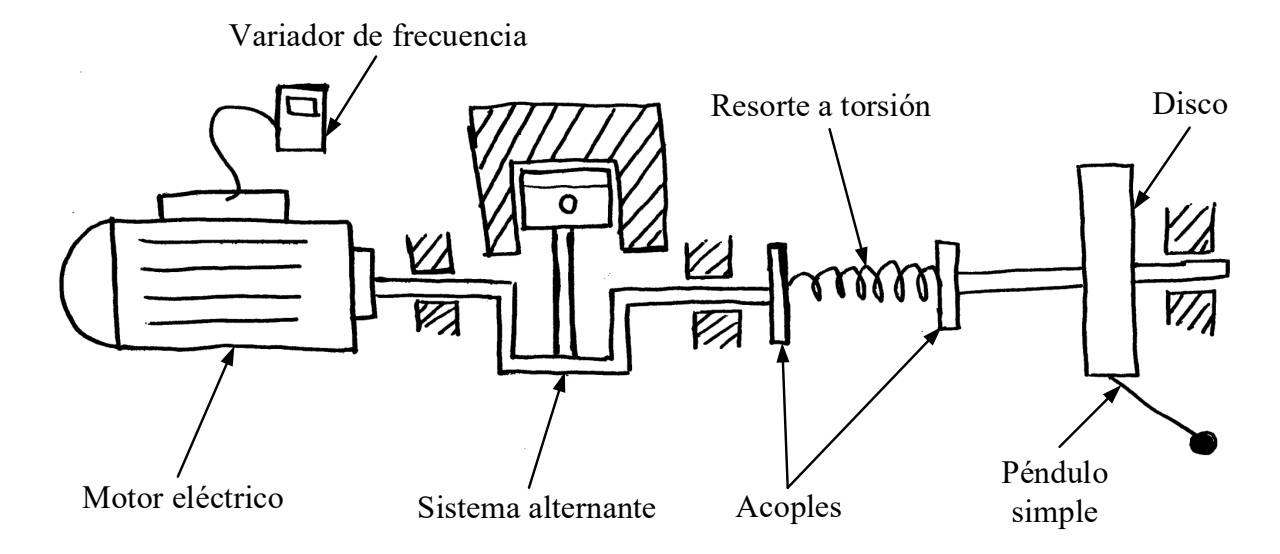


Fig. 3.6. Concepto de solución 1

La fuente motriz esta conformada por un motor eléctrico trifásico, y la velocidad del eje se controla con los parámetros de voltaje y frecuencia a través del variador de frecuencia monofásico. El sistema alternante genera oscilaciones torsionales y produce fuerzas lineales fluctuantes en los soportes, las cuales se deben evitar en lo posible; ambos son originados por la combinación de las aceleraciones periódicas del émbolo y la presión del gas [32]. El espécimen es un resorte físico a torsión el cual facilitará el estudio de las vibraciones torsionales a bajas velocidades de operación con valores cercanos a  $37 \ rad/s$  equivalente a  $353 \ RPM \ [15]$ . Se incluirán dos acoples adaptados para la sujeción fija del resorte. El absorbedor seleccionado es un péndulo simple de fácil fabricación y el sistema puede modelarse con dos grados de libertad a través de la rotación del disco y del atenuador. (Ver Fig. 3.6).

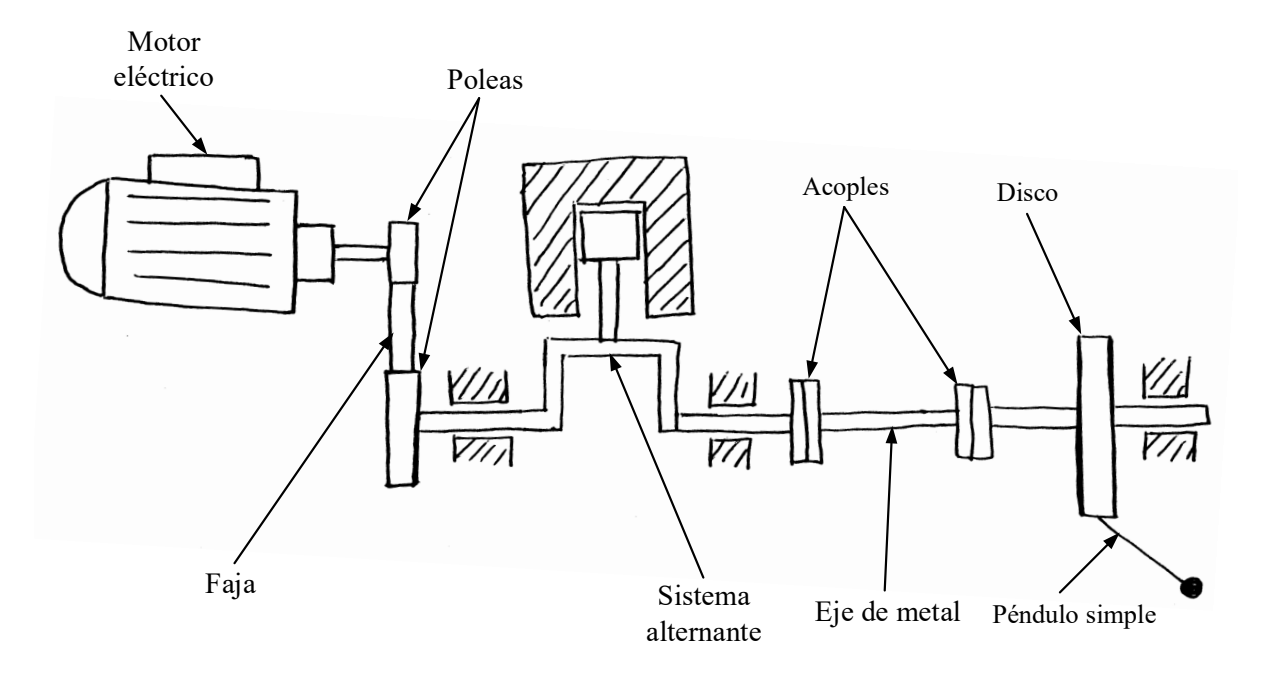


Fig. 3.7. Concepto de solución 2

A diferencia del Concepto de solución 1, este contiene un sistema de reducción de velocidad mediante fajas en V, el cual puede operar en un rango de velocidades variable, considerando que el espécimen es un eje de metal la velocidad de operación puede variar desde 370 a 1000 RPM [14]. El espécimen a ensayar, eje sólido de metal, puede tener un diámetro recomendado de 6 mm [37], [35] y con una velocidad de operación alrededor 20 Hz [37]. Para la sujeción del espécimen se utilizarán dos acoples rígidos para tener una conexión fija y no agregar un grado de libertad con las conexiones flexibles. El absorbedor seleccionado es un péndulo simple de fácil manufactura e instalación. Durante su operación el sistema alternante puede generar vibraciones lineales. Este concepto de solución puede modelarse con dos grados de libertad a través de la rotación del disco y del atenuador. (Ver Fig. 3.7).

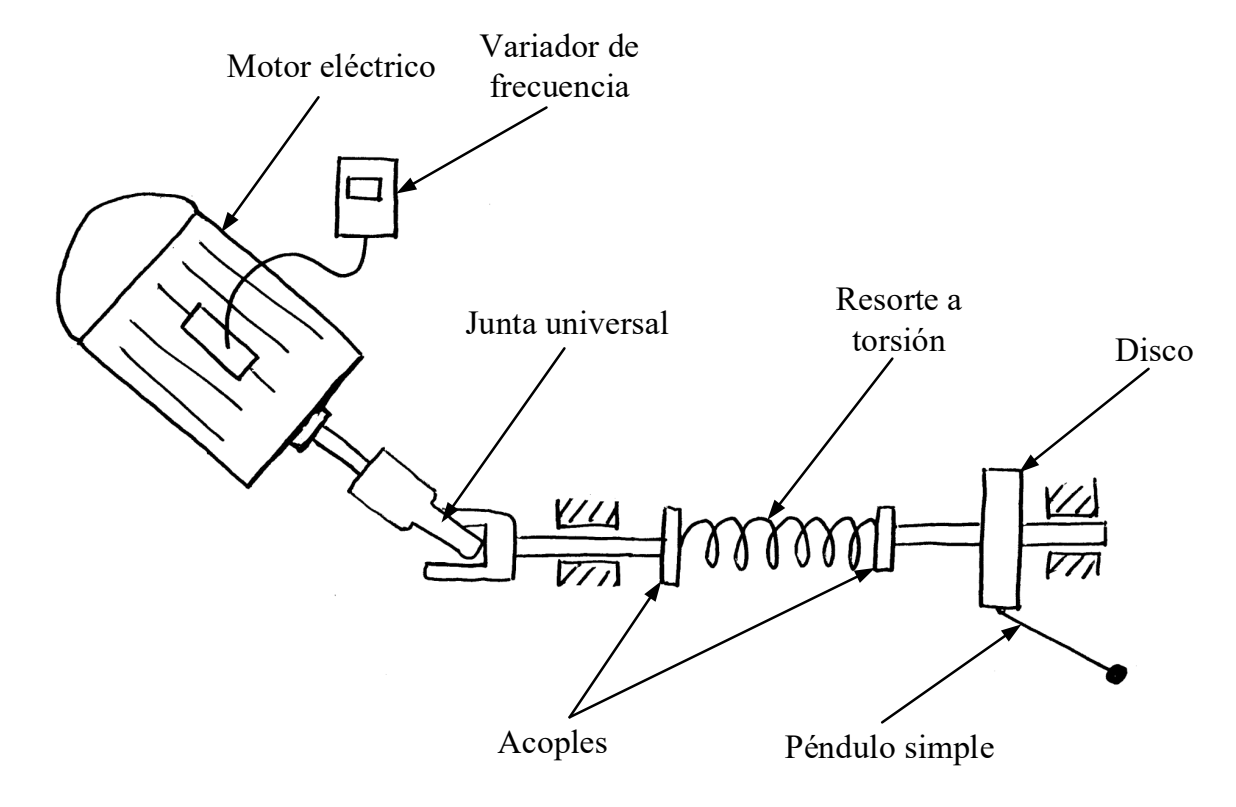


Fig. 3.8. Concepto de solución 3

La fuente motriz esta conformada por un motor eléctrico trifásico y un variador de frecuencia monofásico que permite controlar la velocidad del sistema. La generación de la vibración torsional es mediante el mecanismo de la junta universal, este mecanismo conecta dos ejes no paralelos y produce una velocidad de salida periódica no uniforme a pesar de que la velocidad de entrada es constante, la relación entre ambas velocidades y la amplitud de las vibraciones que generan están en función del ángulo que forman el eje de entrada y de salida [13]. El mecanismo de la junta universal es de fácil adquisición con un costo menor en el mercado nacional, posteriormente se debe mecanizar según las dimensiones requeridas de los ejes de entrada y salida. A diferencia del sistema alternante de los Conceptos de solución 1 y 2. El espécimen a ensayar es un resorte físico a torsión sujeta a dos acoples conectados directamente al eje de salida de la junta universal y al eje con el sistema de atenuación. La velocidad de operación estará dentro del rango de 2 Hz a 15 Hz. El modelado del sistema para el análisis de las vibraciones torsionales es de dos grados de libertad, los cuales son el ángulo de rotación del disco y la posición del péndulo. El absorbedor seleccionado es un péndulo simple fácil de instalar. (Ver Fig. 3.8).

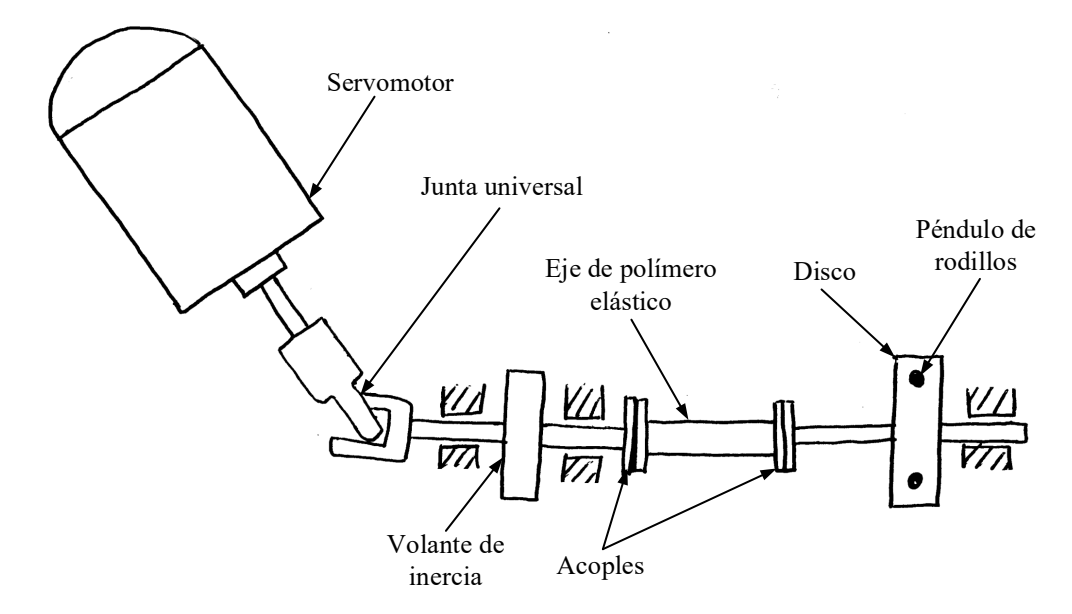


Fig. 3.9. Concepto de solución 4

Este sistema esta alimentado por un servomotor donde se puede controlar la velocidad de rotación con alta precisión, es un sistema de lazo cerrado ya que controla el movimiento a través de un sistema de retroalimentación de la posición. Para su instalación es necesario también adquirir el servodrive y sus cables correspondientes. La generación de las vibraciones torsionales es mediante el mecanismo de la junta universal que conecta dos ejes no paralelos, la relación de velocidad entre ambos ejes esta en función del ángulo que forman entre ellas [13]. Después de la junta universal se coloca un volante de inercia para uniformizar la velocidad de salida y el espécimen a ensayar es un tipo de polímero elástico que se caracteriza por recuperar su forma original fácilmente acoplado de forma rígida. El atenuador es un péndulo de tipo rodillo cilíndrico macizo el cual rueda alrededor de un pista circular que se forma al perforar un orificio en el disco; y el rodillo puede tener una trayectoria cicloidal o epicicloidal (cardioide). Según estudios realizados por Wedin [20] este tipo de absorbedor es más eficiente que los péndulos simples y requieren de un ajuste preciso en cuanto a la masa del rodillo por la inestabilidad de velocidades muy bajas del motor. El modelado del sistema se puede realizar mediante 3 grados de libertad las cuales son el ángulo de rotación del volante, del disco y la posición del péndulo. (Ver Fig. 3.9).

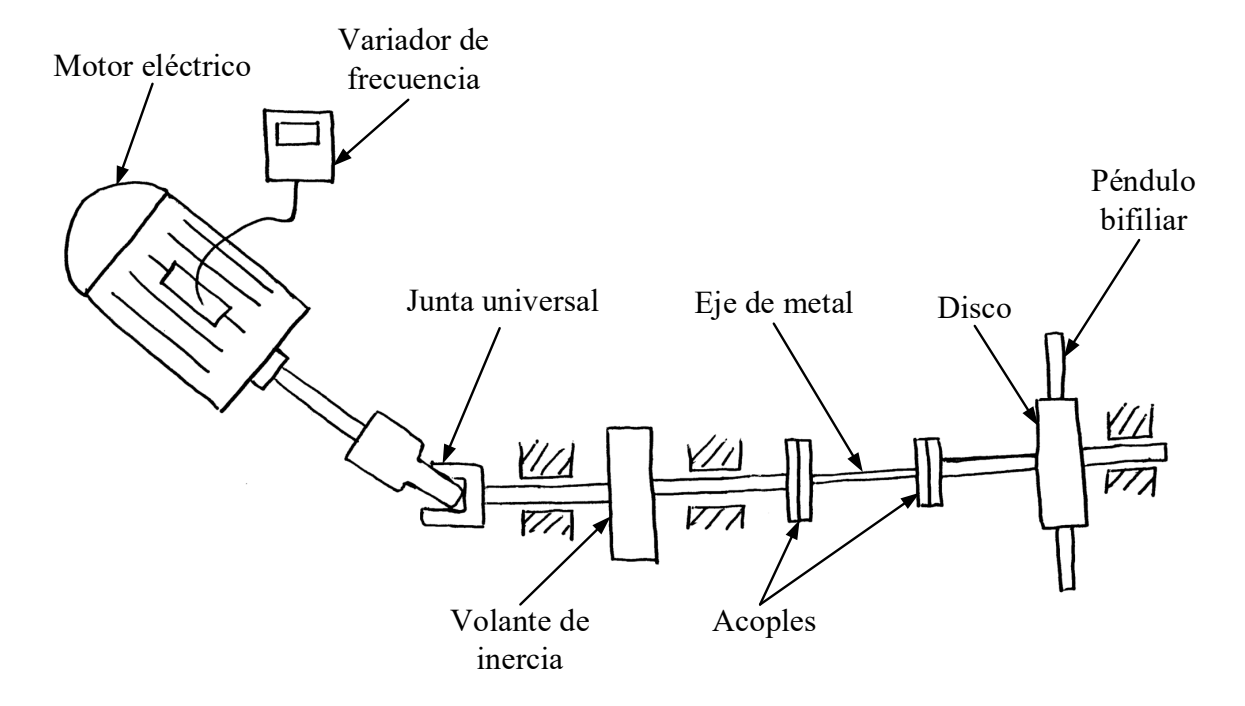


Fig. 3.10. Concepto de solución 5

La fuente motriz es un motor eléctrico trifásico y la velocidad del eje se controla con los parámetros de voltaje y frecuencia a través de un variador de frecuencia monofásico. Las vibraciones torsionales se producen mediante el mecanismo de la junta universal que conecta dos ejes no paralelos y produce una velocidad de salida periódica no uniforme. La relación entre las velocidades de ambos ejes esta en función del ángulo que forman entre ellas [13]. Este mecanismo es de fácil adquisición e instalación. Este Concepto de solución incluye un volante de inercia antes del espécimen a ensayar y su función principal es la de uniformizar la velocidad de salida. El espécimen es un eje sólido de metal con un diámetro recomendado de 6 mm [35], [37] y con una velocidad de operación alrededor de 20 Hz [37]. El absorbedor es de tipo bifiliar, similar al péndulo simple, y es más eficiente que este y menos eficiente que el péndulo de rodillo. La fabricación de este péndulo requiere de mayor precisión. Finalmente, el análisis de las vibraciones torsionales se puede realizar con 3 grados de libertad las cuales son el ángulo de rotación del volante, del disco y la posición del péndulo bifiliar. (Ver Fig. 3.10)

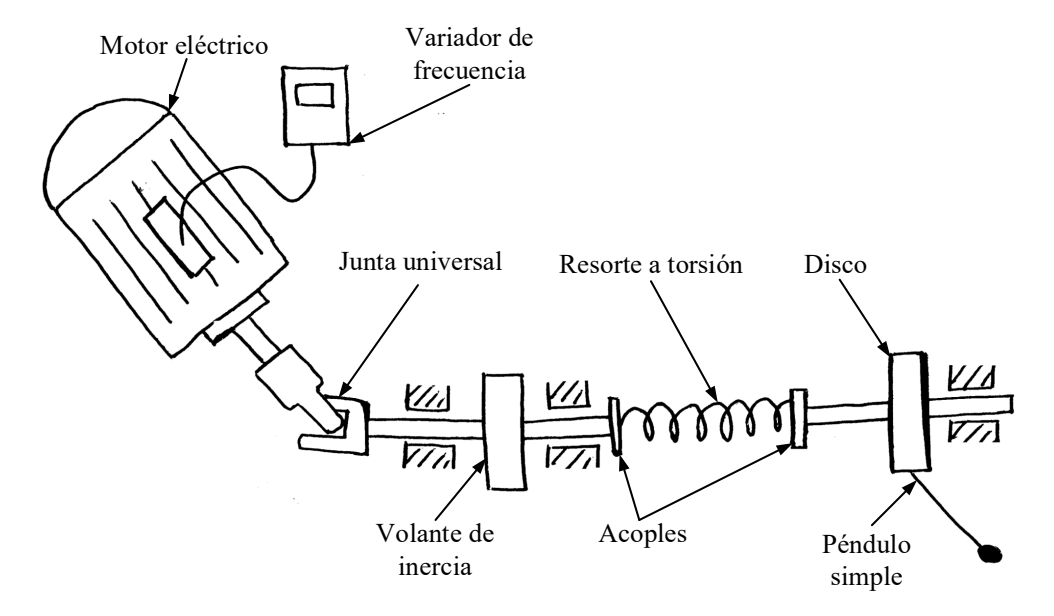


Fig. 3.11. Concepto de solución 6

La fuente motriz es un motor eléctrico trifásico y su velocidad se controla con los parámetros de voltaje y frecuencia a través del variador de frecuencia monofásico. Se genera vibraciones torsionales mediante el mecanismo de la junta universal que conecta dos ejes no paralelos, y produce una velocidad de salida periódica no uniforme. La relación entre las velocidades de ambos ejes esta en función del ángulo que forman entre ellas [13]. Este Concepto de solución incluye un volante de inercia antes del espécimen a ensayar y su función principal es la de uniformizar la velocidad de salida. El espécimen a ensayar es un resorte físico a torsión sujeta a dos acoples conectados directamente al eje de salida de la junta universal y al eje del sistema de atenuación. La velocidad de operación estará dentro del rango de 3 Hz a 15 HZ. Para el análisis de las vibraciones torsionales se puede realizar con 3 grados de libertad las cuales son el ángulo de rotación del volante, del disco y la posición del péndulo simple. (Ver Fig. 3.11).

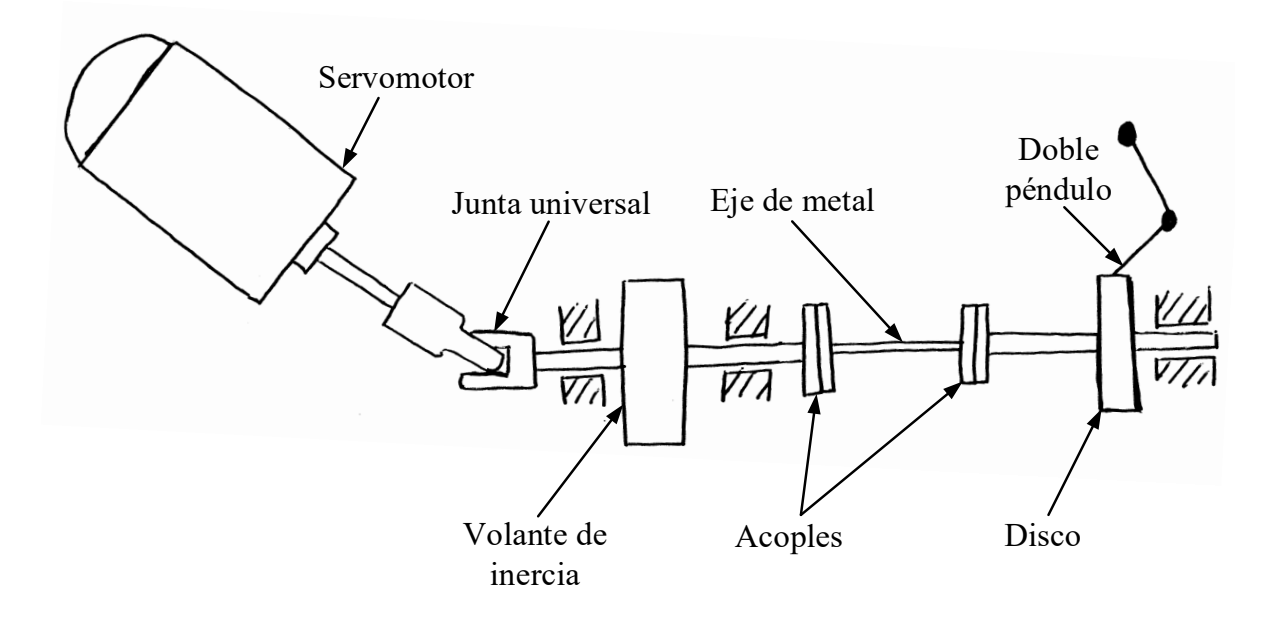


Fig. 3.12. Concepto de solución 7

Este sistema esta alimentado por un servomotor donde se puede controlar la velocidad de rotación con alta precisión, es un sistema de lazo cerrado ya que controla el movimiento a través de un sistema de retroalimentación de la posición. Para su instalación es necesario también adquirir el servodrive y sus cables correspondientes, son costosos en comparación a los motores eléctricos. La generación de las vibraciones torsionales es mediante el mecanismo de la junta universal que conecta dos ejes no paralelos, la relación de velocidad entre ambos ejes esta en función del ángulo que forman entre ellas [13]. Después de la junta universal se coloca un volante de inercia para uniformizar la velocidad de salida. El espécimen a ensayar, eje sólido de metal, puede tener un diámetro recomendado de 6 mm [37], [35] y con una velocidad de operación alrededor de 126 rad/s equivalente a 1203 RPM [37]. Para la sujeción del espécimen se utilizarán dos acoples rígidos para tener una conexión fija y perfectamente alineados. El análisis de las vibraciones torsionales se puede realizar para 4 grados de libertad las cuales son el ángulo de rotación del volante, del disco y la posición de ambos péndulos. Las ecuaciones diferenciales para el modelado del atenuador de doble péndulo requiere un grado de libertad adicional. Según los estudios de Manchi y Sujatha [9], el absorbedor de doble péndulo reduce las vibraciones torsionales de differentes ordenes. (Ver Fig. 3.12).

## 3.3. Proyecto Preliminar Óptimo

### 3.3.1. Selección de Variantes de solución

De la Fig. 3.5 se obtuvieron 7 conceptos de solución. Para reducir el número de propuestas, se elabora un cuadro de selección como se muestra en la Tabla 3.1. Los criterios de selección son los siguientes [12]:

- A: Ser compatible con la tarea general y entre sí.
- B: Cumplir con las lista de exigencias.
- C: Puedan ser realizables con respecto a diseño, manufactura, etc.
- D: Estar dentro de los costos permitidos.

Los criterios A y B son apropiados para decisiones de sí o no, mientras que los criterios C y D a menudo adoptan un enfoque más cuantitativo. Estos últimos se utilizan siempre que se cumplan los criterios A y B. [12]

Si se prefiere una propuesta en particular, esta elección debe estar justificada por los criterios señalados a continuación [12]:

- E: Que incorporan medidas de seguridad directa o ergonomía favorable.
- F: Son preferidas por la empresa del diseñador; es decir, de fácil desarrollo con los conocimientos, materiales y procedimientos habituales. Especialmente si la empresa posee los derechos de propiedad intelectual necesarios (patente).
- G: Existe información suficiente para su desarrollo.

De la Tabla 3.1, las propuestas de solución 1 y 2 fueron eliminadas debido a la presencia de un sistema alternante que implica un aumento en el peso del módulo, así como la generación de fluctuaciones laterales en los soportes, mientras que los otros conceptos aún se conservan. En la solución 4, se podría investigar las propiedades mecánicas del polímero cuando este sea manufacturado como un eje de torsión.

### 3.3.2. Evaluación Técnica y Económica

Primero se establecen los criterios de evaluación técnica y económica basados en la lista de exigencias, y sus respectivos valores ponderados según su importancia. Las ponderaciones están en el rango de 0 a 1 y en cada nivel los criterios deben sumar 1. [12]

		UN	SAA	AC				Tabla de selección  iseño y construcción de un módulo para el estudio de la absorción inámica de vibraciones torsionales	Pag:1			
	Cri	terio	o de	sele	cció	n			Decisión			
<u> </u>		(+) (-)	S	lo		-			Marcar variantes de solució	n		
S		(?)	_				mac		(+) Solución			
u (		(!)	V	erif/	icar	lista	ı de 1	requisitos	(–) Eliminar solución			
Ingresar variante de solución $(S_V)$ :									(?) Recopilar información			
los									(!) Verificar lista c exigencias para cambia	de		
de :	Soi	n co	mna	tible	es co	n la	tare	a general y entre sí	CAIgeneias para camon	aı		
te	501		_					exigencias si/no				
ian		Cu						cuanto a diseño y manufactura				
/ar			50.					os costos permisibles				
ar.								medidas de seguridad directa o ergon	ómica			
ess								preferencia por la empresa del diseña				
ngı							Existe información suficiente					
Ι	A	В	C	D	E	F	G Observaciones (indicaciones, razones)					
$S_1$	+	_					Genera fluctuaciones líneales, más pesado Genera fluctuaciones líneales, más pesado					
S <sub>2</sub>	+	1										
$S_3$	+	+	+	+				·		+		
$S_4$	+	+	?	+				Complí. manufac. del atenuador, poca	exactítud de propíedades mec.	+		
S <sub>5</sub>	+	+	+	+						+		
$S_6$	+	+	+	+						+		
S <sub>7</sub>	+	+	+	+						+		
Fec	ha:	10.0	2.24		Ini	ciale	es: R	BM y RMCL				

Tabla 3.1. Selección sistemática

Los criterios con mayor ponderación para la evaluación técnica (Fig. 3.13) son los aspectos relacionados con la construcción, diseño y función del módulo con valores de 0.35, 0.25 y 0.2 respectivamente. Y en cuanto a los criterios para la evaluación económica (Fig. 3.14), los costos de construcción tienen la ponderación más alta con un valor de 0.75 en contraste con los costos de mantenimiento e instalación. Dentro de los costos de construcción se le da mayor importancia a la adquisición de elementos mecánicos y a los costos de manufactura.

La evaluación técnica y económica se realiza según la VDI 2225. El rango de valoración es de 0 a 4, a continuación se presenta la escala de valores:

- 0: No satisface.
- 1: Aceptable a las justas.
- 2: Suficiente.
- 3: Bueno.
- 4: Muy bien o ideal.

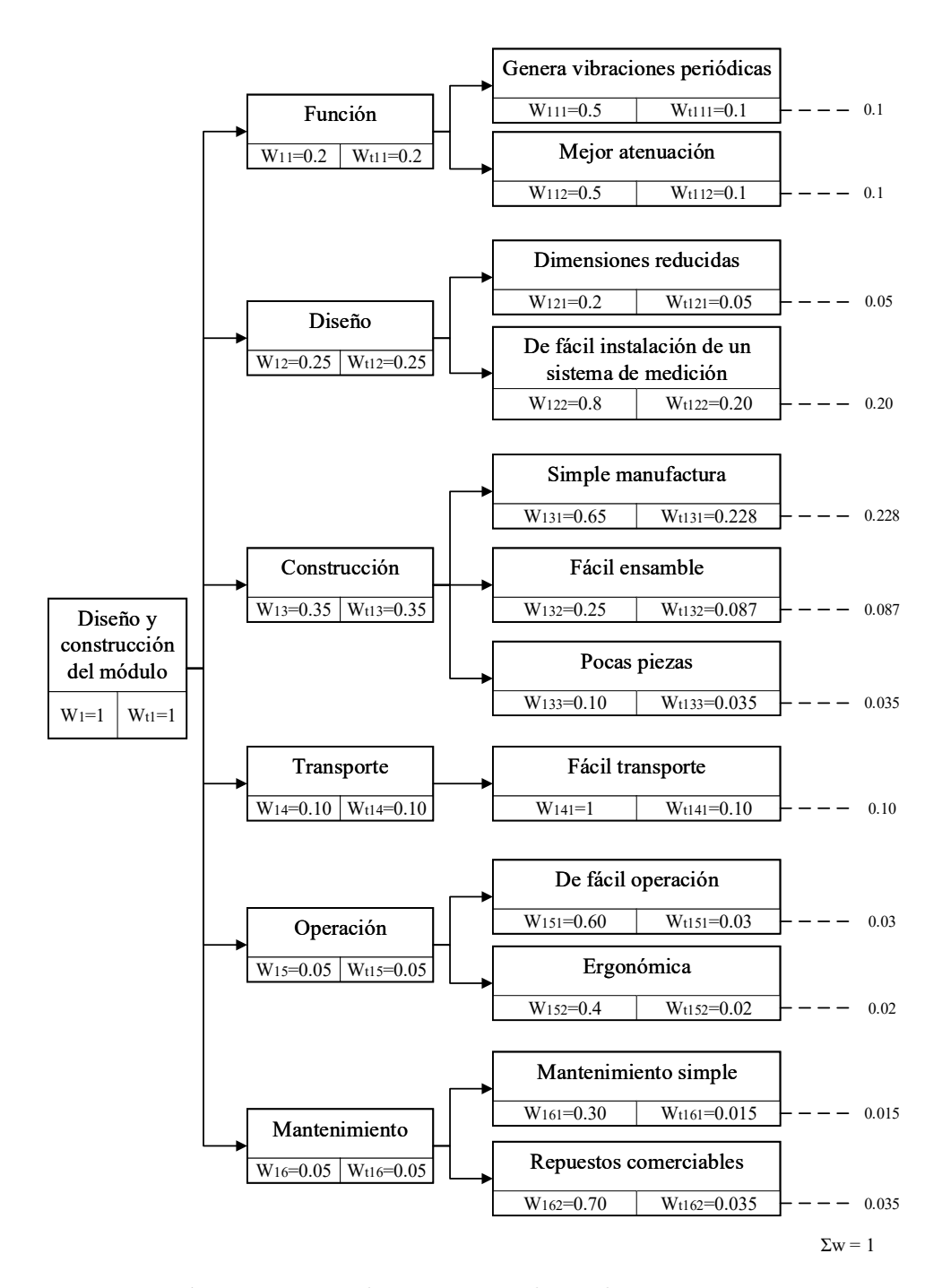


Fig. 3.13. Ponderación para la evaluación técnica

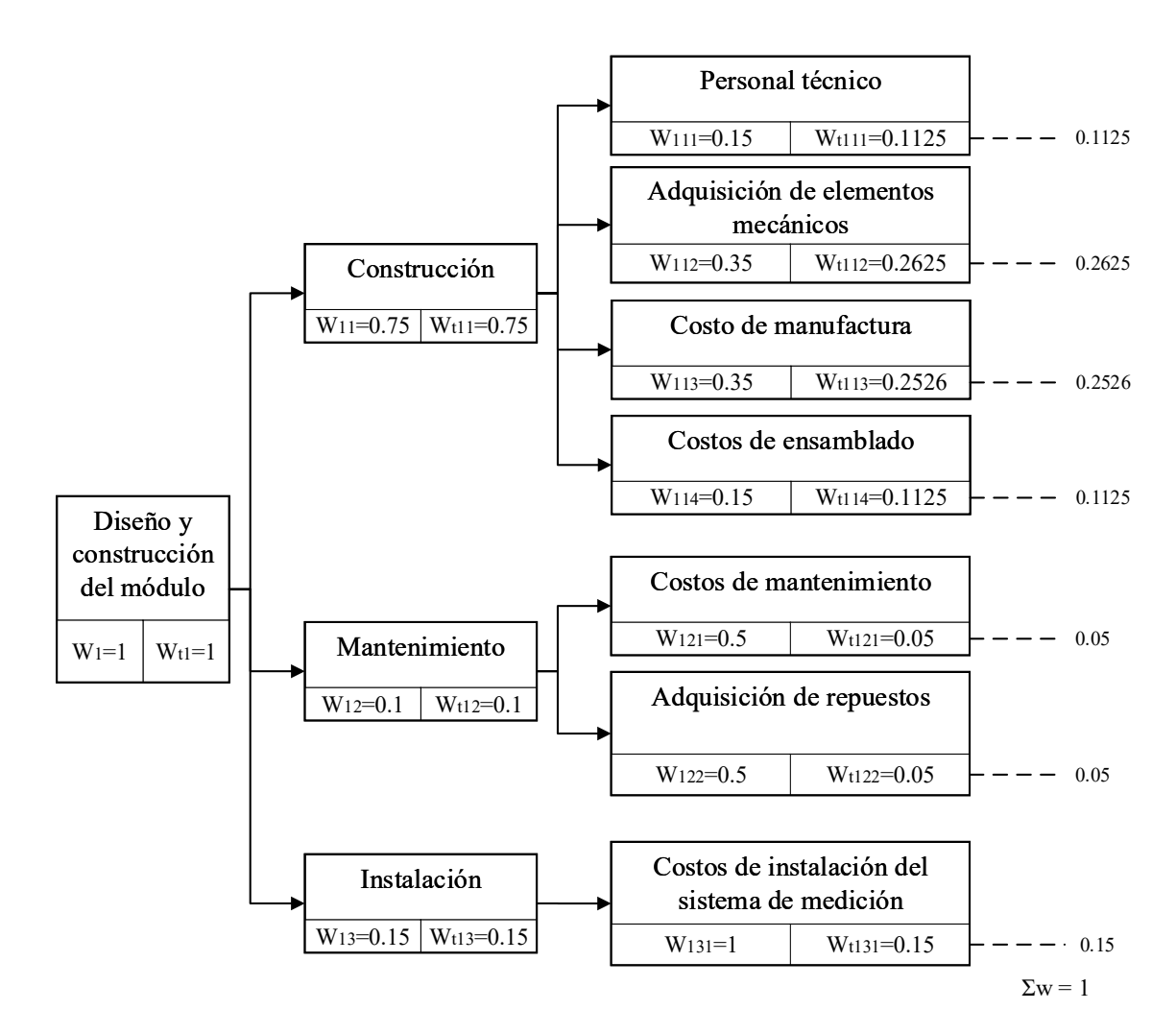


Fig. 3.14. Ponderación para la evaluación económica

		Alternativas de solución			S3	J.	$\mathbf{S4}$	J.	S5	S	98	S	22	S ideal	leal
	$\overset{\circ}{\mathbf{Z}}$	Criterio de evaluación	6.0	d	dS	d	gb	d	gb	d	gb	d	gb	d	gb
D		Generar vibraciones torsionales periódicas	0.1	33	0.3	33	0.3	2	0.2	3	0.3	2	0.2	4	).4
r uncion	2	Mejor atenuación	0.1	2	0.2	က	0.3	3	0.3	2	0.2	က	0.3	4	0.4
Dioxio	33	Dimensiones reducidas	0.05	က	0.15	2	0.1	2	0.1	2	0.1	2	0.1	4	0.2
Diseilo	4	De fácil instalación de un sistema de medición	0.2	2	0.4	က	9.0	က	9.0	က	9.0	က	9.0	4	9.8
	ಬ	Simple manufactura	0.228	က	0.684	_	0.228	2	0.456	က	0.684	2	0.456	4	0.912
Construcción	9	Fácil de ensamble	0.087	က	0.261	2	0.174	2	0.174	2	0.174	2	0.174	4	).348
	7	Pocas piezas	0.035	က	0.105	2	0.07	2	0.07	2	0.07	2	0.07	4	).14
Transporte	$\infty$	De fácil transporte	0.1	က	0.3	2	0.2	2	0.2	2	0.2	2	0.2	4	).4
Oromonión	6	De fácil operación	0.03	2	90.0	က	0.09	2	90.0	2	90.0	က	0.09	4	0.12
Operación	10	10 Ergonómica	0.02	ಣ	90.0	က	90.0	3	90.0	33	90.0	က	90.0	4	0.08
Montoniminato	11	11 Mantenimiento simple	0.015	က	0.045	ಣ	0.045	3	0.045	3	0.045	က	0.045	4	90.0
Mantenninento	12	Manuelline 12 Repuestos comerciables	0.035	2	0.07	2	0.07	33	0.105	2	0.07	2	0.07	4	0.14
		Puntaje máximo	1	32	2.635	29	2.237	59	2.37	29	2.563	29	2.365	48	_
		Valor técnico		0.6667	0.6588	0.6042	0.5593	0.6042	0.5925	0.6042	0.6408	0.6042	0.5913		1

Tabla 3.2. Evaluación técnica

		Alternativas de solución		נפ	S3	$\mathbf{S4}$	4	<b>J</b>	S5	<b>J</b>	98	נט	$\mathbf{S}$ 2	$\mathbf{S}_{\mathbf{i}}$	S ideal
	ž	N° Criterio de evaluación	5.0	d	gb	р	gB	р	gb	р	dS	d	gb	р	gb
		Personal técnico	0.1125	3	0.3375	2	0.225	3	0.3375	3	0.3375	2	0.225	4	0.45
	2	Adquisición de elementos mecánicos	0.2625	33	0.7875	2	0.525	2	0.525	2	0.525	2	0.525	4	1.05
Construcción	3	Manufactura	0.2625	2	0.525	2	0.525	3	0.7875	2	0.525	က	0.7875	4	1.05
	4	4 Ensamblado	0.1125	33	0.3375	2	0.225	2	0.225	3	0.3375	2	0.225	4	0.45
Mark and included	ಬ	Costo de mantenimiento	0.05	33	0.15	3	0.15	3	0.15	3	0.15	က	0.15	4	0.2
ivianiveminimento –	9	Adquisición de repuestos	0.05	က	0.15	2	0.1	3	0.15	3	0.15	2	0.1	4	0.2
Instalación	7	Costo de instalación del sistema de medición	0.15	က	0.15	3	0.45	3	0.45	3	0.45	33	0.45	4	9.0
		Puntaje máximo	1	20	2.4375	16	2.2	19	2.625	19	2.475	17	2.4625	28	4
		Valor económico		0.7143	0.6844	0.5714	0.55	0.6786	0.6563	0.6786	0.6188	0.6071	0.6156	_	1

Tabla 3.3. Evaluación económica

El valor técnico y económico de la Tabla 3.2 y 3.3 ponderado y sin ponderar muestra una diferencia considerable.

Los conceptos de solución 1 y 2 generan vibraciones lineales, por esta razón fueron descartados desde el principio. Los conceptos de solución 3, 5 y 6 son muy parecidos; sin embargo, de acuerdo con la lista de exigencias se requiere que el módulo sea lo más pequeño posible y que cumpla la funcionalidad requerida de generar y atenuar las vibraciones torsionales. Los tres conceptos cumplen con el criterio de funcionalidad; sin embargo, los conceptos de solución 5 y 6 serían inadecuados para el criterio de geometría. Además, el volante adicional sería inadecuado para velocidades bajas de funcionamiento. La calificación más baja del concepto de solución 4 es en el criterio del proceso de manufactura, esto debido al proceso de fabricación del péndulo de rodillo y a la determinación de su trayectoria dentro del disco.

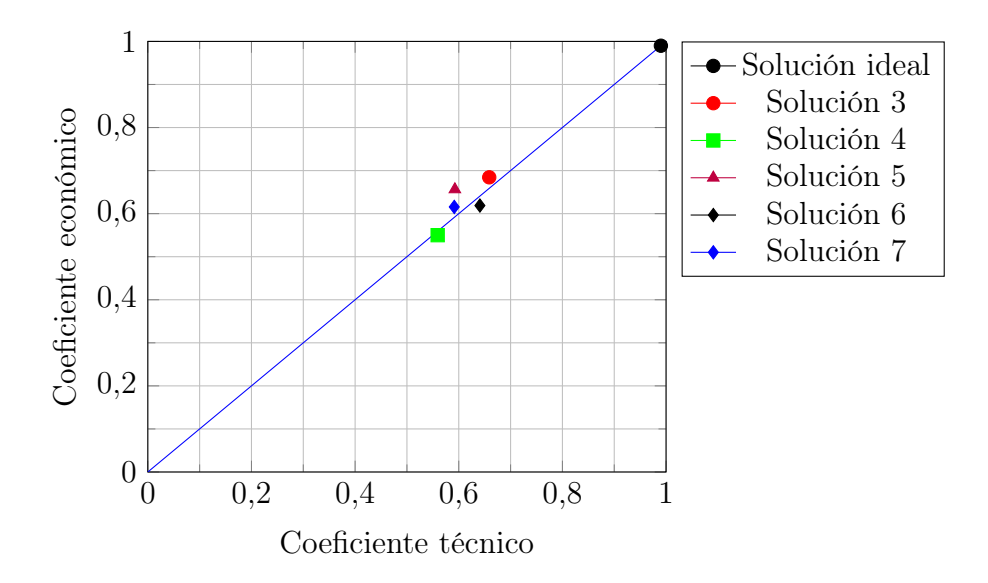


Fig. 3.15. Criterio de evaluación

En la Fig. 3.15 los conceptos de solución tienden a concurrir a un solo punto, esto significa que las propiedades de las soluciones son parecidas.

Las soluciones 3 y 6 son las únicas que se mantiene dentro del rango permisible mayores a 0.6 tanto en el valor técnico y económico. La solución más óptima es el concepto de solución 3.

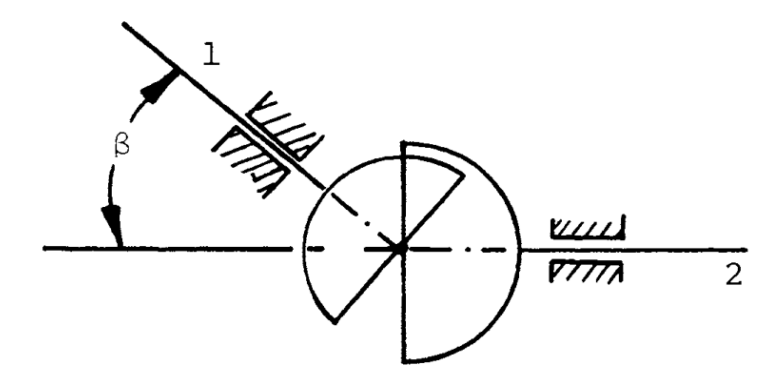
# 4 | Modelado y Simulación Numérica

### 4.1. Análisis Dinámico del Sistema

### 4.1.1. Junta Universal

En el concepto de solución óptimo (capítulo 3) el mecanismo que genera vibración torsional es la junta universal, en esta sección tendrá su análisis dinámico. La junta universal permite la transmisión de movimiento desde el eje conductor del motor hacia el eje impulsado donde se desean generar las vibraciones torsionales. A medida que el eje conductor gira con una velocidad constante, el eje impulsado experimenta velocidades de naturaleza periódica no uniforme fáciles de controlar mediante la manipulación del ángulo  $\beta$  [13].

La Fig. 4.1 esquematiza la junta universal, donde el enlace 1 es el eje conductor, 2 es el eje impulsado y en la parte central se observa la pieza que conecta las dos horquillas. Se ha demostrado que la velocidad angular de los ejes no es constante en una revolución, la relación entre el eje impulsado  $\dot{\theta}_2$  y el eje conductor  $\dot{\theta}_1$  está en función del ángulo que forman  $(\beta)$  y del tiempo [13].



**Fig. 4.1.** Junta de Hooke.[13]

La siguiente expresión representa la relación cinemática del eje conductor y el eje conducido.

$$\tan \theta_2 = \cos \beta \tan \theta_1 \tag{4.1}$$

Donde:  $\theta_1$  = Desplazamiento angular del eje conductor,  $\theta_2$  = Desplazamiento angular del eje conducido,  $\beta$  = Ángulo incluido entre los ejes.

$$\theta_2 = \arctan\left(\cos\beta \tan\theta_1\right) \tag{4.2}$$

Derivando la ecuación 4.2 con respecto al tiempo, considerando  $\beta$  constante y realizando las simplificaciones necesarias, se obtiene.

$$\dot{\theta_2} = \frac{\dot{\theta_1} \cos \beta}{1 - \sin^2 \beta \sin^2 \theta_1} \tag{4.3}$$

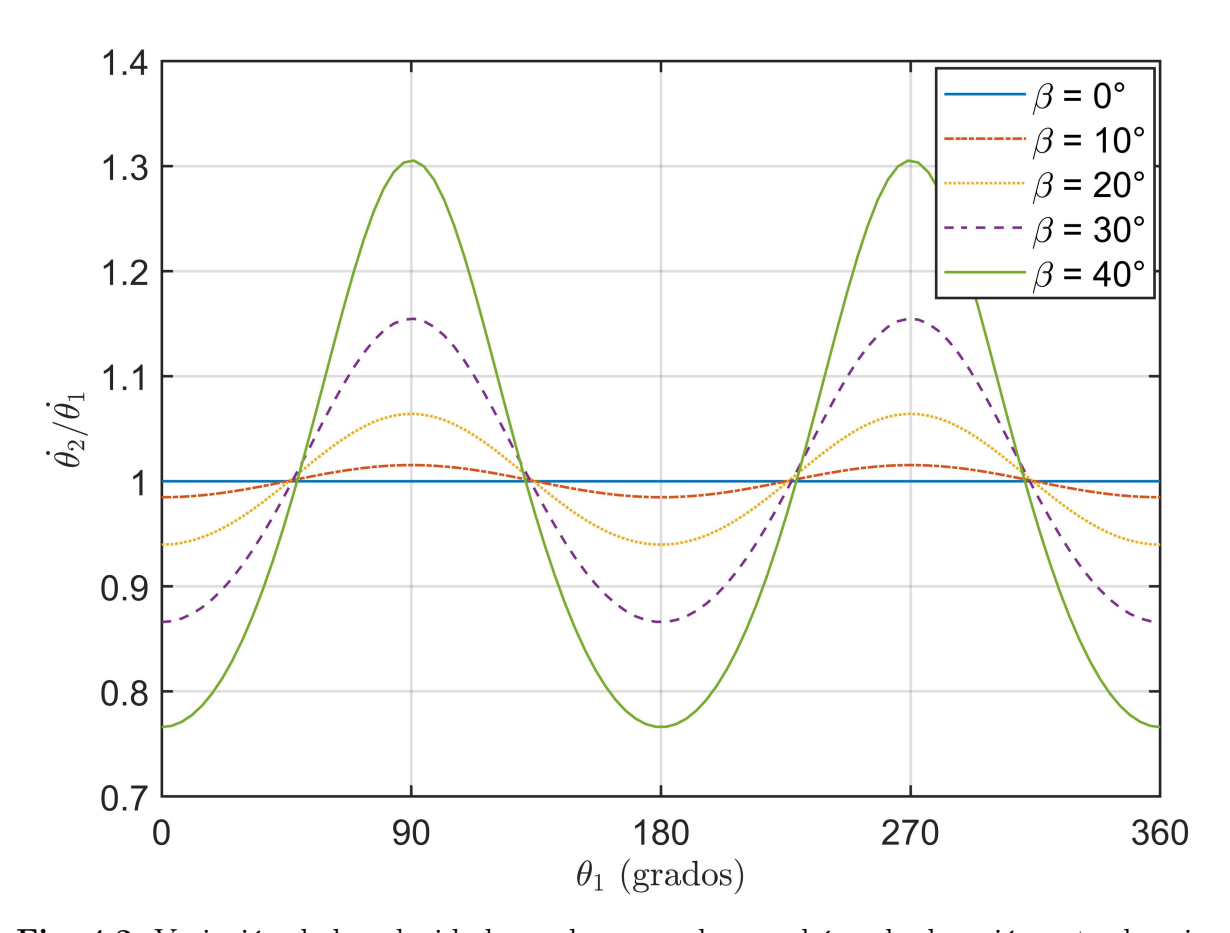


Fig. 4.2. Variación de la velocidad angular causada por el ángulo de unión entre los ejes de entrada y salida

La Fig. 4.2 muestra la variación de la velocidad del eje conducido  $\dot{\theta}_2$  cuando  $\dot{\theta}_1$  es constante en función de  $\theta_1$  para diferentes valores del ángulo que forman ambos ejes  $(\beta)$ . Se observa que  $\dot{\theta}_2$  tiene un comportamiento periódico aproximadamente sinusoidal; y  $\dot{\theta}_2$  alcanza mayores valores cuando  $\beta$  incrementa [13]. En el intervalo de  $(0^{\circ}$  a 90°) la velocidad angular incrementa hasta un valor máximo y de  $(0^{\circ}$  a 180°) disminuye la magnitud de la velocidad hasta un valor mínimo.

Diferenciando la ecuación 4.3 con respecto al tiempo y considerando  $\dot{\theta}_1$  constante, se obtiene la aceleración del eje de salida  $\ddot{\theta}_2$ .

$$\frac{\ddot{\theta}_2}{\dot{\theta}_1^2} = \frac{\cos\beta\sin^2\beta\sin(2\theta_1)}{(1-\sin^2\beta\sin^2\theta_1)^2} \tag{4.4}$$

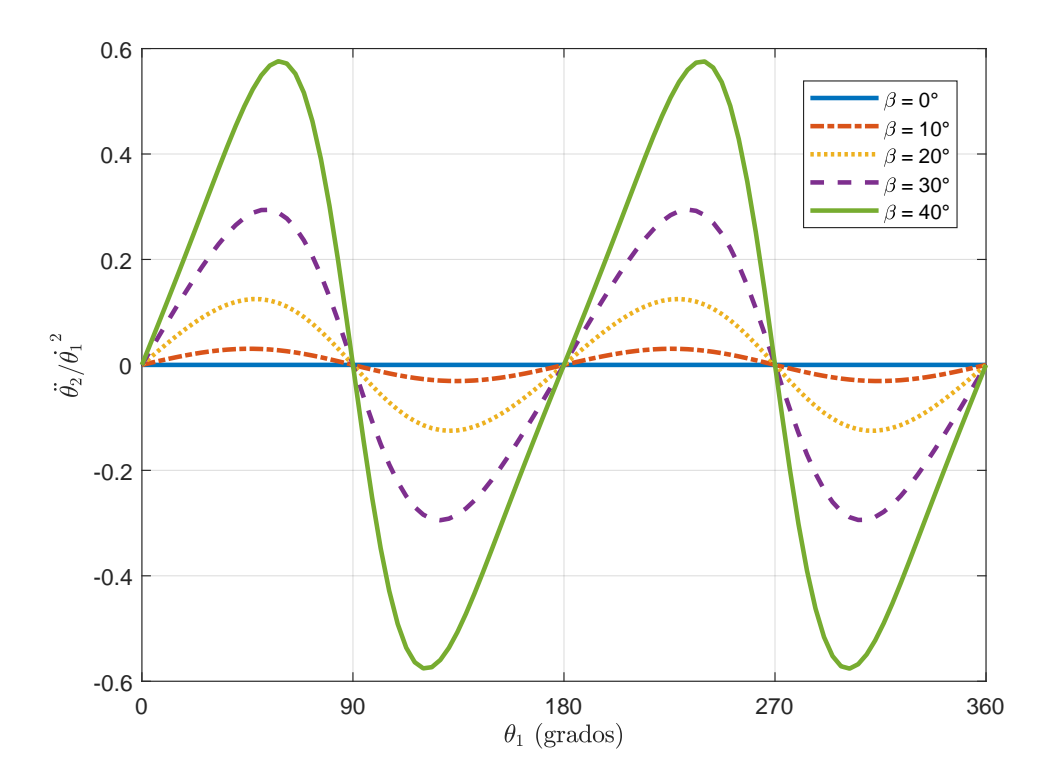


Fig. 4.3. Variación de la aceleración angular causada por el ángulo de unión entre los ejes de entrada y salida

De la Fig. 4.3, la aceleración angular del eje conducido tiene un comportamiento periódico aproximadamente sinusoidal para ángulos de  $\beta < 25^{\circ}$ , y la amplitud incrementa a medida que el ángulo  $\beta$  es mayor [13]. Con la expresión  $k \frac{\pi}{4}$ , se pueden determinar los valores máximos de la aceleración cuando k = 1, 3, 5..., y el valor de cero cuando k = 2, 4, 6... En un giro completo del eje conductor  $\theta_1$  se producen dos valores máximos de aceleración y dos valores mínimos (cero), en intervalos de 90°.

La ecuación 4.4 es una función periódica, con un periodo de  $\tau = \frac{2\pi}{\Omega}$  y puede expandirse como una serie de Fourier con el objetivo de identificar los armónicos. Expresamos el segundo término de la ecuación 4.4 como una función de  $\theta_1$ .

$$f(\theta_1) = \frac{\cos \beta \sin^2 \beta \sin (2\theta_1)}{(1 - \sin^2 \beta \sin^2 \theta_1)^2}$$
(4.5)

La ecuación 4.5 es una función impar. En este caso, la expansión de la serie de Fourier contiene solo términos seno.

$$f(t) = \frac{a_0}{2} + \sum_{n=1}^{\infty} \left( a_n \cos n\omega t + b_n \sin n\omega t \right)$$
 (4.6)

$$f(t) = \sum_{n=1}^{\infty} b_n \sin n\omega t \tag{4.7}$$

El coeficiente de Fourier  $b_n$  se puede obtener con la ecuación 2.9, para obtener este valor se expresa la ecuación 4.7 en función de  $\theta_1$ , esta variable está relacionada con el tiempo (t) a través de la velocidad angular  $(\omega)$ . Los nuevos límites de integración serán de 0 a  $2\pi$ .

$$f(\theta_1) = \sum_{n=1}^{\infty} b_n \sin n\theta_1 \tag{4.8}$$

$$b_n = \frac{1}{\pi} \int_0^{2\pi} \left[ \frac{\cos \beta \sin^2 \beta \sin (2\theta_1)}{(1 - \sin^2 \beta \sin^2 \theta_1)^2} \right] \sin(n\theta_1) d\theta_1$$
 (4.9)

De la ecuación 4.9, los coeficientes impares de (n = 1, 3...) del término sin desaparecen en la integración: por lo tanto, los coeficientes pares se muestran (n = 2, 4...). A partir de n = 4, 6... en adelante, los coeficientes son pequeños y la función periódica se puede aproximar adecuadamente con solo el segundo armónico.

Resolviendo la ecuación 4.9 para n=2 para diferentes valores de  $\beta$ .

β	$b_2$
20°	0.1244
25°	0.1966
28°	0.2487
30°	0.2872

**Tabla 4.1.** Valores del coeficiente  $b_2$  para diferentes valores de  $\beta$ 

Finalmente de la ecuación 4.4, la aceleración del eje conducido  $\ddot{\theta}_2$  para el segundo armónico se puede expresar como:

$$\ddot{\theta}_2 = b_2 \dot{\theta_1}^2 \sin(2\theta_1) = A \sin(2\theta_1) \tag{4.10}$$

La amplitud de la función armónica 4.10 depende de los valores de  $b_2$  y  $\dot{\theta_1}^2$  y se denota como A.

### 4.1.2. Ecuaciones de Movimiento del Sistema

En [18], [15], [16] y [17] sus ecuaciones planteadas, exponen que la torsión en el resorte se genera por el cambio en la energía cinética y energía potencial elástica debido a la variación sinusoidal de la variable  $\Theta_2$  de la junta universal; considerando dichos enfoques se genera deformación, sin embargo, es mínima y se encuentra en un rango  $(0 - 1^{\circ})$  aproximadamente. De acuerdo a la lista de exigencias (sección 3.1) la deformación angular y la atenuación deben ser visibles para una experimentación empírica por la comunidad estudiantil. Por tal motivo, se pretende analizar el efecto de la junta universal omitiendo el efecto de los péndulos y caracterizar el sistema con la variable de la deformación angular del resorte  $\theta$  y plantear el modelo conceptual de 1 GDL; y comprender el efecto de las variaciones de la aceleración en el volante de inercia. Y para derivar las ecuaciones de movimiento se realiza por medio de las ecuaciones de Lagrange.

La deformación angular del resorte se puede expresar como  $\theta = \Theta - \theta_2$  y al derivar la expresión se obtiene  $\dot{\theta} = \dot{\Theta} - \dot{\Theta}_2$ , donde la velocidad angular del volante de inercia es la suma de la velocidad angular  $\dot{\Theta}_2$  y  $\dot{\theta}$ . Para este sistema, el lagrangiano de un grado de libertad se puede expresar de acuerdo a la coordenada generalizada  $(\theta)$ , ver Fig. 4.5.

$$L = \frac{J}{2}(\dot{\theta} + \dot{\theta_2})^2 - \frac{k_{\theta}}{2}\theta^2$$
 (4.11)

La ecuación de Lagrange del sistema es:

$$\frac{d}{dt}(\frac{\partial L}{\partial \dot{\theta}}) - \frac{\partial L}{\partial \theta} = Q \tag{4.12}$$

De la ecuación 4.12, Q representa la fuerza disipativa (amortiguamiento) para un sistema no conservativo. Para obtener la ecuación de movimiento del sistema se reemplaza la ecuación 4.11 en la ecuación 4.12.

$$J\ddot{\theta} + c\dot{\theta} + k_{\theta}\theta = -J\ddot{\theta}_{2} \tag{4.13}$$

Con la ecuación 4.13 se llegan a importantes conclusiones. La expresión  $-J\ddot{\theta}_2$  representa la fuente de excitación y es una fuerza dinámica inercial debido al efecto de la junta universal. De la Fig. 4.3,  $\ddot{\theta}_2$  es positiva de 0° a 90°, en esa etapa la fuerza inercial actúa en dirección contraria al movimiento del sistema; después de los 90° hasta los 180° la fuerza inercial actúa en la misma dirección que el movimiento. El cambio de la dirección de la fuente de excitación produce el torcimiento en el resorte. La fuente de excitación depende directamente del ángulo  $\beta$ , a mayor valor de  $\beta$ , la magnitud del momento inercial es mayor, ver Fig. 4.4.

El signo negativo de la expresión indica que la fuerza actúa en dirección contraria al cambio de velocidad positiva. Además, cuando el sistema desacelera, la fuerza  $-J\ddot{\theta}_2$  se vuelve positiva. En conclusión, el cambio en la aceleración angular  $\ddot{\theta}_2$  (ver Fig. 4.3) produce un momento inercial lo que ocasiona el torcimiento del resorte.

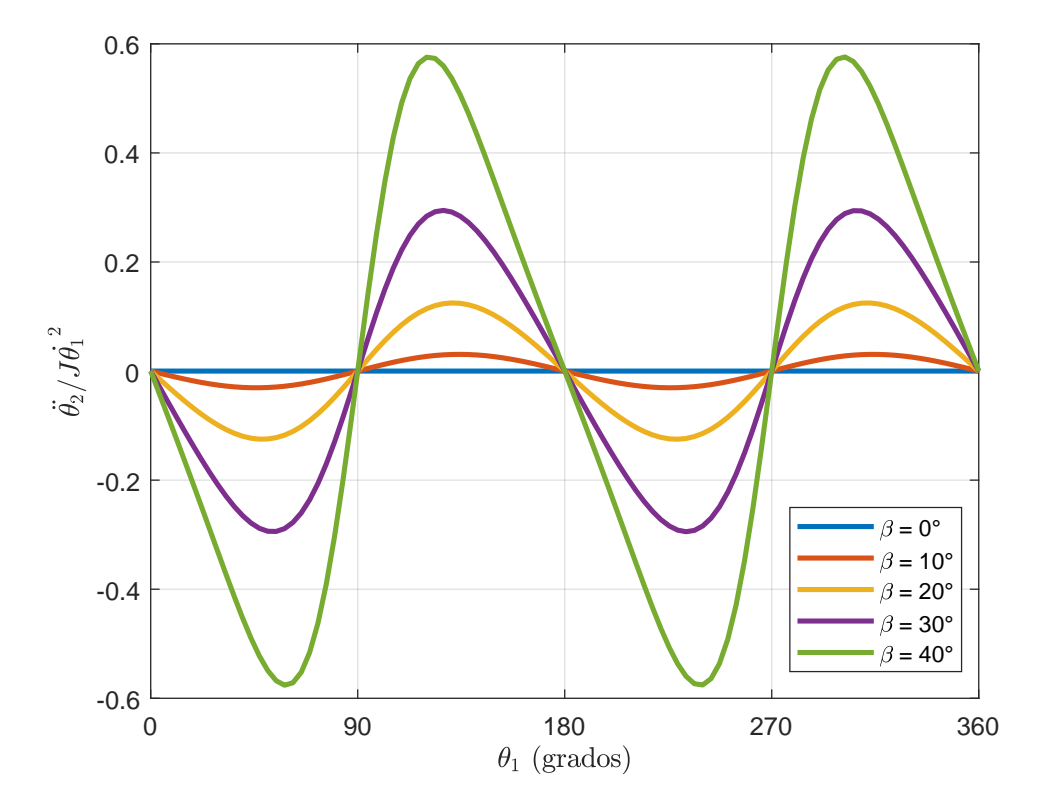


Fig. 4.4. Variación del momento inercial adimensional en función del ángulo  $\theta_1$ 

Reemplazando la ecuación 4.10 en la ecuación 4.13 y la expresión  $-Jb_2\dot{\theta_1}^2$  se denota como  $T_0$ . La nueva expresión es:

$$J\ddot{\theta} + c\dot{\theta} + k_{\theta}\theta = T_0 \sin(2\theta_1) \tag{4.14}$$

El modelo conceptual planteado de acuerdo con la directriz VDI 3843-1 [47] es una ecuación sencilla y capaz de resolverse analíticamente, ver Fig. 4.7 y 4.9; además, es necesario realizar la evaluación de la calidad del modelo. En esta investigación se realizará la validación mediante valores experimentales, y en la sección 6.2.5 se muestran imágenes del torcimiento del resorte, ver Fig. 6.23 y 6.24.

Con las características definidas de la fuente de excitación se obtendrán las ecuaciones de movimiento del sistema considerando los péndulos mediante las ecuaciones de Lagrange [48], [34], donde se desprecia la fuerza de coriolis del péndulo [32], [20]. El ángulo de rotación total del disco se expresa como  $\Theta = \Omega t + \theta$  y la posición angular del péndulo como  $\phi$ . De la primera expresión  $\Omega t$  es la rotación en estado estacionario ( $\Omega$  es una velocidad angular constante) y  $\theta$  representa la perturbación de vibración (deflexión angular del

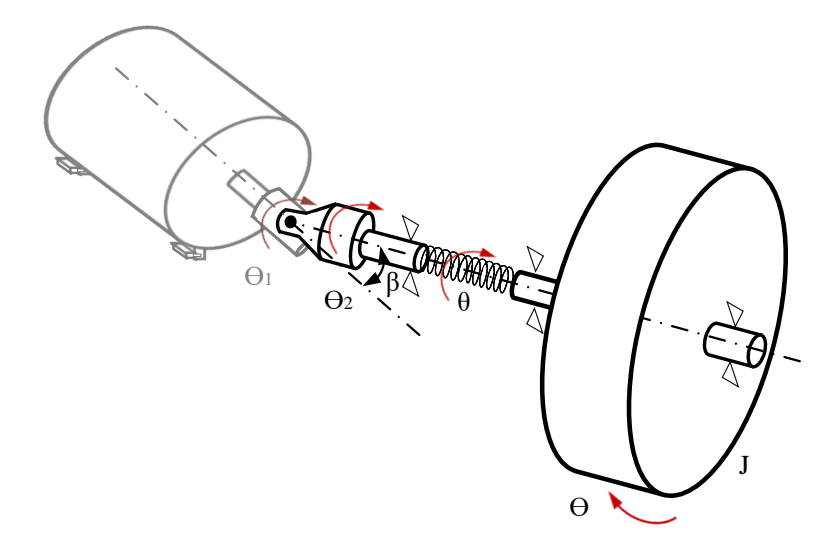


Fig. 4.5. Modelo físico del sistema sin péndulo

resorte [15]) superpuesta en la rotación [48].

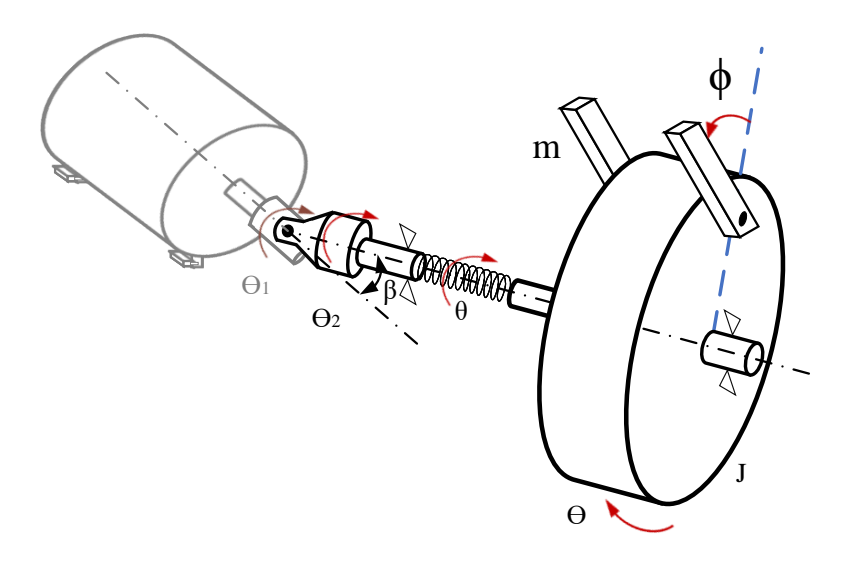


Fig. 4.6. Modelo físico del sistema

Las ecuaciones de desplazamiento en el plano rotacional de las masas m del péndulo en coordenadas cartesianas son:

$$x = a\cos(\Theta) + l\cos(\Theta + \phi) \tag{4.15}$$

$$y = a\sin(\Theta) + l\sin(\Theta + \phi) \tag{4.16}$$

Derivamos las ecuaciones de posición del péndulo:

$$\dot{x} = -a\dot{\Theta}\sin(\Theta) - l(\dot{\Theta} + \dot{\phi})\sin(\Theta + \phi) \tag{4.17}$$

$$\dot{y} = a\dot{\Theta}\cos(\Theta) + l(\dot{\Theta} + \dot{\phi})\cos(\Theta + \phi) \tag{4.18}$$

Al elevarlos al cuadrado se obtiene:

$$\dot{x}^2 = a^2(\dot{\Theta})^2 \sin^2(\Theta) + (\dot{\Theta} + \dot{\phi})^2 l^2 \sin^2(\Theta + \phi) + 2al\dot{\Theta}(\dot{\Theta} + \dot{\phi}) \sin(\Theta) \sin(\Theta + \phi) \quad (4.19)$$

$$\dot{y}^2 = a^2(\dot{\Theta})^2 \cos^2(\Theta) + (\dot{\Theta} + \dot{\phi})^2 l^2 \cos^2(\Theta + \phi) + 2al\dot{\Theta}(\dot{\Theta} + \dot{\phi})\cos(\Theta)\cos(\Theta + \phi) \quad (4.20)$$

La energía cinética T se expresa mediante la siguiente ecuación:

$$T = \frac{J}{2}\dot{\Theta}^2 + \frac{m}{2}(\dot{x}^2 + \dot{y}^2) \tag{4.21}$$

Reemplazamos las ecuaciones 4.19 y 4.20 en la ecuación 4.21, simplificando se obtiene lo siguiente:

$$T = \frac{J}{2}\dot{\Theta}^2 + \frac{m}{2}\left[a^2\dot{\Theta}^2 + (\dot{\Theta} + \dot{\phi})^2l^2 + 2al\dot{\Theta}(\dot{\Theta} + \dot{\phi})\cos(\phi)\right]$$
(4.22)

La energía potencial V depende de la rigidez del resorte que esta definida como  $k_{\theta}$ .

$$V = \frac{k_{\theta}}{2}\theta^2 \tag{4.23}$$

Establecemos el Lagrangiano, L=T-V y reemplazamos las ecuaciones 4.22 y 4.23.

$$L = \frac{J}{2}\dot{\Theta}^{2} + \frac{m}{2} \left[ (a^{2}\dot{\Theta}^{2} + (\dot{\Theta} + \dot{\phi})^{2}l^{2} + 2al\dot{\Theta}(\dot{\Theta} + \dot{\phi})\cos(\phi) \right] - \frac{k_{\theta}}{2}\theta^{2}$$
(4.24)

Las variables independientes del sistema son la deflexión angular  $\theta$  y la posición del péndulo  $\phi$ . La velocidad angular del volante  $\dot{\Theta}$  es igual a la velocidad angular del motor más la deflexión angular del resorte.

$$\dot{\Theta} = \Omega + \dot{\theta} \tag{4.25}$$

Reemplazando la ecuación 4.25 en la ecuación 4.24.

$$L = \frac{J}{2}(\Omega + \dot{\theta})^2 + \frac{m}{2} \left[ a^2(\Omega + \dot{\theta})^2 + (\Omega + \dot{\theta} + \dot{\phi})^2 l^2 + 2al(\Omega + \dot{\theta})(\Omega + \dot{\theta} + \dot{\phi})\cos(\phi) \right] - \frac{k_{\theta}}{2} \theta^2$$

$$(4.26)$$

Las ecuaciones de Lagrange del sistema son:

$$\frac{d}{dt}(\frac{\partial L}{\partial \dot{\theta}}) - \frac{\partial L}{\partial \theta} = M(t) \tag{4.27}$$

$$\frac{d}{dt}(\frac{\partial L}{\partial \dot{\phi}}) - \frac{\partial L}{\partial \phi} = 0 \tag{4.28}$$

Reemplazamos la ecuación 4.26 en las ecuaciones 4.27 y 4.28.

$$J\ddot{\theta} + \frac{m}{2} \left[ 2a^2\ddot{\theta} + 2l^2(\ddot{\theta} + \ddot{\phi}) - 2al(\Omega + \dot{\theta})\sin\phi\dot{\phi} + 2al\cos\phi\ddot{\theta} - 2al(\Omega + \dot{\theta} + \dot{\phi})\sin\phi\dot{\phi} + 2al\cos\phi(\ddot{\theta} + \ddot{\phi}) \right] - (-k_{\theta}\theta) = M(t)$$

$$(4.29)$$

$$ml^{2}(\ddot{\Theta} + \ddot{\phi}) + mal\ddot{\Theta}\cos\phi - mal\dot{\phi}\dot{\Theta}\sin\phi - (-mal\dot{\Theta}(\dot{\Theta} + \dot{\phi})\sin\phi) = 0$$
 (4.30)

Las ecuaciones diferenciales del sistema considerando el amortiguamiento del sistema  $(c_{\theta})$  y del péndulo  $(c_p)$  para obtener una respuesta con mayor exactitud [29], son las siguientes:

$$[J + m(a^2 + l^2 + 2al\cos\phi)]\ddot{\theta} + ml(l + a\cos\phi)\ddot{\phi} - 2mal\sin\phi(\dot{\theta} + \Omega)\dot{\phi} - mal\sin\phi\dot{\phi}^2 + c_\theta\dot{\theta} + k_\theta\theta = M(t)$$

$$(4.31)$$

$$ml(l + a\cos\phi)\ddot{\theta} + ml^2\ddot{\phi} + mal\sin\phi(\Omega + \dot{\theta})^2 + c_p\dot{\phi} = 0$$
(4.32)

Generalizando las ecuaciones 4.31 y 4.32 para j péndulos, se tiene:

$$[J + \sum_{j=1}^{n} m_{j} (a_{j}^{2} + l_{j}^{2} + 2a_{j}l_{j}\cos\phi_{j})]\ddot{\theta} + \sum_{j=1}^{n} m_{j}l_{j}(l_{j} + a_{j}\cos\phi_{j})\ddot{\phi}_{j}$$

$$-2\sum_{j=1}^{n} m_{j}a_{j}l_{j}\sin\phi_{j}(\dot{\theta} + \Omega)\dot{\phi}_{j} - \sum_{j=1}^{n} m_{j}a_{j}l_{j}\sin\phi_{j}\dot{\phi}_{j}^{2} + c_{\theta}\dot{\theta} + k_{\theta}\theta = M(t)$$

$$(4.33)$$

$$m_i l_i (l_i + a_i \cos \phi_i) \ddot{\theta} + m_i l_i^2 \ddot{\phi}_i + m_i a_i l_i \sin \phi_i (\Omega + \dot{\theta})^2 + c_p \dot{\phi}_i = 0$$
 (4.34)

#### Linealizando las Ecuaciones Diferenciales

Para pequeños valores de  $\theta$  y  $\phi$  se aproxima  $\cos \phi \approx 1$ ,  $\sin \phi \approx \phi$  y  $\dot{\Theta} = \Omega + \dot{\theta} \approx \Omega$ . La ecuación 4.26 linealizada se reemplaza en las ecuaciones 4.27 y 4.28 y además para realizar las simulaciones numéricas se tiene en cuenta los factores de amortiguamiento  $c_{\theta}$  (para el sistema de vibración torsional) y  $c_{p}$  (para el péndulo) [34]. Se obtienen las siguientes ecuaciones diferenciales para un péndulo.

$$[J + m(l+a)^{2}]\ddot{\theta} + ml(l+a)\ddot{\phi} + c_{\theta}\dot{\theta} + k_{\theta}\theta = M(t) = -J\ddot{\theta}_{2}^{2}$$
(4.35)

$$(l+a)\ddot{\theta} + l\ddot{\phi} + c_p\dot{\phi} + a\Omega^2\phi = 0 \tag{4.36}$$

De la ecuación 4.36 se obtiene la frecuencia natural del péndulo.

$$\omega_p = \Omega \sqrt{\frac{a}{l}} = n\Omega \tag{4.37}$$

La frecuencia del péndulo depende directamente de la velocidad de rotación del motor; si a este valor se le multiplica por un múltiplo entero (n) se obtendrían las armónicas de la fuente de excitación. En este estudio se atenuará la segunda armónica del torque producido por la junta universal, por lo que n=2.

#### Parámetros Iniciales

Para definir los parámetros iniciales se tiene en consideración la deformación y atenuación angular que se desea producir.

Parámetro	Valor	Descripción				
$\beta$	25°	≤ 25° para un comportamiento				
ρ	20	aproximadamente sinusoidal [13]				
$k_{ heta}$	[0.54 0.70] N / J	De 10 a 20 espiras con una tolerancia de $\pm 15^{\circ}$				
$\kappa_{ heta}$	[0.54 - 0.70]  Nm/rad	[49]				
$c_{\theta}$	$0.005 \ { m Nm}/ms^{-1}$	Coeficiente de amortiguamiento del sistema [17]				
	$0.001~{ m Nm}/ms^{-1}$	Coeficiente de amortiguamiento del péndulo				
$c_p$		[17]				
J	$0.0006 \text{ kg}m^2$	Momento de inercia del volante				
$\overline{m_p}$	0.09 kg	Correspondiente a un péndulo				
n	2	Armónica de excitación para un péndulo simple				
1	11.5 mm	Longitud del péndulo				
	46 mm	Longitud del centro del disco al punto de				
a	40 MM	articulación del péndulo				

Tabla 4.2. Valores de los parámetros vibratorios

De la Tabla 4.2 la frecuencia natural del sistema se encuentra en un rango de [30 - 34] rad/s con un valor promedio aproximadamente de 32 rad/s equivalente a 5.1 Hz, el cual se considerará para análisis posteriores. El sistema entrará en resonancia cuando el segundo armónico de la fuente de excitación sea igual a la frecuencia natural del sistema, para que esto suceda la frecuencia fundamental (velocidad del motor) debe ser de 16 rad/s equivalente a 2.55 Hz. Con un sistema en condiciones de resonancia, se pretende minimizar la deflexión angular mediante la sintonización de la frecuencia del péndulo con la del sistema.

#### Solución Analítica

Se analiza la respuesta en el tiempo para un 1GDL (sin péndulos), la ecuación 4.14 se divide por J se tiene la siguiente expresión:

$$\ddot{\theta} + 2\zeta_{\theta}\omega_{\theta}\dot{\theta} + \omega_{\theta}^{2}\theta = -\ddot{\theta}_{2} = -b_{2}\dot{\theta}_{1}\sin(2\Omega t) \tag{4.38}$$

Donde 
$$T_0 = -Jb_2\dot{\theta_1}^2$$
,  $c_\theta = 2\zeta_\theta\omega_\theta$  y  $\omega_\theta^2 = \frac{k_\theta}{J}$ 

La solución particular de la ecuación 4.38 será armónica, la suponemos de la siguiente forma.

$$\theta_p(t) = X \sin(2\Omega t - \psi) \tag{4.39}$$

Donde X indica la amplitud de la respuesta y  $\psi$  el ángulo de fase de la respuesta por el la presencia de amortiguamiento, respectivamente. Reemplazamos la ecuación 4.39 en 4.38.

$$X\sin(2\Omega t - \psi)\left[-(2\Omega)^2 + \omega_\theta^2\right] + X4\zeta_\theta\omega_\theta\Omega\cos(2\Omega t - \psi) = -b_2\dot{\theta}_1^2\sin(2\Omega t) \qquad (4.40)$$

Reemplazamos las siguientes relaciones trigonométricas en la ecuación 4.40.

$$\cos(a-b) = \cos a \cos b + \sin a \sin b$$

$$\sin(a-b) = \sin a \cos b - \cos a \sin b$$

Igualamos los coeficientes en ambos lados de la ecuación, se tiene:

$$X \left[ (2\Omega)^2 - \omega_{\theta}^2 \right] \cos \psi - X 4 \zeta_{\theta} \omega_{\theta} \Omega \sin \psi = b_2 \dot{\theta}_1^2$$

$$X \left[ (2\Omega)^2 - \omega_{\theta}^2 \right] \sin \psi + X 4 \zeta_{\theta} \omega_{\theta} \Omega \cos \psi = 0$$
(4.41)

La solución de la ecuación 4.41 es:

$$X = \frac{b_2 \dot{\theta}_1^2}{\sqrt{(\omega_\theta^2 - (2\Omega)^2)^2 + (4\zeta_\theta \omega_\theta \Omega)^2}}$$
(4.42)

$$\psi = \tan^{-1} \left( \frac{4\zeta_{\theta}\omega_{\theta}\Omega}{\omega_{\theta}^2 - (2\Omega)^2} \right) \tag{4.43}$$

La solución particular se obtiene reemplazando las ecuaciones 4.42 y 4.43 en la ecuación 4.39.

$$\theta_p(t) = \frac{b_2 \dot{\theta}_1^2}{\sqrt{(\omega_\theta^2 - (2\Omega)^2)^2 + (4\zeta_\theta \omega_\theta \Omega)^2}} \sin\left[2\Omega t - \tan^{-1}\left(\frac{4\zeta_\theta \omega_\theta \Omega}{\omega_\theta^2 - (2\Omega)^2}\right)\right]$$
(4.44)

La respuesta transitoria es la parte de la solución que corresponde al comportamiento del sistema ocasionado por las condiciones iniciales, mientras que la respuesta de estado estable representa el comportamiento del sistema ocasionado por la fuerza de excitación [29]. La respuesta transitoria del sistema es:

$$\ddot{\theta} + 2\zeta_{\theta}\omega_{\theta}\dot{\theta} + \omega_{\theta}^{2}\theta = 0 \tag{4.45}$$

$$r^2 + 2\zeta_\theta \omega_\theta r + \omega_\theta^2 = 0 \tag{4.46}$$

$$\theta_h(t) = e^{-\zeta\omega_{\theta}t} \left[ c_1' \cos\left(\sqrt{1 - \zeta_{\theta}^2}\omega_{\theta}t\right) + c_2' \sin\left(\sqrt{1 - \zeta_{\theta}^2}\omega_{\theta}t\right) \right]$$
(4.47)

La solución completa del sistema es:

$$\theta(t) = \theta_p(t) + \theta_h(t) \tag{4.48}$$

Para calcular los valores de las constantes de la respuesta transitoria, definimos las condiciones iniciales  $\theta(0) = 0$  y  $\dot{\theta}(0) = 0$ , y el ángulo de desfase es  $\psi$ 

$$c_1' = \frac{b_2 \dot{\theta}_1^2}{\sqrt{(\omega_\theta^2 - (2\Omega)^2)^2 + (4\zeta_\theta \omega_\theta \Omega)^2}} \cos(-\psi)$$
 (4.49)

$$c_2' = \frac{\frac{b_2 \theta_1^2}{\sqrt{(\omega_\theta^2 - (2\Omega)^2)^2 + (4\zeta_\theta \omega_\theta \Omega)^2}}}{\sqrt{1 - \zeta_\theta^2 \omega_\theta}} \left[ -\zeta_\theta \omega_\theta \cos(-\psi) + 2\Omega \sin(-\psi) \right]$$
(4.50)

La Fig. 4.7 describe el comportamiento del sistema sin absorbedor. La Fig. 4.8 muestra la amplitud pico de deformación del resorte según la variación de la velocidad de rotación para un rango de coeficiente de amortiguamiento de  $(0.004 - 0.0045)Nm/ms^{-1}$ , se obtiene una deformación de 16° aproximadamente. Además, en la Fig. 4.9 se aprecia que la deformación alcanzada es influenciada por el coeficiente de amortiguamiento del sistema. Por esta razón, en la etapa de construcción del módulo se deben evitar los desalineamientos o cualquier fenómeno que genere valores altos de coeficiente de amortiguamiento.

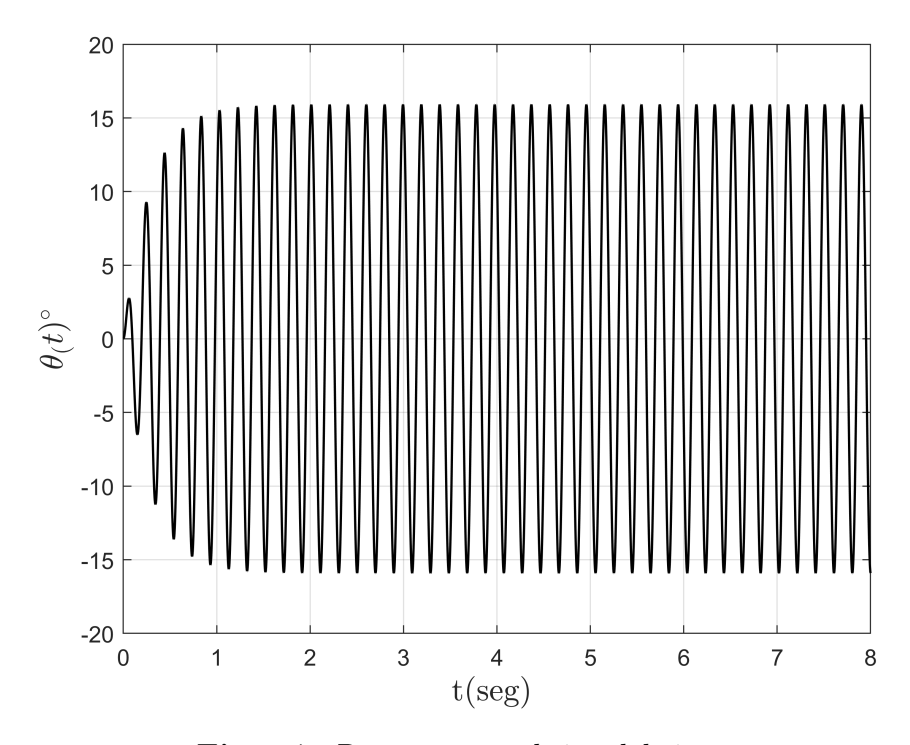


Fig. 4.7. Respuesta analítica del sistema

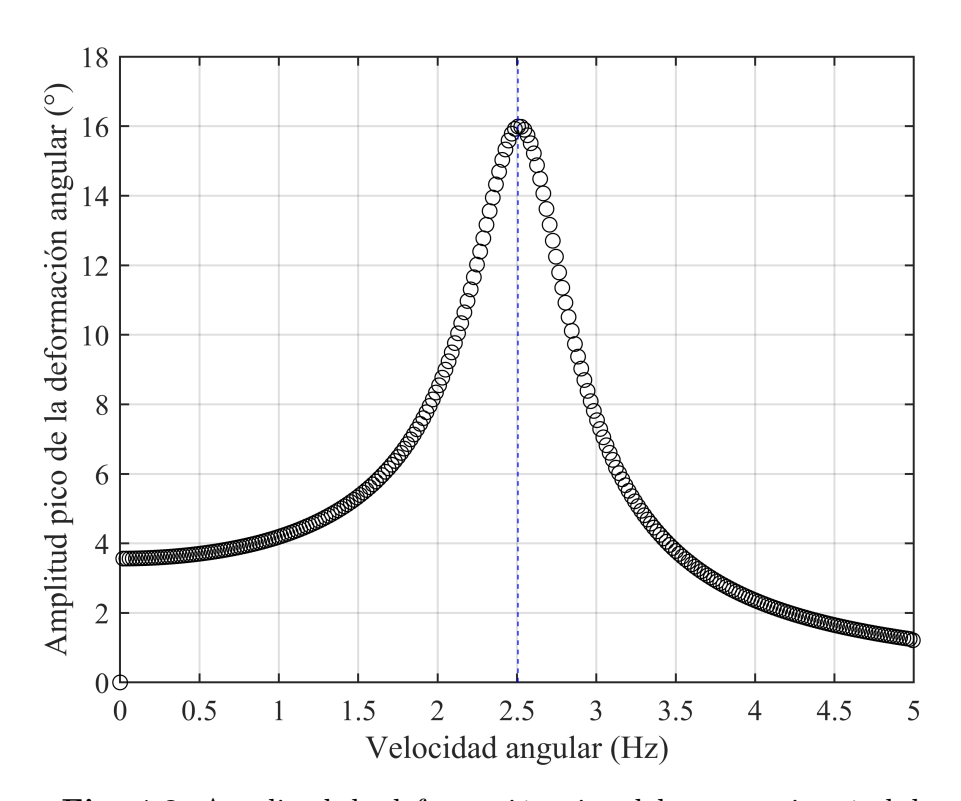


Fig. 4.8. Amplitud de deformación pico del resorte sin péndulo

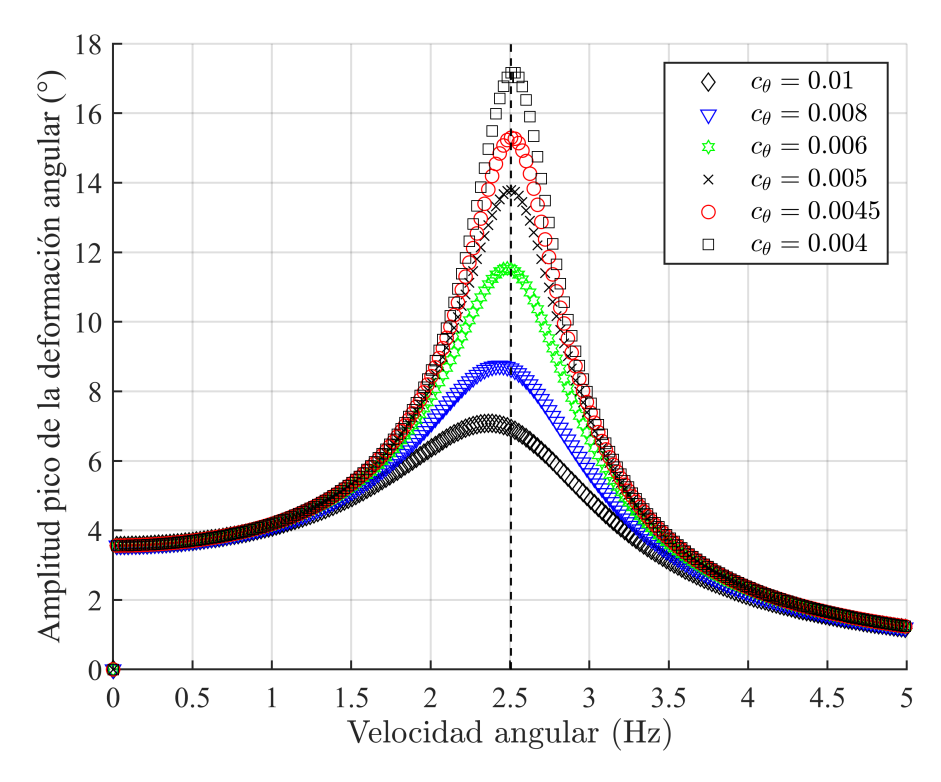


Fig. 4.9. Amplitud de deformación para diferentes coeficientes de amortiguamiento del sistema

# 4.2. Simulación Numérica de las Ecuaciones de Movimiento

Para hallar la solución de las ecuaciones diferenciales de segundo orden (sección 4.1.2) se utilizará el solver ODE45 de Matlab que será incluido en un script (ver Anexo E), es necesario definir nuevas variables  $\dot{\mathbf{y}}(t)$  y formular las ecuaciones de segundo orden como un sistema de ecuaciones diferenciales ordinarias de primer orden  $\mathbf{A}\dot{\mathbf{y}}(t)=\mathbf{f}$ , donde la matriz  $\mathbf{A}$  y  $\mathbf{f}$  serán definida en cada caso.

$$\mathbf{y(t)} = \begin{bmatrix} y(1) \\ y(2) \\ y(3) \\ y(4) \end{bmatrix} = \begin{bmatrix} \theta(t) \\ \dot{\theta}(t) \\ \phi(t) \\ \dot{\phi}(t) \end{bmatrix}$$
(4.51)

$$\dot{\mathbf{y}}(t) = \frac{d}{dt}\mathbf{y(t)} = \begin{bmatrix} \dot{\theta}(t) \\ \ddot{\theta}(t) \\ \dot{\phi}(t) \\ \ddot{\phi}(t) \end{bmatrix}$$
(4.52)

Despejamos  $\dot{\mathbf{y}}(t)$  del sistema de ecuaciones diferenciales ordinarias de primer orden.

$$\dot{\mathbf{y}}(t) = \mathbf{A}^{-1}\mathbf{f} \tag{4.53}$$

Donde: A representa la matriz de coeficientes de  $\dot{\mathbf{y}}(t)$  y f es la matriz de las expresiones despejadas de  $\dot{\mathbf{y}}(t)$ .

#### 4.2.1. Solución del Sistema Sin Absorbedor

Para calcular la respuesta del sistema sin absorbedor no se considera al péndulo en la ecuación 4.35 y se definen las nuevas variables para y(t) y las matrices  $\mathbf{A}$  y  $\mathbf{f}$ .

$$[J + m(l+a)^2]\ddot{\theta} = T_0 f(t) - c_\theta \dot{\theta} - k_\theta \theta \tag{4.54}$$

$$\mathbf{y(t)} = \begin{bmatrix} y(1) \\ y(2) \end{bmatrix} = \begin{bmatrix} \theta(t) \\ \dot{\theta}(t) \end{bmatrix}$$
(4.55)

$$\frac{d}{dt}\mathbf{y(t)} = \dot{\mathbf{y}}(t) = \begin{bmatrix} \dot{\theta}(t) \\ \ddot{\theta}(t) \end{bmatrix}$$
(4.56)

$$\mathbf{A}\dot{\mathbf{y}}(t) = \mathbf{f} \tag{4.57}$$

$$\begin{bmatrix} 1 & 0 \\ 0 & J + m(l+a)^2 \end{bmatrix} \begin{bmatrix} \dot{\theta} \\ \dot{\phi} \end{bmatrix} = \begin{bmatrix} y(2) \\ T_0 f(t) - c_{\theta} y(2) - k_{\theta} y(1) \end{bmatrix}$$
(4.58)

#### 4.2.2. Solución del Sistema Lineal

Para reducir el sistema de ecuaciones diferenciales de segundo orden lineal, las nuevas variables están definidas en las ecuaciones 4.51 y 4.52. De las ecuaciones 4.31 y 4.32 se formulan las matrices  $\mathbf{A}$  y  $\mathbf{f}$ . La ecuación diferencial reducida de primer orden es:

$$\begin{bmatrix} J + m(l+a)^2 & ml(l+a) \\ ml(l+a) & ml^2 \end{bmatrix} \begin{bmatrix} \ddot{\theta} \\ \ddot{\phi} \end{bmatrix} = \begin{bmatrix} T_0 f(t) - c_{\theta} \dot{\theta} - k_{\theta} \theta \\ -c_p \dot{\phi} - mal\Omega^2 \phi \end{bmatrix}$$
(4.59)

$$\mathbf{A}\dot{\mathbf{y}}(t) = \mathbf{f} \tag{4.60}$$

$$\begin{bmatrix} 1 & 0 & 0 & 0 \\ 0 & J + m(l+a)^2 & 0 & ml(l+a) \\ 0 & 0 & 1 & 0 \\ 0 & ml(l+a) & 0 & ml^2 \end{bmatrix} \begin{bmatrix} \dot{\theta}(t) \\ \ddot{\theta}(t) \\ \dot{\phi}(t) \\ \ddot{\phi}(t) \end{bmatrix} = \begin{bmatrix} y(2) \\ T_0 f(t) - c_{\theta} y(2) - k_{\theta} y(1) \\ y(4) \\ -c_p y(4) - mal\Omega y(3) \end{bmatrix}$$
(4.61)

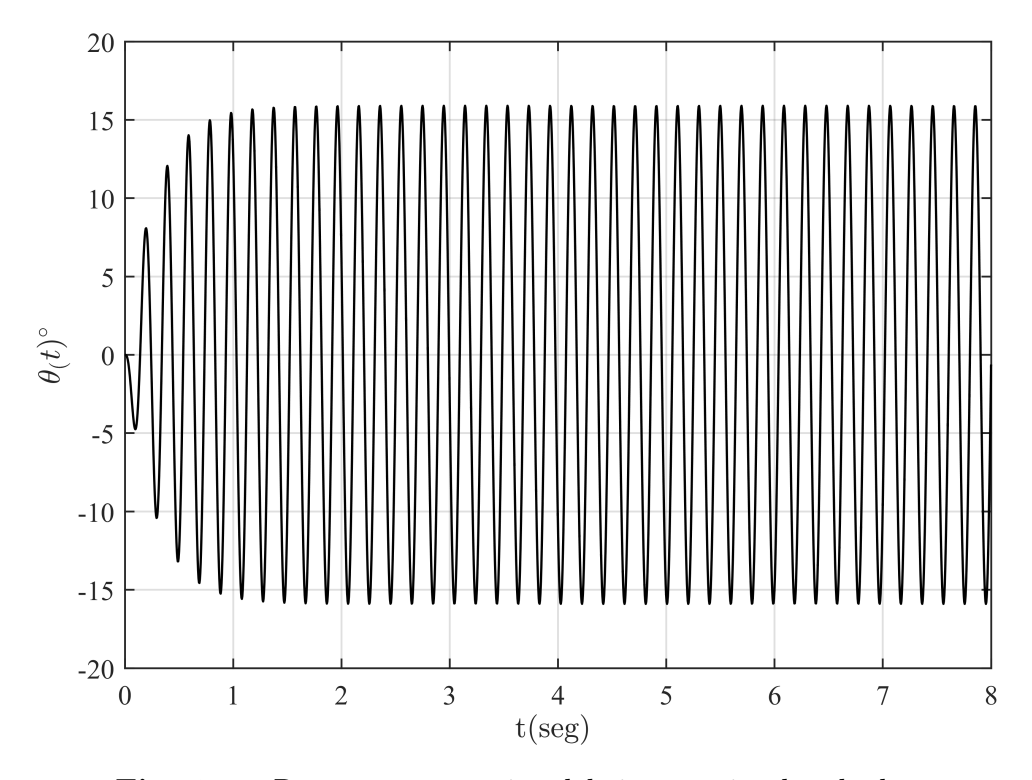


Fig. 4.10. Respuesta numérica del sistema sin absorbedor

La respuesta del sistema linealizado se muestra en la Fig. 4.11. Se observa que la amplitud de las oscilaciones permanecen constantes a lo largo del tiempo.

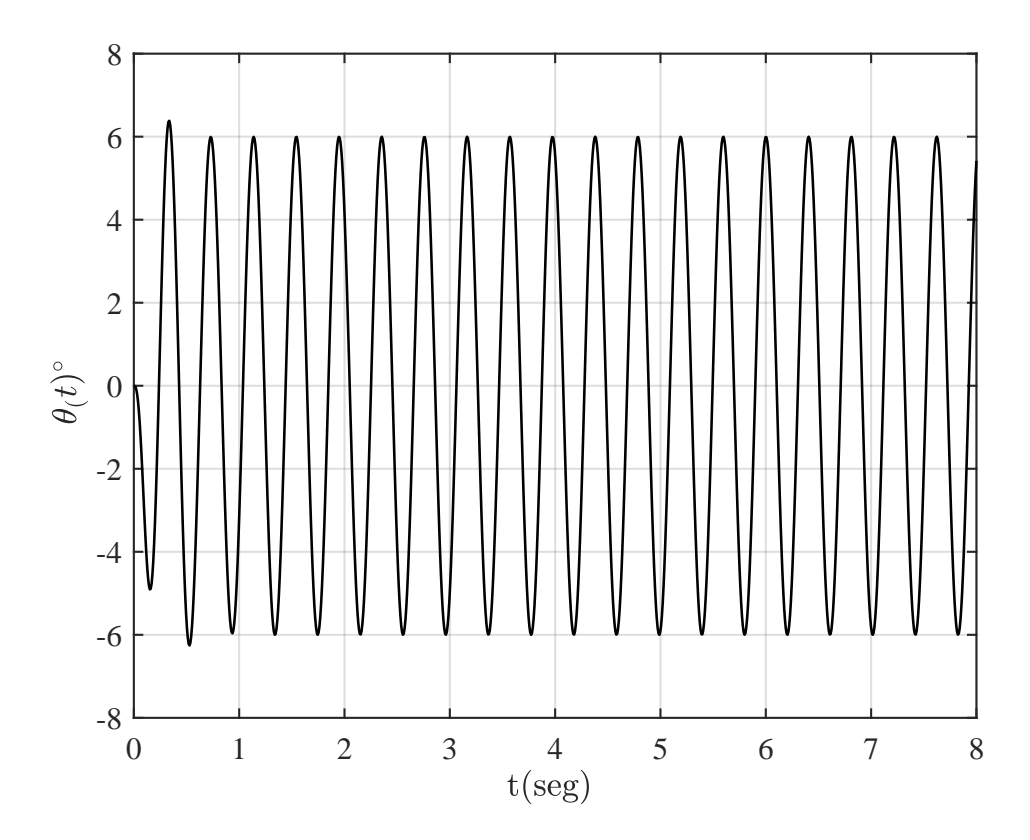


Fig. 4.11. Respuesta del sistema linealizado con absorbedor, para una masa de 180 gr

#### Solución del Sistema no Lineal 4.2.3.

De las ecuaciones 4.31 y 4.32 se formulan las matrices A y f. Las nuevas variables están definidas en las ecuaciones 4.51 y 4.52, la ecuación diferencial reducida de primer orden es:

$$\begin{bmatrix}
J + m(a^{2} + l^{2} + 2al\cos\phi) & ml(l + a\cos\phi) \\
ml(l + a\cos\phi) & ml^{2}
\end{bmatrix} \begin{bmatrix} \ddot{\theta} \\ \ddot{\phi} \end{bmatrix} = \\
\begin{bmatrix}
T_{0}f(t) - c_{p}\dot{\theta} + 2mal(\dot{\theta} + \Omega)\dot{\phi}\sin\phi + mal\dot{\phi}^{2}\sin\phi - k_{\theta}\theta \\
-c_{p}\dot{\phi} - mal(\Omega + \dot{\theta})^{2}\sin\phi
\end{bmatrix} (4.62)$$

$$\mathbf{A}\dot{\mathbf{y}}(t) = \mathbf{f}$$

$$\begin{bmatrix} 1 & 0 & 0 & 0 & 0 \\ 0 & J + m(a^{2} + l^{2} + 2al\cos y(3)) & 0 & ml(l + a\cos y(3)) \\ 0 & 0 & 1 & 0 \\ 0 & ml(l + a\cos y(3)) & 0 & ml^{2} \end{bmatrix} \begin{bmatrix} \dot{\theta}(t) \\ \ddot{\theta}(t) \\ \dot{\phi}(t) \\ \ddot{\phi}(t) \end{bmatrix} = \begin{bmatrix} y(2) \\ T_{0}f(t) - c_{p}y\dot{(2)} + 2mal(y(2) + \Omega)y(4)\sin y(3) + maly(4)^{2}\sin y(3) - k_{\theta}y(1) \\ y(4) \\ -c_{p}y(4) - mal(\Omega + y(2))^{2}\sin y(3) \end{bmatrix}$$

$$\begin{bmatrix} y(2) \\ T_0 f(t) - c_p y(2) + 2mal(y(2) + \Omega)y(4)\sin y(3) + maly(4)^2 \sin y(3) - k_\theta y(1) \\ y(4) \\ -c_p y(4) - mal(\Omega + y(2))^2 \sin y(3) \end{bmatrix}$$
(4.64)

La Fig. 4.12 muestra la respuesta en el tiempo del sistema no linealizado con un absorbedor de 180 gr. El eje vertical  $\theta(t)^{\circ}$  muestra la deformación angular del sistema en función del tiempo. Se observa que la respuesta del sistema es estacionaria a partir de t = 1s en condiciones de resonancia.

La respuesta obtenida a partir de las ecuaciones linealizadas (Fig. 4.11) representa una simplificación del comportamiento del sistema y es útil para análisis teóricos y predicciones iniciales. En contraste, el sistema no linealizado (Fig. 4.12) representa de manera más realista el comportamiento del sistema físico, considerando efectos dinámicos adicionales. Sin embargo, la frecuencia de oscilación en ambas figuras es bastante similar, lo que indica que el modelo linealizado es una buena aproximación del comportamiento real, esto sucede principalmente cuando se trabaja en un régimen a bajas velocidades.

La Fig. 4.13 muestra la relación entre la velocidad angular del motor (Hz) y la amplitud pico de la deformación angular (°) para diferentes configuraciones del sistema, comparando el caso sin absorbedor de vibraciones torsionales con el uso de péndulos de distintas masas (45 gr, 90 gr, 135 gr y 180 gr). El sistema sin absorbedor entra en resonancia a 2.5Hz

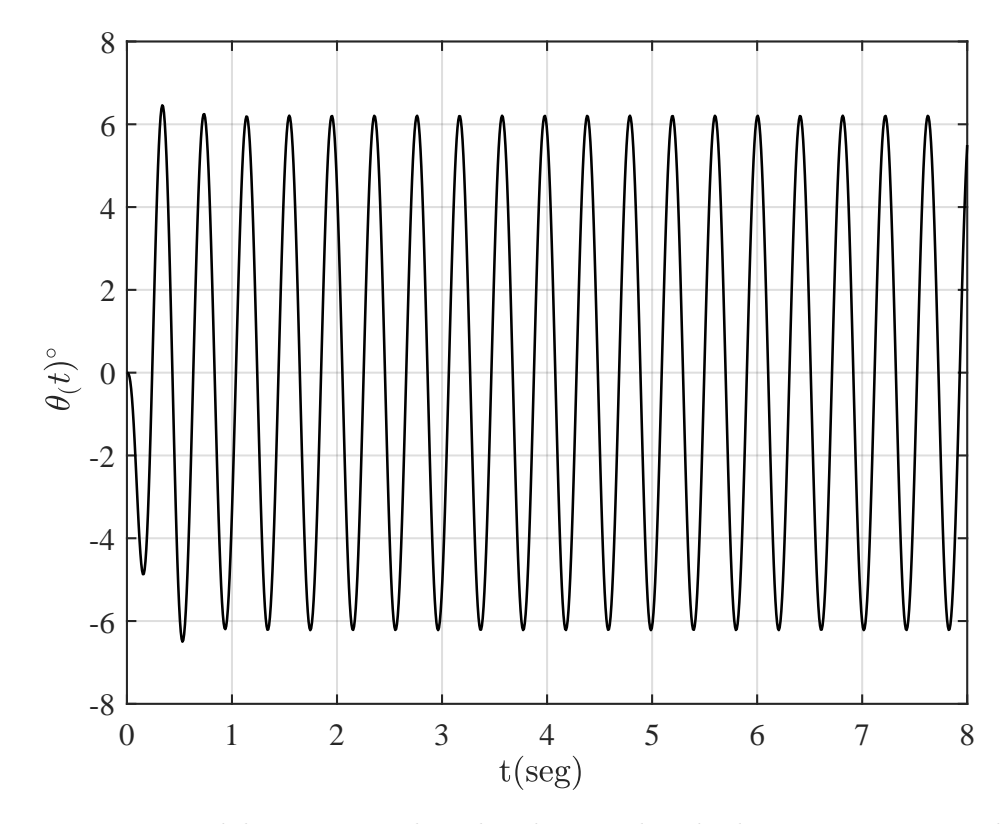


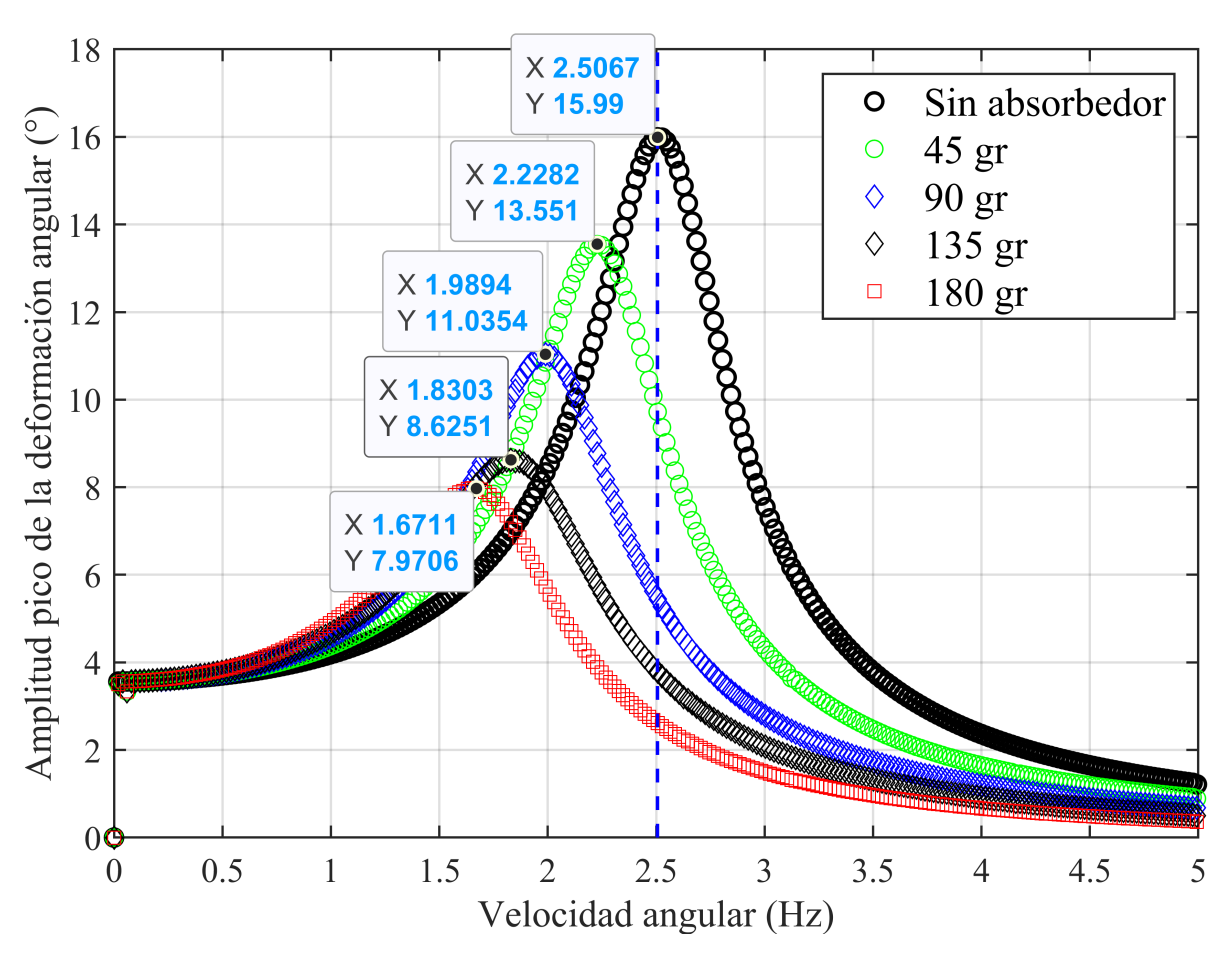
Fig. 4.12. Respuesta del sistema no linealizado con absorbedor, con una masa de 180 gr

con una amplitud pico de 15.99° lo que representará el 100 % de deformación angular. A medida que la masa del absorbedor incrementa, la amplitud máxima de la deformación angular disminuye significativamente. La condición de resonancia se desplaza hacia la izquierda debido al cambio de inercia cuando se incrementa la masa del péndulo.

Masa	Frecuencia de	Frecuencia	Atenuación		
(gr)	$\mathbf{resonancia}\;(\mathrm{Hz})$	${f natural} \ ({ m Hz})$	(%)		
0	2.51	5.02	-		
45	2.23	4.46	15.254%		
90	1.99	3.98	30.986%		
135	1.83	3.66	46.059%		
180	1.67	3.34	50.153%		

**Tabla 4.3.** Variación de las frecuencias naturales y el Porcentaje de atenuación a diferentes masas de péndulo

La Tabla 4.3 muestra la variación de la frecuencia natural del sistema y el porcentaje de atenuación de la vibración torsional en función de la masa del péndulo. Se observa que el porcentaje de reducción de la amplitud de vibración aumenta con la masa del péndulo. Para una masa de 45 g, la atenuación es del 15.25 %, mientras que con 180 g se alcanza una reducción del 50.15 %, mostrando una relación directa entre la masa del péndulo y la eficiencia de atenuación. La frecuencia del sistema de generación de vibraciones torsionales está sintonizada al segundo armónico (2n) del mecanismo de la junta universal.



 ${f Fig.~4.13.}$  Amplitud total vs velocidad angular del motor.

## 5 | Diseño Mecánico del Módulo

## 5.1. Cálculo y selección de Componentes

#### 5.1.1. Selección del Motor

De acuerdo al modelado y al proceso de simulación numérica se requiere un torque máximo de 0.0382 Nm y a una frecuencia de 2.5Hz. La velocidad requerida para la operación del módulo es:

$$\omega = 2\pi f = 2\pi \times 2.5 = 15.71 rad/s \tag{5.1}$$

Por lo tanto la potencia requerida es:

$$P = T \times \omega = 0.0382 \times 15.71 = 0.6W \tag{5.2}$$

Se considera un factor de servicio de 1.5 con una eficiencia del sistema de 0.8.

$$P_{real} = \frac{0.6}{0.8} \times 1.5 = 1.125W \tag{5.3}$$

Se requiere una potencia teórica de 1.125 W sin embargo, se ha optado por utilizar un motor eléctrico de 0.75 HP (560 W) de la marca WEG de la línea W22 de alta eficiencia (IE2) de baja tensión a una velocidad nominal de 1695 rpm con forma constructiva 71. (Ver Fig. A.1). Esta decisión se sustenta en criterios constructivos, funcionales y de compatibilidad mecánica.

#### 5.1.2. Selección del Variador de Frecuencia

Para la selección se considera que la corriente de salida disminuye cuando el variador de frecuencia opera a una altitud mayor a 1000 metros y a una temperatura mayor a 40°C. Para los parámetros de funcionamiento del módulo de la Tabla 5.1 se calcula la corriente admisible de salida.

Criterio funcional	Instalación	Interfaz		
Fuente de alimentación: Red pública				
monofásica a 220V.	Condiciones ambientales:	Interfaz con el		
Datos del motor: Potencia de 0.550	Temperatura $\leq 30$ °C.	usuario: Directo.		
kW con corriente nominal de 2.69A.	Altitud $\leq 4000 \text{ msnm}$ .	usuario. Directo.		
(Ver Anexo A.1)				

Tabla 5.1. Parámetros a considerar para la selección del variador de frecuencia.

El valor del factor de pérdida por altitud menor o igual a 4000 metros se obtiene de la Fig. A.3, la corriente de salida se calcula multiplicando este factor por la corriente indicada en la Fig. A.2. La corriente obtenida debe ser mayor o igual a la corriente que necesita el motor.

$$I_{salida} = 0.8 \times I_{tabla} = 3.12A \tag{5.4}$$

El variador de frecuencia seleccionado es de la marca SIEMENS modelo 6SL3210-5BB17-5UV0 de 1 Hp con corriente de entrada de 10A y de salida 3.9A.

#### 5.1.3. Selección de la Junta Universal

El procedimiento de selección de la junta universal será de acuerdo con el catálogo [50] del fabricante Lovejoy. El módulo trabaja con una potencia pequeña de 0.75 Hp por lo que bastará la elección de la junta de acuerdo a la tamaño del eje del motor.

Del Anexo A.4, se elige la junta universal tipo D-7 con una aplicación menor o igual a 25° y una velocidad angular menor o igual a 1750 rpm.

#### Cálculo del Resorte 5.1.4.

El sistema entrará en resonancia a 2.55 Hz y el momento de inercia del disco es  $J=0.0006 \text{ kg}m^2$ , con estos valores se obtiene la rigidez del resorte de 0.6 Nm/rad. Las propiedades geométricas del resorte se describen a continuación:

El diámetro del alambre es:

$$d = \sqrt[4]{64kD\frac{N_a}{E}} \tag{5.5}$$

$$d = \sqrt[4]{64kD\frac{N_a}{E}}$$

$$d = \sqrt[4]{64 \times 0.7 \times 0.0328 \frac{15}{196.5 \times 10^9}} = 0.0031 \text{ m}$$
(5.5)

El índice del resorte es:

$$C = \frac{D}{d} = \frac{0,0328}{0.0031} = 10,5 \tag{5.7}$$

Símbolo	Descripción	Valor
D	Diámetro medio	32.8 mm
$\overline{}_{l_1}$	Longitud de la fuerza actuante al centro del resorte	0m
$\phantom{aaaaaaaaaaaaaaaaaaaaaaaaaaaaaaaaaaa$	Longitud del brazo	0m
$\beta$	Posición de un extremo respecto al otro	0°
$\overline{N_b}$	Número de vueltas del cuerpo	15
$\overline{N_a}$	Número de vueltas activas	15
$\overline{E}$	Módulo de elasticidad a la tensión	196.5 GPa [49]

Tabla 5.2. Propiedades geométricas del resorte

El valor de C se encuentra dentro del rango  $6 \le C \le 12$  [49].

#### Deflexión y Razón del Resorte

La amplitud del torque dinámico produce la deflexión estática. por lo tanto la deflexión angular total en radianes es:

$$\theta_t = \frac{64T_{max}D}{Ed^4}N_a \tag{5.8}$$

$$\theta_t = \frac{64 \times 0.0382 \times 0.0328}{196.5 \times 10^9 \times 0.0031^4} \times 15 = 0.057 \text{ rad}$$
(5.9)

La razón del resorte en par de torsión por vuelta es:

$$k' = \frac{d^4E}{10,8DN_a} \tag{5.10}$$

$$k' = \frac{0,0031^4 \times 196,5 \times 10^9}{10.8 \times 0.0328 \times 15} = 112,166 \text{ Nm/vueltas}$$
 (5.11)

Deflexión angular total por vuelta:

$$\theta_t' = \frac{10.8T_{max}D}{Ed^4}N_a \tag{5.12}$$

$$\theta'_t = \frac{10.8 \times 0.0382 \times 0.0328}{196.5 \times 10^9 \times 0.0031^4} \times 15 = 0.01 \text{ vueltas}$$
(5.13)

La deflexión es de 3.5° en ausencia de resonancia.

#### Resistencia Estática

La resistencia última a tensión:

$$S_{ut} = \frac{A}{d^m} \tag{5.14}$$

Material	ASTM	Exponente	Diámetro	A
Materiai	núm.	m	mm	$MPa.mm^m$
Alambre de piano	A228	0.145	0.1-6.5	2211

**Tabla 5.3.** Constantes A y m de  $S_{ut}$  para estimar la resistencia de tensión mínima de alambres para fabricar resortes comunes. Adaptado de [49]

$$S_{ut} = \frac{2211MPa.mm^m}{3.1^{0.145}} = 1,88 \,\text{GPa}$$
 (5.15)

Para alambre de piano y aceros al carbono estirados en frío, el esfuerzo de fluencia es:

$$S_{y} = 0.78S_{ut} (5.16)$$

$$S_y = 0.78 \times 1.88 = 1.47 \,\text{GPa}$$
 (5.17)

### Resistencia a la Fatiga

De la sección 4.1.2 se obtuvo que la carga es sinosoidal invertida, por lo tanto, la componente media es 0 y  $M_a = M_{\text{máx}} = |M_{\text{mín}}| = 0,0382 \text{ Nm}$ . El diseño se realizará con la componente de la amplitud  $M_a$ .

$$\sigma_a = K_i \frac{32M_a}{d^3\pi} \tag{5.18}$$

$$\sigma_a = 1,0952 \frac{32 \times 0,0382}{0.0031^3 \pi} = 14,30 \,\text{MPa}$$
 (5.19)

Para determinar el límite de resistencia a la fatiga se emplea la Tabla 5.4.

Vida a la fatiga, ciclos.	Acero inc ASTM A228		ASTM A230 y A232		
cicios.	Sin martillar	Martillado	Sin martillar	Martillado	
$-10^{5}$	53	62	55	64	
$10^{6}$	50	60	53	62	

**Tabla 5.4.** Esfuerzos flexionantes máximos recomendados para resortes helicoidales a torsión en aplicaciones cíclicas como porcentaje de  $S_{ut}$ . Adaptado de [49]

$$S_r = 0.53 S_{ut} = 0.466 \,\text{GPa} \tag{5.20}$$

$$S_e = \frac{S_r/2}{1 - \left(\frac{S_r/2}{S_{vt}}\right)^2} = 0.237 \,\text{GPa}$$
 (5.21)

Factor de seguridad de acuerdo al criterio de falla de Goodman modificado y Langer para el criterio de falla de la ASME-elíptica y de Langer es similar debido a  $M_m = 0$ .

$$\eta_f = \frac{1}{\frac{\sigma_a}{S_e}} = 16.6 \tag{5.22}$$

Este factor de seguridad a la fatiga indica que el elemento de máquina no va a fallar.

El resorte a torsión a fabricar es de alambre de piano, el diámetro del hilo es de 3.1 mm, con 15 vueltas activas y un diámetro medio de 32.8 mm.

#### 5.1.5. Cálculo del eje

Para el diseño del eje principal en condición de carga de torsión de ciclo invertido y flexión constante, la componente media es 0, la componente de amplitud es  $T_a = T_{\text{máx}} = |T_{\text{mín}}| = 0,0382 \text{ Nm}$  y el momento flexionante producido por el peso es de 0.5 Nm considerando el eje principal como simplemente apoyada el momento flexionante máximo es  $M_{\text{máx}} = \frac{PL}{4}$ , ver Fig. 5.1. El esfuerzo límite de fluencia es  $S_y = 370 \text{ MPa}$  y la resistencia última a la tensión es  $S_{ut} = 650 \text{ MPa}$  para un AISI 1045 (Ver Fig. A.6). El esfuerzo límite a la fatiga es:

$$S_e = 0.5S_{ut} = 0.5 \times 650 \times 10^6 = 325 \,\text{MPa}$$
 (5.23)

Los factores de concentración del esfuerzo por fatiga de la flexión y la torsión son  $K_f=1.469$  y  $K_{fs}=1.192$ . El diámetro del eje con un factor de seguridad de 4.

$$d = \sqrt[3]{\frac{16n}{\pi} \left[ \frac{1}{S_e} [3(K_{fs}T_a)^2]^{1/2} + \frac{1}{S_y} [4(K_f M_m)^2]^{1/2} \right]}$$
 (5.24)

$$d = 0.0042 \text{ m} \tag{5.25}$$

Por la estandarización de los diámetros de los rodamientos el diámetro es de 5 mm, sin embargo por motivos de disposición geométrica y manufactura el diámetro a considerar será de 12 mm.

#### 5.1.6. Cálculo de la Chaveta

La longitud máxima de la chaveta es 1.5 veces el diámetro del eje L=0.018m.

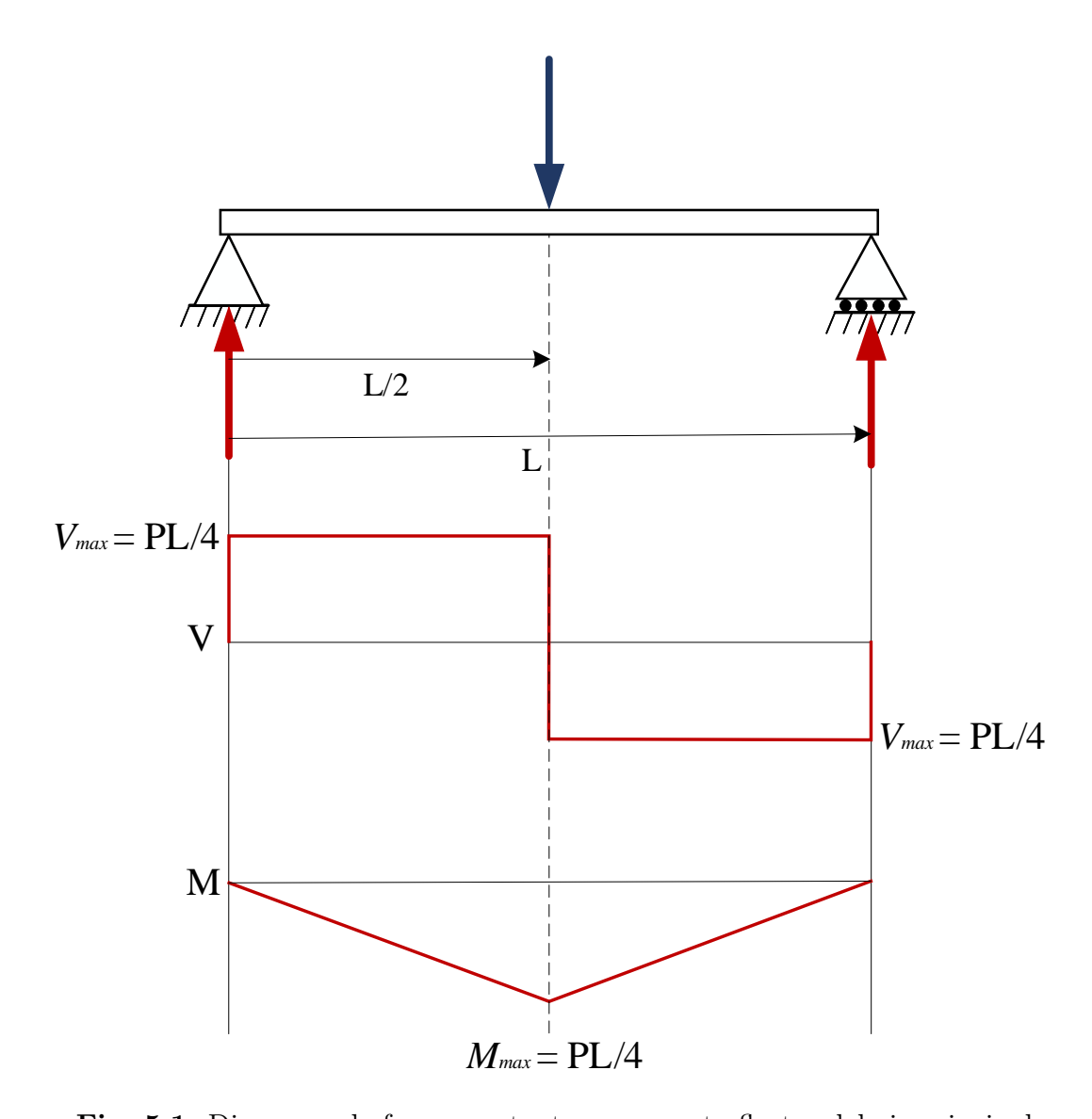


Fig. 5.1. Diagrama de fuerza cortante y momento flector del eje principal

Diámetro del eje (mm)	Ancho x alto de la cuña (mm)
8 <d≤10< td=""><td>3x3</td></d≤10<>	3x3
10 <d≤12< td=""><td>4x4</td></d≤12<>	4x4
12 <d≤17< td=""><td>5x5</td></d≤17<>	5x5
17 <d≤22< td=""><td>6x6</td></d≤22<>	6x6

Tabla 5.5. Cuñas estándar en medidas métricas para ejes. Adaptado de [49]

#### 5.1.7. Selección de Rodamiento

Los rodamientos estarán sometidos puramente a cargas radiales ocasionadas por el peso del volante de inercia y péndulos, serán adecuados los rodamientos rígido de bolas. La carga equivalente dinámica es:

$$P = F_r = 1 \times 9,806 = 9,81 \text{ N}$$
 (5.26)

La carga dinámica equivalente será igual a la carga radial debido a la ausencia de las cargas axiales. De acuerdo a los valores orientativos de la Tabla D.1 se puede obtener la vida deseada  $L_h = 8000$  horas y a una velocidad deseada de 1000 rpm. La capacidad de carga dinámica básica equivalente es:

$$C = P\left(\frac{60 \, rpm \, L_h}{10^6}\right)^{\frac{1}{p}} \tag{5.27}$$

Para rodamientos de bolas el exponente de vida p es 3.

$$C = 9.81 \left( \frac{60 \times 1000 \times 8000}{10^6} \right)^{\frac{1}{3}} = 384,049 \text{ N}$$
 (5.28)

El valor calculado de C no es significativo para cargas dinámicas básicas de los rodamientos, bastará con seleccionar los rodamientos según el diámetro del eje. (Ver Anexo A.7)

#### 5.1.8. Uniones Atornilladas

Los soportes y la base secundaria se fijarán a la base principal por uniones atornilladas, con el propósito de permitir desplazamientos en estos, lo que facilitará la variación del número de vueltas del resorte y el ángulo  $\beta$ . El cálculo de las uniones

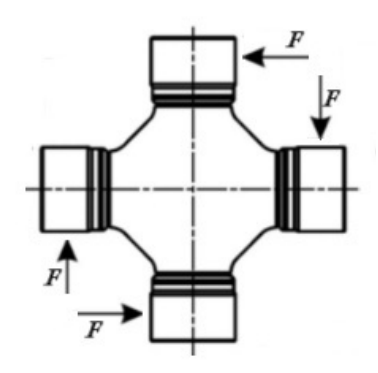


Fig. 5.2. Cruceta de conexión

atornilladas se desarrollara en el soporte doble por estar más próximo a la junta universal. Para determinar la carga de tracción ocasionada por el momento flector de la junta universal, se analizan las fuerzas que actúan sobre la cruceta de conexión (Ver Fig. 5.2). Los componentes de la fuerza F que actúan sobre el eje de entrada son  $F\cos 25$  y  $F\sin 25$ . El torque que genera el motor a una frecuencia de 2.5Hz (15.71 rad/s) con una potencia de 0.75hp (559.23 W) es de 35.6 Nm. Por lo tanto F es:

$$35,6Nm = (F\cos 25)(19,05x10^{-3}) \tag{5.29}$$

$$F = 1007,2N (5.30)$$

El momento flector y la carga de tracción del momento flector son:

$$M = 1007,2 \times 5,62 \times 10^{-3} \tag{5.31}$$

$$M = 5,66Nm \tag{5.32}$$

$$F_{t1} = \frac{M \times C_i}{\sum C_i^2} \tag{5.33}$$

$$F_{t1} = \frac{5.66 \times 55 \times 10^{-3}}{2(15^2 + 55^2) \times 10^{-3}}$$
 (5.34)

$$F_{t1} = 0.048N (5.35)$$

Las cargas de tracción directa son generadas por el peso del eje secundario (1.89N) y del soporte doble (25.6N).

$$F_{t2} = \left(\frac{1,89 + 25,6}{4}\right) = 6,87N\tag{5.36}$$

La carga de tracción resultante:

$$F_t = 0.048 + 6.87 = 6.92N (5.37)$$

La fuerza de tracción en el perno es:  $F_e = F_t$ , calculamos el área de esfuerzo  $(A_s)$ 

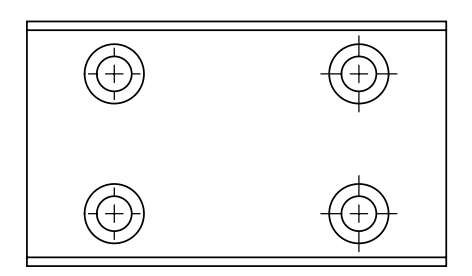


Fig. 5.3. Uniones atornilladas del soporte doble

requerido:

$$A_s = \left(\frac{152.4 \times F_e}{S_y}\right)^{2/3} \tag{5.38}$$

$$A_s = \left(\frac{152,4 \times 6,92}{420}\right)^{2/3} = 1,85mm^2 \tag{5.39}$$

Se obtuvo una área mínima requerida de  $1.85\ mm^2$  que corresponde a un diámetro de perno menor a un M2. Sin embargo, durante la fabricación se optó por el uso de pernos tipo socket M10. [51] Esta selección facilita el desensamble y mantenimiento del módulo, además estos pernos permiten un par de apriete más alto, reduciendo el riesgo de aflojamiento durante el funcionamiento.

#### 5.1.9. Cálculo de Soldadura

La unión entre la base principal y los cuatro soportes del módulo representan las zona más critica y es en allí donde se analizaran las cargas actuantes sobre el cordón de soldadura. Ubicamos el centro de gravedad del módulo.

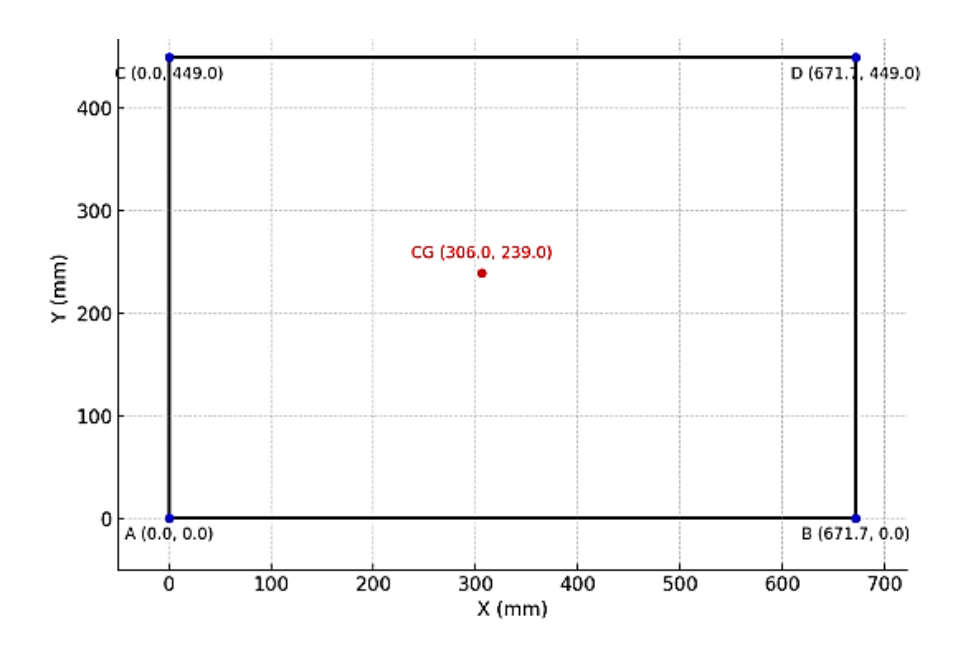


Fig. 5.4. Ubicación de los soportes y el centro de gravedad

Determinamos las cargas en los cuatro soportes.

$$\sum F = R_A + R_B + R_C + R_D = W = 502,27N \tag{5.40}$$

$$\sum M_x = R_A \times 0 + R_B \times 0 + R_C \times 449 + R_D \times 449 = 502,27 \times 239$$
 (5.41)

$$R_C + R_D = 267,3N (5.42)$$

$$\sum M_y = R_A \times 0 + R_B \times 671,7 + R_C \times 0 + R_D \times 671,7 = 502,27 \times 306$$
 (5.43)

$$R_B + R_D = 228,8N (5.44)$$

Del sistema de ecuaciones tenemos:

$$R_A = 106,17N (5.45)$$

$$R_B = 128,8N (5.46)$$

$$R_C = 167,3N (5.47)$$

$$R_D = 100N$$
 (5.48)

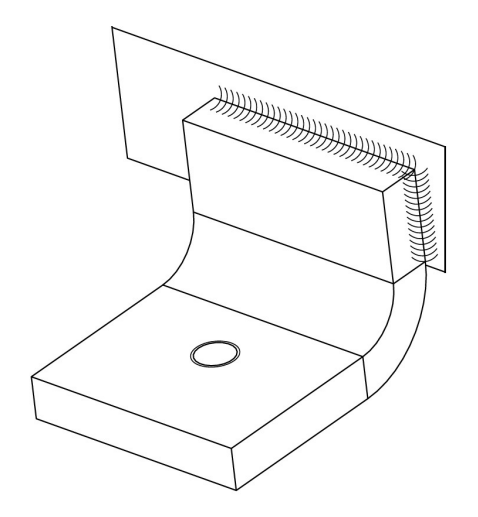


Fig. 5.5. Soporte de la base principal

El punto más critico es  $R_C$ , el tipo de carga es de corte directa  $f_{w1}$ . Determinamos el tamaño de cordón de soldadura para un electrodo E-6010.

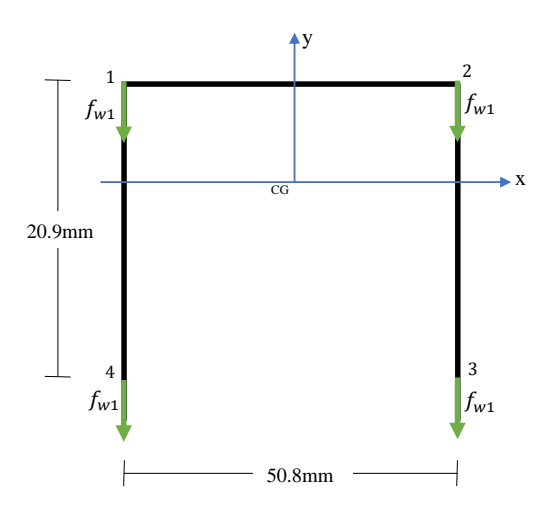


Fig. 5.6. Distribución de cargas

Centro de gravedad del cordón de soldadura:

$$N_x = \frac{20.9^2}{2(20.9) + 50.8} = 4.717mm \tag{5.49}$$

Determinamos las cargas para el punto 3 porque es el más crítico al encontrarse a mayor distancia del centro de gravedad.

$$f_{w1} = \frac{167.3}{50.8 + 20.9 + 20.9} = 1.807N/m \tag{5.50}$$

Cálculo del tamaño del cordón para E-6010, y  $S_w$  es 12700 PSI = 87.701  $N/mm^2$ .

$$w = \frac{f_{w1}}{S_w} = \frac{1,807N/mm}{87,701N/mm^2} = 0,021mm$$
 (5.51)

Aunque el cálculo teórico de resistencia indica que el tamaño mínimo del cordón necesario para soportar las cargas actuantes es de 0.021 mm, se ha optado por emplear un cordón de 6 mm. Principalmente porque en la práctica no es posible realizar un cordón de menos de 1mm, de acuerdo a la normativa AWSD1.1 y estándares de diseño estructural existen valores mínimos admisibles que dependen del espesor de las piezas y del tipo de unión. El módulo ha sido sobredimensionado por lo que su capacidad portante excede ampliamente las cargas aplicadas, priorizando su durabilidad, rigidez y facilidad de fabricación.

#### 5.1.10. Selección de Anillos de Retención

El péndulo se limita a moverse en la dirección axial al eje en el que articula, por lo que la selección del anillo de retención sugiere que debe soportar las fuerzas axiales o limitar los desplazamientos del péndulo. De la tabla D.2 de acuerdo con la norma DIN 471 se aprecia diferentes geometrías, y además se expone las fuerzas máximas que puede soportar el componente, para más información sobre las capacidades de carga de los anillos de retención y las ranuras revisar [52].

Es importante tener en consideración que los ejes del péndulo agregan inercia al volante, modificando la frecuencia natural del sistema, por lo tanto se debe procurar que sus dimensiones sean reducidas y también sea fácil de manufacturar. Por consiguiente, para lograr una mínima modificación en la frecuencia natural del sistema, se elige un diámetro de eje de 5 mm que pueda ser torneado con las tolerancias indicadas en los planos. Finalmente, para apreciar el montaje del anillo de retención, ver Fig. 5.7 y D.6.

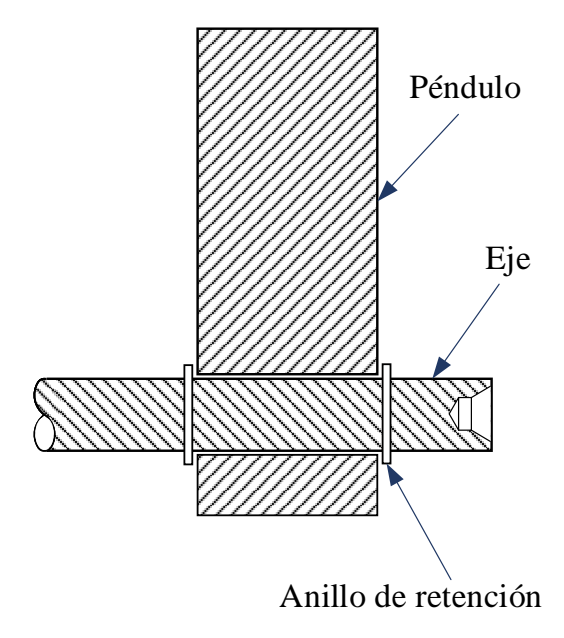


Fig. 5.7. Gráfica de la restricción de desplazamiento axial del péndulo mediante anillos de retención

#### 5.1.11. Análisis de Esfuerzos en los Prisioneros de Sujeción

Por las limitaciones de talleres especializadas en manufacturar canales chaveteros en ejes de diámetro reducido; se opta por la transmisión de potencia del eje del motor hacia la junta universal con prisioneros de sujeción, la configuración es posible porque las cargas no son significativas tal como lo expone [53]. De igual forma, para verificar el esfuerzo a los que están sometidos los prisioneros se realiza el análisis para la selección adecuada de sus diámetros.

En la sección 5.1.1, se expuso que la potencia necesaria para dar inicio al movimiento del sistema en una condición donde se requiera dar arranque a una velocidad de 600 rpm se necesita 3.93 W; en ese intervalo de tiempo se produce el mayor torque con un valor calculado de 0.062 Nm. El esfuerzo cortante producido en la zona de interés (ver Fig. 5.8). Se obtiene la siguiente expresión.

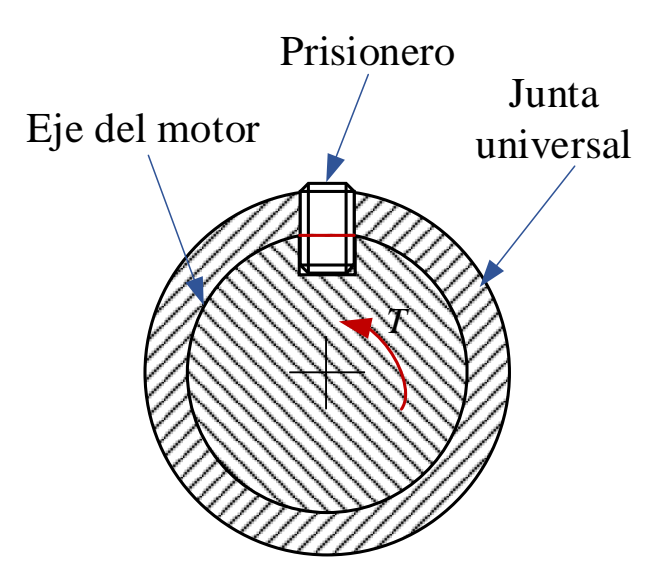


Fig. 5.8. Diagrama de esfuerzo cortante puro

$$\tau = \frac{T}{A_{\bullet}r} \tag{5.52}$$

De acuerdo con la ficha técnica del motor seleccionado, el canal chavetero del eje es de 5 mm de ancho y teniendo en cuenta su disposición geométrica, el prisionero de sujeción será un M5 con serie de paso grueso. El área del esfuerzo del prisionero seleccionado se obtiene de acuerdo con la normativa ASME B1.1 y es posible calcularlo con la siguiente expresión.

$$A_s = 0.7854 \left[ D - \frac{0.9743}{1/P} \right]^2 \tag{5.53}$$

Donde; D: diámetro mayor nominal y P: paso.

De la ecuación 5.53 se calcula el área del esfuerzo del prisionero para un M5.

$$A_s = 0.7854 \left[ 5 - \frac{0.9743}{1/0.8} \right]^2 = 13.99 \text{ mm}^2$$
 (5.54)

Calculando el esfuerzo cortante para un radio del eje del motor de r=7.5 mm.

$$\tau = \frac{0,062}{13.99 \times 7.5} = 0,59 \text{ Mpa} \tag{5.55}$$

El punto de análisis está sometido exclusivamente a un esfuerzo cortante puro, y el esfuerzo equivalente de Von Mises puede determinarse mediante la expresión  $\sqrt{3}\tau$ , y calcular el factor de seguridad. Sin embargo, en un primer análisis, el prisionero no fallará por carga estática, porque el valor de esfuerzo calculado es bajo.

Para la transmisión de potencia, se emplearán 2 prisioneros M5 de serie gruesa en cada yugo de la junta universal, con el fin de mejorar la estabilidad radial.

#### 5.1.12. Limitación de Movimiento del Péndulo

De acuerdo con los estudios realizados por [9], si la expresión  $g/(a\Omega^2)$  supera el valor de 0.015, es necesario limitar el movimiento de péndulo.

$$g/(a\Omega^2) < 0.015 \tag{5.56}$$

Para el cálculo, se abarca un rango de velocidades de giro (2-2.55) Hz, debido a la variación de la resonancia causada por el cambio del momento de inercia por la implementación de los péndulos. A continuación, se sustituyen estos valores en la ecuación 5.56.

$$0.833 < 0.015 \tag{5.57}$$

La expresión anterior demuestra que, en el rango de velocidades en el que el sistema entra en condición de resonancia, las fuerzas gravitatorias son superiores a las fuerzas centrífugas. Y además, de acuerdo con la referencia [1], se recomienda que el ángulo del péndulo  $\phi$  se mantenga por debajo de 30° para preservar su función atenuante.

Con las consideraciones antes expuestas, el movimiento del péndulo se restringe a un ángulo inferior a 30° mediante la implementación de barras pequeñas, recubiertas con carcasas de caucho para minimizar el ruido generado por el impacto entre el péndulo y la barra (ver Fig. 5.9). Además, la energía transferida desde el péndulo hacia las barras no debe ser amortiguada, ya que esto reduciría la eficiencia en la atenuación de las vibraciones.

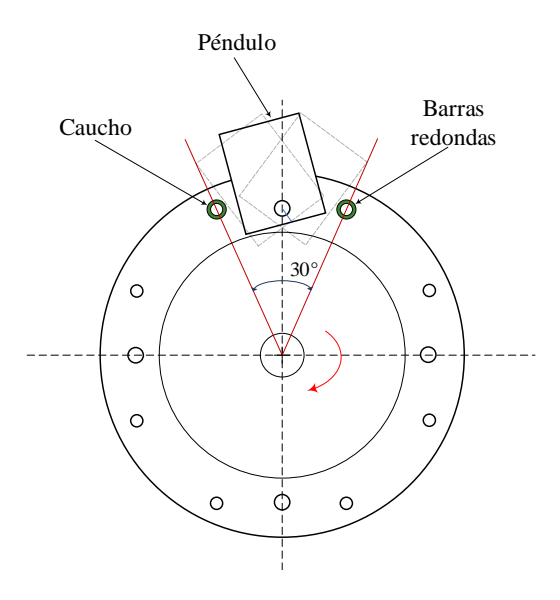


Fig. 5.9. Gráfica de la restricción del movimiento angular del péndulo

$$N = \frac{S_{ys}}{\tau_{max}} \tag{5.58}$$

## 5.2. Análisis Modal del Módulo

El análisis modal se realizó en el software Ansys 19.2. Para este estudio, se harán algunas simplificaciones: el motor y el volante de inercia serán modelados como cuerpos rígidos que únicamente aportan masa (ver Fig. 5.10), y se eliminan las superficies que no contribuyen en el análisis y disminuyen la calidad del enmallado.

En la discretización se emplea una combinación de elementos 2D y 3D [54]. Con el propósito de reducir la cantidad de elementos y disminuir los grados de libertad, se utilizaron elementos de lámina para aquellas geometrías cuyo espesor es al menos 30 veces menor que una de sus dimensiones principales (largo o ancho), según lo indicado

en [54]. En la Fig. 5.10, se observa que la base principal, la base secundaria, el bastidor del motor y los cuatro soportes en los extremos de la base principal fueron modelados como superficies (2D), lo que permite reducir significativamente el tiempo de simulación. Por otro lado, el resto de los componentes fue representado con elementos tridimensionales (3D), donde el largo, el ancho y el espesor tienen magnitudes comparables.

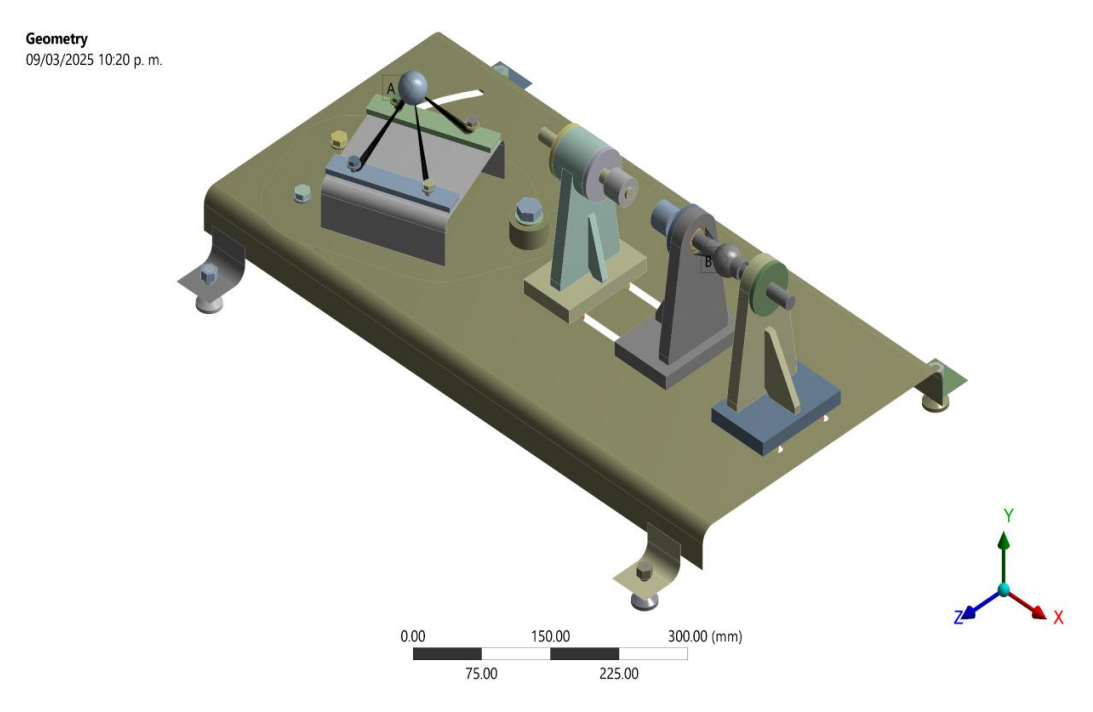


Fig. 5.10. Modelo simplificado del módulo para el análisis modal

Para el enmallado de la geometría se aplicaron elementos de tipo tetraedro, hexaedro y cuadrados (Ver Fig. 5.11). Esta combinación de elementos permite optimizar la precisión del análisis y el rendimiento computacional, adaptándose a la complejidad de la geometría en diferentes regiones del modelo. [49] menciona que en los cuerpos sólidos sin demasiada transición en su geometría, el elemento adecuado para realizar su discretización es del tipo hexaédrico; y en sólidos con cambios abruptos en la geometría, el que se adecúa mejor es del tipo tetraédrico.

La calidad del enmallado influye en la precisión de los resultados. Una de las formas más comunes de evaluar esta calidad es a través de la relación de aspecto de los elementos. Según [55], esta relación se define como la razón entre la longitud mayor y la menor de un elemento bidimensional. Valores elevados de relación de aspecto pueden generar inexactitudes en la representación de los elementos y afectar negativamente la convergencia de las soluciones [56]. De manera similar, en elementos tridimensionales, la verificación de la relación de aspecto se realiza considerando todas sus caras [54]. Además, herramientas como Ansys permiten evaluar la calidad a través de métricas de enmallado. En este análisis, se empleará la relación de aspecto como criterio de calidad

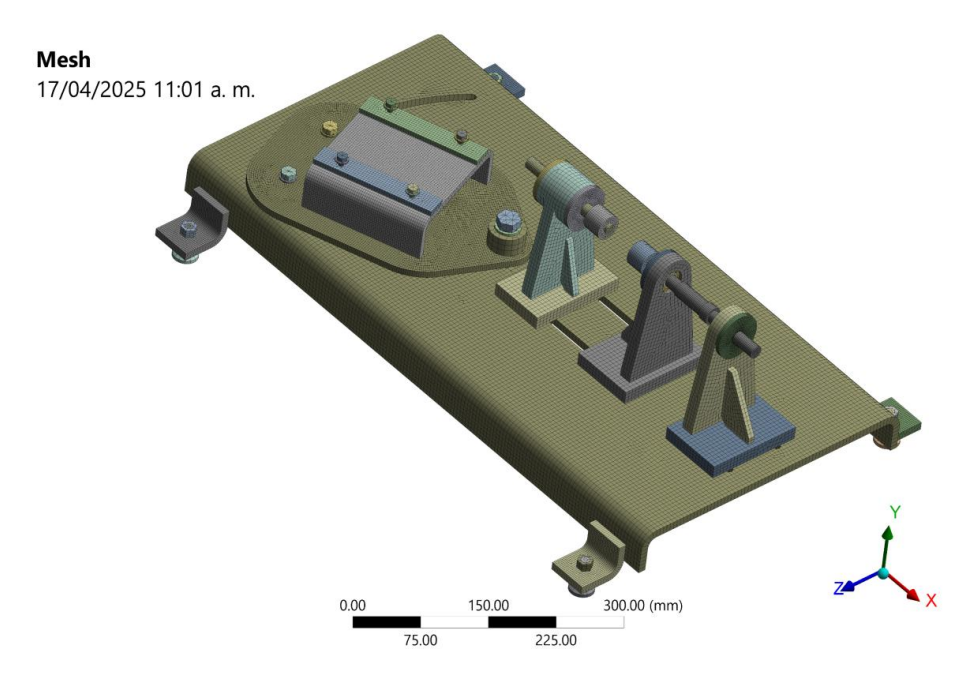


Fig. 5.11. Enmallado del modelo

(ver Fig. 5.12). De acuerdo con las recomendaciones de [54], una relación de aspecto menor a 5 garantiza que los resultados sean los adecuados.

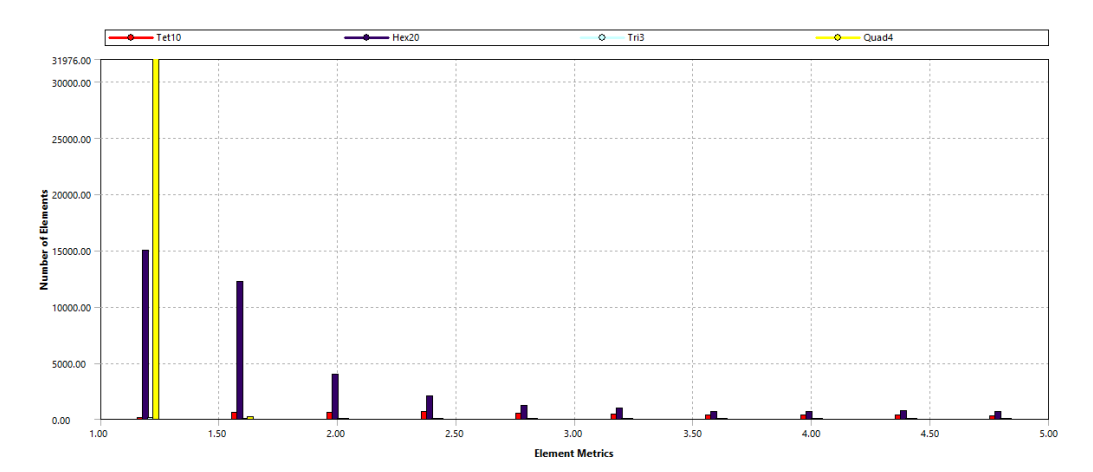


Fig. 5.12. Relación de aspecto

La Fig. 5.12 muestra un histograma de la relación de aspecto de los elementos de malla, lo que permite evaluar su calidad. En el eje de las abscisas se representa la métrica de relación de aspecto, mientras que en el eje de las ordenadas se indica el número de elementos que presentan dicha métrica. Se observa que la mayoría de los elementos tienen una relación de aspecto cercana a 1.0, lo que indica una malla de calidad aceptable. Esto es especialmente evidente en los elementos cuadriláteros (representados de color amarillo), que conforman el mayor porcentaje de la malla. Los elementos hexaédricos (de color morado) muestran una distribución con relaciones de aspecto mayores a 1.0, pero aún dentro de un rango aceptable. Su presencia en valores cercanos a 1.5 y 2.0 sugiere que

la malla mantiene una buena calidad sin desviaciones significativas en sus dimensiones del elemento. Finalmente, la ausencia de valores superiores a 5.0 confirma que la malla cumple con los criterios recomendados por [54], garantizando resultados precisos y que las frecuencias naturales obtenidas en el análisis modal son confiables.

La elección de las condiciones de borde debe representar el sistema físico con la mayor precisión posible, evitando desviaciones de la realidad. Para determinar las frecuencias naturales del sistema, las condiciones de borde empleadas son del tipo "Frictionless Support", la cual permite desplazamientos tangenciales a la superficie de apoyo del módulo (niveladores al lado opuesto de la posición del motor), pero restringe el desplazamiento normal. Su elección se debe a que, bajo una fuerza externa, generar desplazamientos tangenciales es más sencillo que la normal por el propio peso del módulo. La otra condición de borde es del tipo "Rígido", la cual restringe completamente todos los grados de libertad en los nodos donde se aplica (niveladores a la altura del motor). Esta condición simula una unión idealmente fija, sin posibilidad de desplazamiento ni rotación, representando zonas del sistema donde existe una conexión sólida y sin deformaciones apreciables.

Modo	Frecuencia (Hz)	Dx (%)	Dy (%)	Dz (%)	Rotx (%)	Roty (%)	Rotz (%)
1	63.6	0.023	3.55	83.68	50.05	6.09	0.93
2	78.1	19.92	71.01	2.53	0.17	0.63	3.49
3	97.0	36.27	7.85	1.20	0.59	40.68	6.65
4	127.0	0.036	0.29	1.29	2.84	1.60	58.70
5	133.0	70.69	17.43	3.12	2.99	5.32	6.40
6	176.5	93.31	0.001	0.06	1.43	0.03	83.33

**Tabla 5.6.** Porcentaje de participación de masa

En la Tabla 5.6 se muestra la participación de masa para cada frecuencia natural. En el primer modo, predomina el desplazamiento en la dirección Z (83.68%) y la rotación alrededor del eje X (50.05%). Este comportamiento se ve influenciado por la condición de borde aplicada. En el segundo modo, destaca el desplazamiento en la dirección Y (71.01%), con una contribución significativa del desplazamiento en X (19.92%) y una rotación moderada en Z (3.49%). En el tercer modo, se observa un desplazamiento dominante en la dirección X (36.27%) y una rotación en el eje Y (40.68%). En el cuarto modo, la participación más significativa corresponde a la rotación en el eje Z (58.70%). En el quinto modo, domina el desplazamiento en X (70.69%) con influencia secundaria en Y (17.43%), lo cual indica una flexión lateral más pronunciada hacia el eje longitudinal. Finalmente, en el sexto modo, el comportamiento está marcado por un alto desplazamiento en X (93.31%) y una rotación dominante en Z (83.33%), evidenciando una flexión combinada con torsión significativa en la parte superior de la estructura.

La Fig. 5.13 muestra el resultado del análisis modal correspondiente al primer modo de

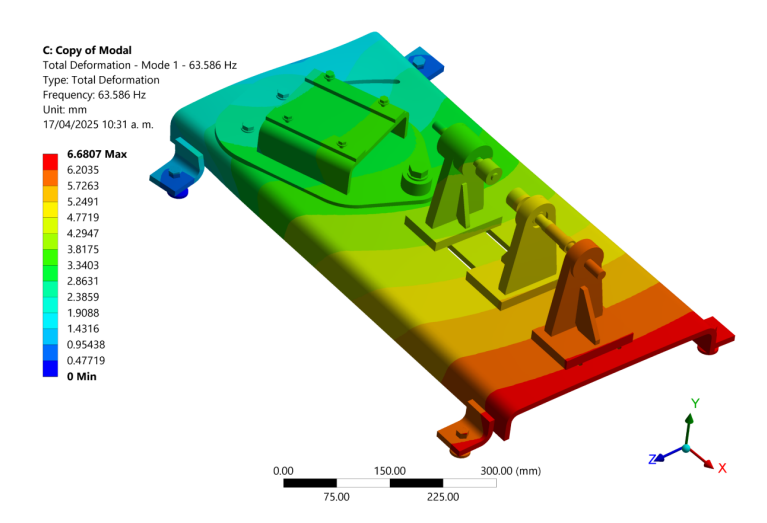


Fig. 5.13. Primer modo - Frecuencia natural de 63.6 Hz

vibración del módulo, con una frecuencia natural de 63.6 Hz. La escala de colores indica la magnitud de la deformación total en milímetros, donde el color rojo representa las zonas de mayor desplazamiento (6.6807 mm máx.), mientras que el azul indica las áreas con menor valor (0 mm mín.). Se observa que las mayores deformaciones se concentran en los extremos de la base, especialmente en las esquinas libres, mientras que las zonas cercanas a los apoyos y al bastidor del motor presentan desplazamientos mucho menores, lo que confirma su mayor rigidez. Este primer modo de vibración está asociado principalmente a un desplazamiento vertical (dirección Z) y a una rotación en el eje X, como se evidenció en la Tabla 5.6.

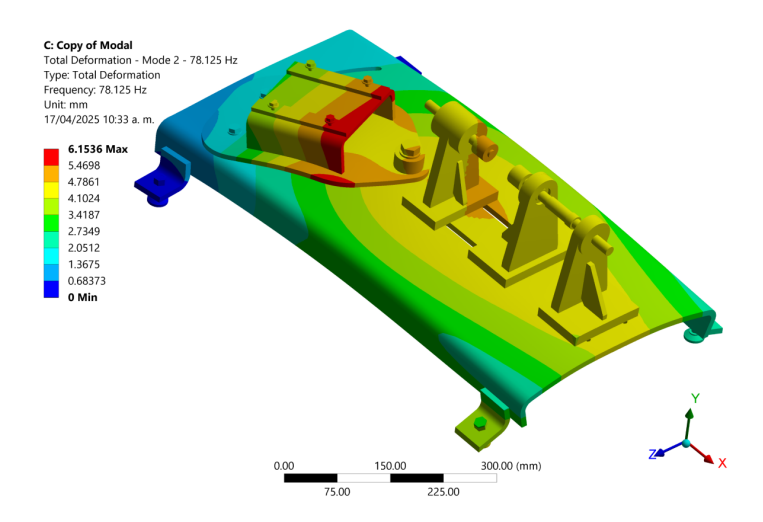


Fig. 5.14. Segundo modo - Frecuencia natural de 78.1 Hz

La Fig. 5.14 muestra el segundo modo de vibración del módulo, con una frecuencia natural de 78.1 Hz. Las zonas de mayor deformación tiene un valor de 6.1536 mm máx, mientras que el valor mínimo es de 0mm. En este modo, se aprecia un desplazamiento predominante en la dirección Y (Tabla 5.6), con una participación de masa en esa dirección es de 71.01%. Además, se evidencia una contribución de rotación en Z del 3.49%. Las mayores

deformaciones se concentran en la parte posterior de la base, específicamente en el área del bastidor del motor, mientras que las zonas cercanas a los apoyos mantienen una respuesta más rígida.

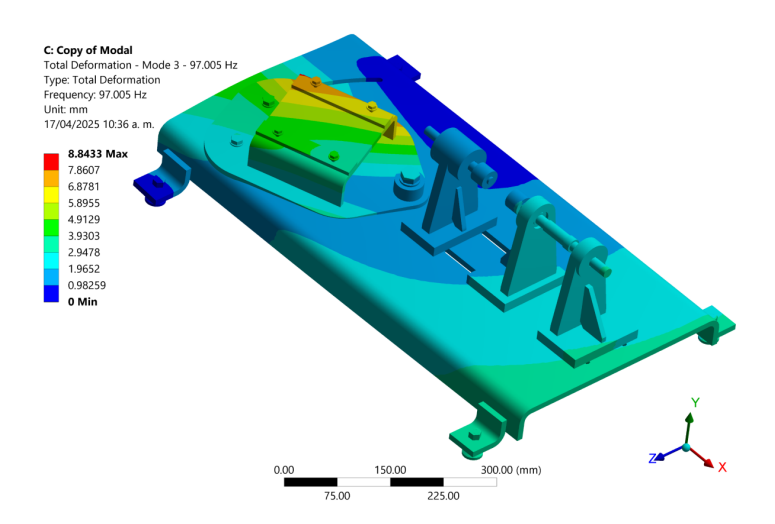


Fig. 5.15. Tercer modo - Frecuencia natural de 97.0 Hz

La Fig. 5.15 representa el tercer modo de vibración del módulo, con una frecuencia natural de 97.0 Hz. El desplazamiento máximo es de 8.8433 mm y el mínimo es 0 mm, como se indica en la escala de colores. En este modo, el desplazamiento en la dirección Y sigue siendo predominante, con una participación de masa del 90.41%, acompañado de una influencia significativa de la rotación en Z (58.67%), de acuerdo con la Tabla 5.6. Las mayores deformaciones se localizan en la parte posterior de la base secundaria, mientras que los soportes y la zona central del módulo presentan una deformación considerablemente menor. Este patrón sugiere un comportamiento vibratorio más complejo, posiblemente asociado a la flexión combinada con torsión.

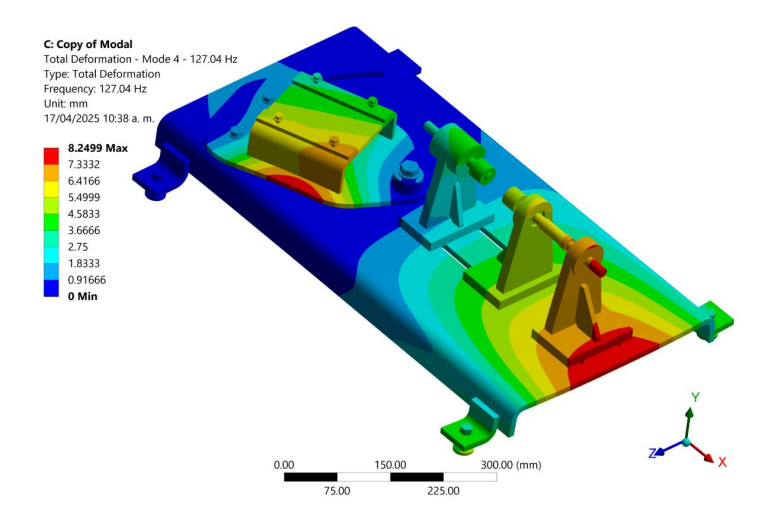


Fig. 5.16. Cuarto modo - Frecuencia natural de 127.0 Hz

La Fig. 5.16 representa el cuarto modo de vibración del módulo, con una frecuencia natural de 127.0 Hz. El desplazamiento máximo es de 8.2499 mm y el mínimo es 0 mm,

como se indica en la escala de colores. En este modo, el comportamiento vibratorio se caracteriza por una deformación significativa en la parte frontal de la base secundaria, especialmente en los extremos de los soportes y zonas adyacentes. Las deformaciones en la parte central y posterior del módulo son menores, lo que sugiere una mayor rigidez estructural en esas regiones.

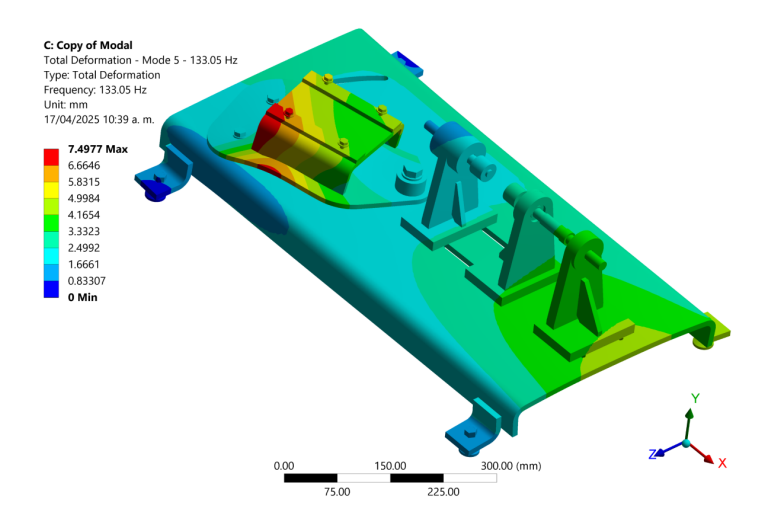


Fig. 5.17. Quinto modo - Frecuencia natural de 133.0 Hz

La Fig. 5.17 representa el quinto modo de vibración del módulo, con una frecuencia natural de 133.0 Hz. El desplazamiento máximo es de 7.4977 mm y el mínimo es 0 mm, de acuerdo con la escala de colores. En este modo, las mayores deformaciones se localizan en la parte superior del bastidor del motor. La zona que contiene los soportes y la base principal presenta una menor deformación, lo que indica una menor participación dinámica en este modo específico.

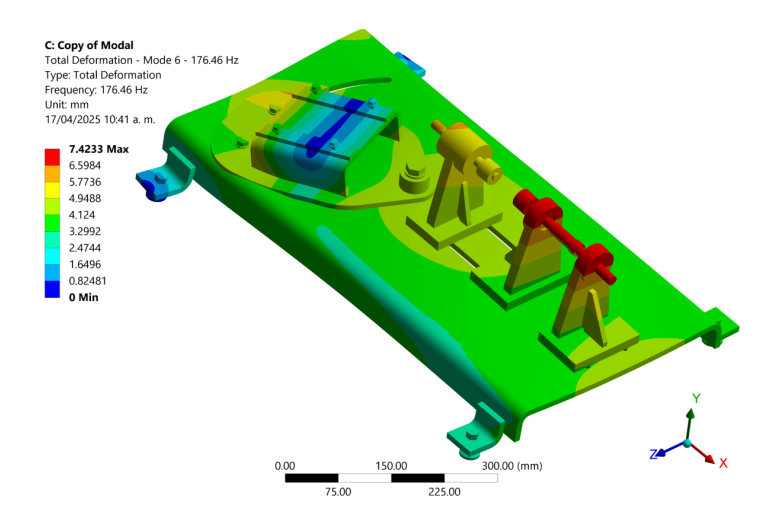


Fig. 5.18. Sexto modo - Frecuencia natural de 176.5 Hz

La Fig. 5.18 representa el sexto modo de vibración del módulo, con una frecuencia natural de 176.5 Hz. El desplazamiento máximo es de 7.4233 mm y el mínimo es 0 mm, como se observa en la escala de colores. En este modo, se presentan deformaciones significativas

en la parte superior de los soportes simples y del soporte doble y en diferentes áreas de la base principal y secundaria. De acuerdo con la Tabla 5.6, este modo presenta una alta participación de masa en la dirección X (93.31 %) y una rotación considerable en el eje Z (83.33 %).

El análisis nos permite evaluar la posible existencia de la condición de resonancia, y en el diseño es importante evitar este fenómeno. Finalmente, las frecuencias naturales determinadas se encuentran alejadas de las posibles frecuencias de excitación, evitando la condición de resonancia, siempre que la base donde se apoya el módulo sea estable y rígida.

# 6 | Construcción y Experimentación

#### 6.1. Proceso de Construcción

La fabricación de los elementos de máquina y el montaje del módulo se realizaron en la Unidad de Enseñanza (Maquicentro) de la Universidad Nacional de San Antonio Abad del Cusco. El taller cuenta con un torno horizontal, taladro de banco, fresadora, máquinas de soldadura eléctrica, tronzadora y herramientas manuales; la fabricación respeta las especificaciones de los planos. Otros procesos como el corte y doblado de plancha se realizaron en talleres especializados.

A continuación, se muestra la fabricación de los componentes y el montaje del módulo experimental, ver Fig. 6.1 a 6.17.



Fig. 6.1. Torneado del volante de inercia

El torneado del volante de inercia es un proceso que requiere precisión (Fig. 6.1), ya que es crucial preservar el valor de la inercia calculada y la frecuencia natural del sistema para garantizar que el módulo entre en resonancia a 2.55 Hz. Además, el parámetro a definido en la Tabla 4.2, está relacionado con la geometría, y su valor debe ser preciso para la atenuación de las vibraciones torsionales con la sintonización del sistema y el péndulo. Asimismo, se propone que el material para el volante de inercia sea de aluminio.

En la sección 4 se realizaron las iteraciones necesarias para determinar los parámetros iniciales del sistema. Como resultado, se obtuvo un momento de inercia de  $0,0006Kgm^2$ . En un escenario hipotético en el que el volante fuera fabricado en acero, el radio de este componente tendría que ser considerablemente reducido para mantener dicho valor de inercia. No obstante, un volante de dimensiones tan pequeñas imposibilitaría el montaje adecuado de los péndulos. Por esta razón, se optó por utilizar aluminio como material del volante, lo que permite conservar el valor del momento de inercia mientras se incrementa el radio, facilitando así la instalación de los péndulos. Con el fin de optimizar la distribución de masa y alcanzar el momento de inercia previamente calculado, se diseñó un volante con un perfil escalonado.



Fig. 6.2. Volante de inercia

Los acoples fueron fabricados según plano, considerando su sujeción mediante dos prisioneros allen M4 en los ejes principal y secundario. Adicionalmente, a 90° se colocó un perno allen M4 para evitar el desplazamiento del resorte.



Fig. 6.3. Acople de resorte

El eje del péndulo fue montado en el volante de inercia con prisioneros, con el objetivo de asegurar su fijación, como se muestra en la Fig. 6.4.



Fig. 6.4. Montaje del eje del péndulo en el volante de inercia



Fig. 6.5. Junta universal con prisioneros de sujeción

Para ensamblar la junta universal se evaluaron distintas alternativas para lograr una transmisión de potencia segura y eficiente. En el apartado 5.1.11, se justifica la elección de prisioneros de sujeción, ya que la fabricación de un canal chavetero en los yugos implica un proceso más complejo y menos práctico. Como se muestra en la Fig. 6.5, cada yugo de la junta universal cuenta con dos prisioneros, lo que proporciona una mayor estabilidad y fiabilidad en el montaje.

La adecuada alineación de los componentes (Fig. 6.6) disminuye el amortiguamiento y evita la disipación de energía en el sistema torsional. En la Fig. 4.13, se aprecia la influencia del amortiguamiento sobre la amplitud de deformación angular del elemento resorte. Finalmente, para corroborar si el alineamiento es el óptimo se realizaron pruebas de impulso y se observó un giro libre en lo posible.

El punto de articulación de la base secundaria y la junta universal deben pertenecer a un mismo eje vertical tal como se muestra en la proyección del nivel láser de la Fig. 6.6.



Fig. 6.6. Prueba de alineamiento de eje de motor y junta universal



Fig. 6.7. Base secundaria

La base secundaria dispone de una manija que facilita su rotación con respecto a la bocina ubicada en la parte izquierda de la Fig. 6.7, el cual funciona como punto de articulación. Esto permite manipular el ángulo de desfase ( $\beta$ ) entre el eje conductor y el eje conducido, ayudando a controlar la fuente de excitación responsable de la vibración torsional. Este ángulo debe mantenerse por debajo de 25° para evitar interferencias entre los yugos y la cruceta de la junta universal. Además, la base secundaria tiene una forma constructiva redondeada en las aristas para evitar cualquier interferencia durante el giro con otros elementos del módulo.

La base principal (ver Fig. 6.8) está diseñada con una ranura curva que permite ampliar el rango de rotación de la base secundaria, lo que facilita la manipulación del ángulo  $\beta$  sin generar interferencias. Además, incorpora ranuras lineales que permiten el ajuste del posicionamiento de los soportes simples y del soporte doble. Para ello, es necesario aflojar las uniones atornilladas de la base, lo que posibilita modificar la configuración del resorte. La rigidez del resorte puede variarse modificando el número de vueltas activas. Por otro lado, los extremos de la base incluyen agujeros roscados, destinados al montaje de niveladores, como se muestra en la Fig. 6.17.



Fig. 6.8. Base principal



Fig. 6.9. Taladrado del péndulo

El maquinado de los péndulos debe realizarse con precisión, respetando las dimensiones calculadas y especificadas en los planos. Las tolerancias indicadas para el taladrado de los agujeros del péndulo (Fig. 6.9) garantizan un amortiguamiento mínimo y un ajuste deslizante adecuado, y así asegurando una correcta articulación. Este aspecto es crucial para la sintonización y atenuación del segundo armónico generado por la junta universal. Las ranuras de los ejes del péndulo deben ser lo más precisas posible de acuerdo a lo establecido en el plano y cumplir con las tolerancias para la inserción del anillo de retención, ver Fig. 6.10. El desplazamiento axial del péndulo estará restringido por los anillos de retención, como se muestra en la Fig. 6.11, evitando movimientos axiales no controlados.



Fig. 6.10. Ejes del péndulo



Fig. 6.11. Restricción de desplazamiento axial del péndulo mediante anillos de retención



Fig. 6.12. Tapas para los soportes

Las tapas de los soportes de rodamientos, ver Fig. 6.12, deben garantizar el correcto

funcionamiento del sistema, asegurando la fijación adecuada en un extremo y permitiendo el libre movimiento del rodamiento en el otro. Entre sus principales características, destacan su alineación y precisión, lo que permite un ajuste adecuado y evita esfuerzos innecesarios en el eje. Además, deben permitir un ligero movimiento axial generado durante el funcionamiento del módulo, especialmente cuando se produce la torsión del resorte. Estas tapas también cumplen una función de protección, evitando el contacto del rodamiento con contaminantes como polvo, humedad o partículas, lo que contribuye a prolongar su vida útil. Finalmente, su diseño facilita el montaje y desmontaje, permitiendo un mantenimiento sencillo y la sustitución del rodamiento sin afectar los componentes adyacentes.

Se aplicó pintura anticorrosiva a los componentes del módulo con el propósito de proteger las superficies metálicas frente a la acción de agentes ambientales, como la humedad, que pueden inducir a la corrosión. Esta capa protectora no solo prolonga la vida útil de las piezas, sino que también preserva su funcionalidad mecánica y estructural a lo largo del tiempo. La aplicación del recubrimiento anticorrosivo se puede apreciar en la Fig. 6.13.



Fig. 6.13. Pintura anticorrosiva aplicada a los componentes del módulo

La Fig. 6.14 muestra el acabado final del módulo tras el proceso de pintado.



Fig. 6.14. Pintado y acabado del módulo

Los soportes deben ser mecanizados con alta precisión para asegurar una correcta alineación y evitar esfuerzos innecesarios en el eje. Deben permitir la fácil instalación de rodamientos y garantizar el giro libre del anillo interior, tal como se muestra en la Fig. 6.15.



Fig. 6.15. Soporte del volante de inercia

En la Fig. 6.16 se observa el ángulo formado entre el eje conductor y el eje conducido, el cual es fundamental para generar vibración torsional en el sistema. Además, el resorte presenta una marca blanca sobre el número de vueltas activas, lo que permite visualizar su comportamiento durante el funcionamiento del módulo. También se aprecia el acoplamiento entre el motor y el sistema de transmisión, el cual debe estar correctamente alineado para evitar esfuerzos adicionales y desgaste prematuro en los componentes.

Para la generación de vibraciones torsionales, el módulo está compuesto por un motor eléctrico, base secundaria articulada, un variador de velocidad, una junta universal, un

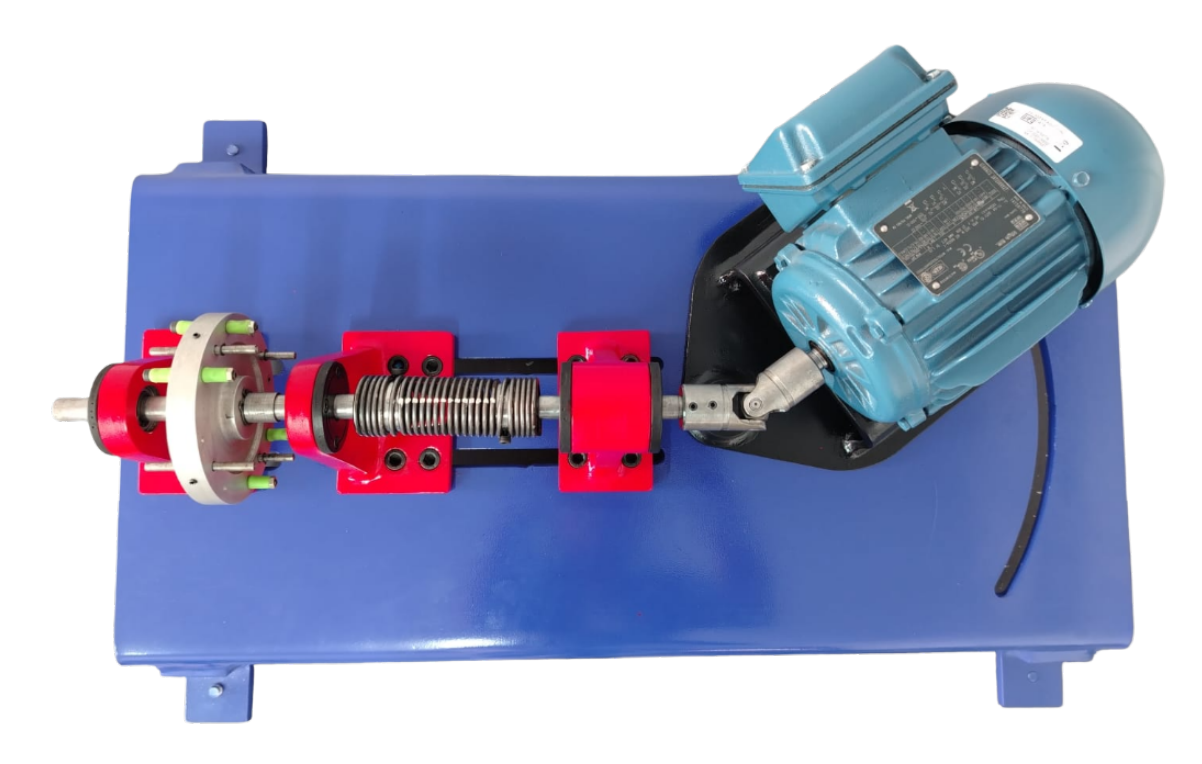


Fig. 6.16. Ángulo entre el eje conductor y el conducido

resorte y un volante de inercia. Por otro lado, el sistema de atenuación está conformado por péndulos de diferentes masas, ejes de péndulos y topes que limitan su rotación a un ángulo de 30°. Los últimos elementos mencionados trabajan en conjunto para reducir las oscilaciones generadas. Todos los componentes están soportados sobre una base rígida con cuatro niveladores regulables.



Fig. 6.17. Módulo experimental

### 6.1.1. Costos de Construcción del Módulo

En este apartado se detallarán los costos de construcción del módulo. En la Tabla 6.1 estan los costos estimados del presente proyecto. Se consideraron los costos por el uso de los equipos de la Unidad de Ensañanza de la Universidad Nacional de San Antonio Abad del Cusco con la aclaración de que este costo no fue cobrado, sino que fue brindado con todas las facilidades sin costo alguno.

#### Costos de Construcción

		Costo	Sub
Cant.	Descripción	Unit.	Total
		<b>S</b> /.	S/.
	Equipos		
01 Und.	Variador de velocidad SINAMICS V20, $1 \text{hp}/0.75 \text{kW}$	750.00	750.00
01 Und.	Motor trifásico WEG 0.75 Hp IE2	650.00	650.00
	Mecanismos y elementos de máquina		
01 Und.	Universal Joint LOVEJOY Solid x Solid D7	429.65	429.65
0 3 Und.	Resorte a torsión AISI 1070	106.20	318.60
01 Und.	Eje principal CK45	160.00	160.00
01 Und.	Eje secundario CK45	140.00	140.00
04 Und.	Eje del péndulo CK45	85.00	340.00
08 Und.	Rodamiento rígido de bolas SKF 628/8-2Z	15.16	121.30
04 Und.	Rodamiento rígido de bolas SKF 16002-2Z	25.57	102.28
01 Und.	Base principal	140.00	140.00
01 Und.	Base secundaria	70.00	70.00
01 Und.	Bastidor del motor	50.00	50.00
01 Und.	Volante de inercia	290.00	290.00
02 Und.	Soporte	160.00	320.00
01 Und.	Soporte doble	170.00	170.00
02 Und.	Acople para resorte	145.00	290.00
04 Und.	Tapa de protección	52.50	210.00
08 Und.	Espaciador péndulo - rodamiento	8.00	64.00
08 Und.	Masa del péndulo	10.00	80.00
02 Und.	Chaveta 4x4x15	8.00	16.00
01 Und.	Chaveta 6x6x15	8.00	8.00
04 Und.	Niveladores 3/8"x1 1/2"	12.00	48.00

	Pernería		
02 Und.	Perno hexagonal M10x40	1.00	2.00
04 Und.	Perno hexagonal 1/4"x1 3/8"	0.30	1.20
08 Und.	Arandela plana tipo A estrecha 1/4"	0.10	0.80
04 Und.	Tuerca hexagonal 1/4"	0.10	0.40
01 Und.	Perno hexagonal M16x100	1.00	1.00
08 Und.	Tuerca hexagonal 1/4"	0.10	0.80
04 Und.	Anillos de retención exterior 15x1	1.50	6.00
02 Und.	Anillos de retención exterior 12x1	1.50	3.00
01 Und.	Anillos de retención exterior 18x1.2	2.00	2.00
08 Und.	Anillos de retención interior 16x1	2.00	16.00
14 Und.	Arandela Grower M10	0.15	2.10
12 Und.	Perno Socket M10x35	1.40	16.80
16 Und.	Perno Socket M6x12	0.50	8.00
01 Und.	Arandela Grower M16	0.50	0.50
14 Und.	Tuerca hexagonal M10	0.30	4.20
16 Und.	Arandela plana tipo A estrecha M10	0.20	3.20
01 Und.	Arandela plana tipo A estrecha M16	0.50	0.50
04 Und.	Prisioneros M5x10	0.50	2.00
02 Und.	Prisioneros M6x12	0.50	1.00
02 Und.	Prisioneros M6x18	0.50	1.00
	Consumibles		
03 Und.	Disco abrasivo Dewalt	6.00	18.00
02 Und.	Disco de corte Norton 4"	7.00	14.00
01 Und.	Disco de corte Norton 7"	12.00	12.00
01 Und.	Hoja de sierra	5.00	5.00
04 Und.	Lija para metal grano 150	2.50	10.00
02 Und.	Lija al agua grano 200	2.00	4.00
01 Und.	Broca para metal 4mm	5.50	5.50
01 Und.	Broca para metal 5mm	5.50	5.50
01 Und.	Broca para metal 6.5mm	7.50	7.50
01 Und.	Macho para máquina M4x0.7	12.00	12.00
01 Und.	Macho para máquina M5x0.7	14.50	14.50
1/2 kg.	Electrodo E6011	14.00	7.00
1/2 kg.	Electrodo E7018	18.00	9.00
	Acabados		
1/2 Gl.	Esmalte sintético	18.00	18.00

1/4 Gl.	Pintura anticorrosiva	14.00	14.00
1 Gl.	Thinner acrílico	18.00	18.00
01 Und.	Macilla plástica Bonflex	15.00	15.00
01 Und.	Lija para metal grano 60	2.50	2.50
01 Und.	Lija para metal grano 80	2.50	2.50
01 Und.	Cepillo copa	14.00	14.00
1/4 kg.	Waype	15.00	3.80
	Accesorios Eléctricos		
02 m.	Cable trifásico N°14	9.50	19.00
02 m.	Cable monofásico N°14	6.50	13.00
01 Und.	Enchufe de conexión monofásico	6.00	6.00
05 Und.	Terminal tipo Horquillas de $5/32$ "para calibre 14	0.50	2.50
03 Und.	Terminal tipo Redondo de $5/32$ "para calibre 14	0.50	1.50
	Alquiler de Equipos y Laboratorio		
02 días	Unidad de Enseñanza (Maquicentro) de la	400.00	800.00
	Universidad Nacional de San Antonio Abad del		
	Cusco		
02 días	Láser de Nivelación Cruzado Einhell TC-LL	40.00	80.00
	Total		S/. 6,076.41

Tabla 6.1. Costos de construcción

#### Costos de Ingeniería

Los Costos de Ingeniería, Tabla 6.2, consideran los procesos de conceptualización, modelado y optimización del diseño del módulo, mediante iteraciones que permiten cumplir con la lista de exigencias descrita en el Capítulo 3. Estos requisitos incluyen funcionalidad, eficiencia, manufacturabilidad y seguridad. Además, se llevaron a cabo simulaciones para evaluar el comportamiento del sistema bajo diversas condiciones de operación, permitiendo optimizar su desempeño antes de la fabricación y minimizando errores y costos adicionales. Por último, se generaron planos detallados del módulo, especificaciones de los materiales, tolerancias y procesos de ensamblaje con la finalidad de garantizar una fabricación de los componentes y un montaje adecuado.

#### Estimación de costo total

La Tabla 6.3 muestra la estimación del costo total para el diseño y construcción del módulo. El costo total del proyecto asciende a S/. 16,092.41.

Cant.	Descripción	Costo Unit. S/.	$egin{array}{c} \mathbf{Sub} \\ \mathbf{Total} \\ \mathbf{S/.} \end{array}$
1152 Hrs.	Diseño del módulo	8.00	9216.00
50 Hrs.	Elaboración de planos	8.00	400.00
50 Hrs.	Simulaciones	8.00	400.00
	Total		10,016.00

Tabla 6.2. Costos de ingeniería

Descripción	Costo Unit. S/.				
Costos de construcción	6,076.41				
Costos de ingeniería	10,016.00				
Costo total	16,092.41				

Tabla 6.3. Estimación de costo total

#### 6.1.2. Instrucciones de Funcionamiento del Módulo

#### Ajuste de los Componentes

- 1. Para observar la atenuación de las vibraciones torsionales mediante péndulos simples, se pueden utilizar masas de 40gr, 90 gr, 135 gr y 180 gr y determinar su influencia. Para ello es necesario limitar el movimiento del péndulo en la dirección axial con anillos de retención.
- 2. Es posible controlar la amplitud de la deflexión angular mediante el cambio en el ángulo del eje del motor y eje secundario. Para deflexiones máximas el ángulo debe tener el valor de 25° y el valor de 0° para una deflexión angular nula.
  - Para poder girar el motor respecto al punto de articulación es necesario el uso de llaves para el desajuste de los pernos para posteriormente aplicar el torque necesario en la manija de la plancha, donde descansa el bastidor del motor, y posicionar en el ángulo requerido. De preferencia trabajar con un ángulo de 25°.
- 3. Posicionar el módulo en una superficie plana de lo contrario realizar el ajuste respectivo de los niveladores ubicados en los extremos de la base principal de la máquina.
- 4. El variador debe ser conectado a una fuente de energía monofásica de tensión de 220V, y verificar que este correctamente conectado al motor.
- 5. Primero se experimenta las vibraciones torsionales a 2.55 Hz, y para observar la absorción dinámica de las vibraciones torsionales se colocan los péndulos.

#### Puesta en Marcha

- 1. Verificar que la máquina se encuentre nivelado, caso contrario realizar el ajuste necesario en los niveladores que se encuentran en los extremos de la base principal.
- 2. Verificar que las conexiones del variador de frecuencia y al motor estén conectados correctamente.
- 3. Configurar el variador de frecuencia con la puesta en marcha rápida para poder utilizar sus controles. Se recomienda seguir los pasos del Data Sheet. (Ver Fig. A.5)
- 4. Habiendo configurado los parámetros del variador de frecuencia se prosigue con los siguientes pasos.
  - Para dar inicio se presiona el botón de color verde.
  - Para cambiar de velocidad se presiona el botón de incremento o decremento y el paso de variación de velocidad es de 0.1 Hz lo que es adecuado para sintonizar la frecuencia natural del sistema con el segundo armónico.
  - Para parar se presiona el botón de color rojo.

Atención: La mínima velocidad a utilizar es de 2 Hz y la máxima velocidad es 15 Hz. La velocidad de giro del motor debe ser en sentido contrario a las manecillas del reloj para que se pueda producir el torcimiento adecuado.

## 6.2. Pruebas de Ensayo

El módulo educativo fue diseñado para poder observar las vibraciones torsionales y su atenuación a través de la experimentación directa; no será necesario realizar una medición exhaustiva para presenciar el fenómeno físico. Y el objetivo de este apartado es validar el modelo conceptual planteado en la sección 4.1.2.

### 6.2.1. Modelo a Ensayar

El módulo a ensayar, sin el absorbedor de vibraciones, es un sistema de un grado de libertad. El rango de frecuencias a evaluar varía entre 2 Hz y 6 Hz, entrando en resonancia a una velocidad de operación del motor de 2.55 Hz.

Además, la implementación de los péndulos incrementa el momento de inercia, lo que desplaza la frecuencia de resonancia hacia valores menores (ver Fig. 4.13). A pesar de esta variación en la condición de resonancia, el péndulo continuará atenuando las vibraciones

torsionales. Este fenómeno se explicó con mayor detalle en la sección 2.3.5, donde se muestra que la atenuación ocurre en un rango continuo de velocidades en lugar de una frecuencia específica.

### 6.2.2. Lugar de Prueba

Las pruebas se realizaron en el Laboratorio de Vibraciones Mecánicas de la Universidad de San Antonio Abad del Cusco.

### 6.2.3. Equipos y Materiales

- Tacómetro óptico
- 4 Péndulos
- Alicate tipo pinza.
- Anillos de retención

Los equipos y materiales se aprecian en la Fig. 6.18. Para más detalle ver C.2, para



Fig. 6.18. Equipos y materiales

realizar las pruebas de la forma adecuada.

### 6.2.4. Capacitación del uso del Módulo

En las Fig. 6.19 y 6.20 se presentan registros fotográficos del funcionamiento del módulo diseñado para el estudio de la absorción dinámica de las vibraciones torsionales. Estas imágenes muestran sesiones prácticas realizadas con estudiantes de la asignatura de Vibraciones Mecánicas, quienes representan el público objetivo de esta propuesta.

Durante la presentación, se explicó el fenómeno de la vibración torsional y se demostró, de manera visual y experimental, cómo el mecanismo atenuador permite reducir las

oscilaciones angulares del sistema. La interacción directa de los estudiantes con el módulo permitió reforzar los conceptos teóricos vistos en clase, facilitando la comprensión de los parámetros que influyen en el comportamiento dinámico del sistema.

La participación activa de los estudiantes y la claridad con la que se evidenció el efecto de la absorción dinámica constituyen una validación del objetivo principal de esta investigación: diseñar y construir un módulo didáctico que permita estudiar y visualizar el fenómeno de la vibración torsional y su atenuación.



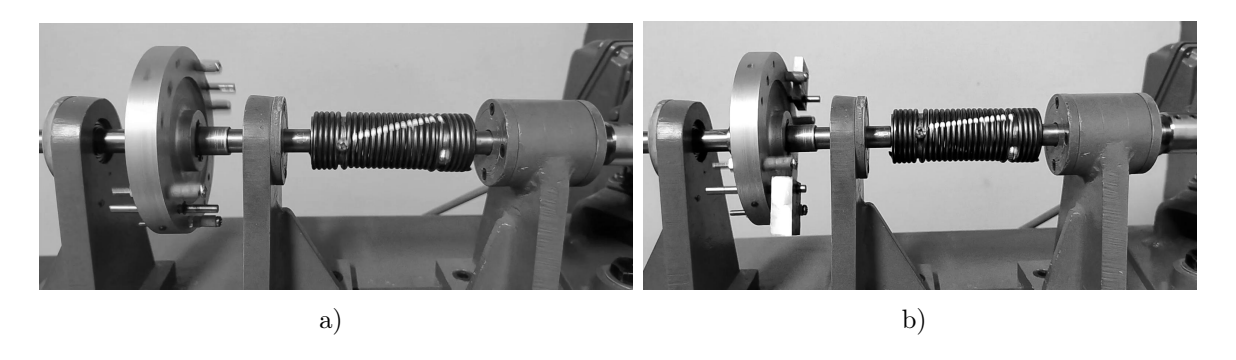
Fig. 6.19. Presentación del comportamiento del módulo



Fig. 6.20. Presentación del módulo

#### 6.2.5. Recolección de Datos

La recolección de datos en la experimentación se realizó mediante videos, para luego ser procesados en el software MatLab (Ver script E.3) para evidenciar la deflexión angular del resorte y su atenuación con claridad. A continuación, se muestran fotogramas (figuras) obtenidas del video procesado en condición de resonancia del sistema torsional para una masa de 180 gr de péndulo. El comportamiento del sistema en condiciones de resonancia muestra que el torcimiento del resorte cambia de dirección según la variación de la aceleración angular cada 90°, como se observa en la Fig. 4.3. Inicialmente, la Fig. 6.21 muestra el torcimiento del resorte ocasionado por el torque  $-Jb_2\dot{\theta_1}^2$  que tiene la misma dirección que la velocidad de rotación; después de un instante de tiempo, el torque cambia de dirección siendo opuesta a la velocidad de rotación, la aceleración es nula en el punto de inflexión y se aprecia en la Fig. 6.22. Finalmente, la Fig. 6.23 muestra que el sentido del torcimiento del resorte es contrario a la velocidad angular.



**Fig. 6.21.** a) Torcimiento del resorte en la dirección de la velocidad angular, b) Atenuación de la vibración torsional para una masa de péndulo de 180 gr.

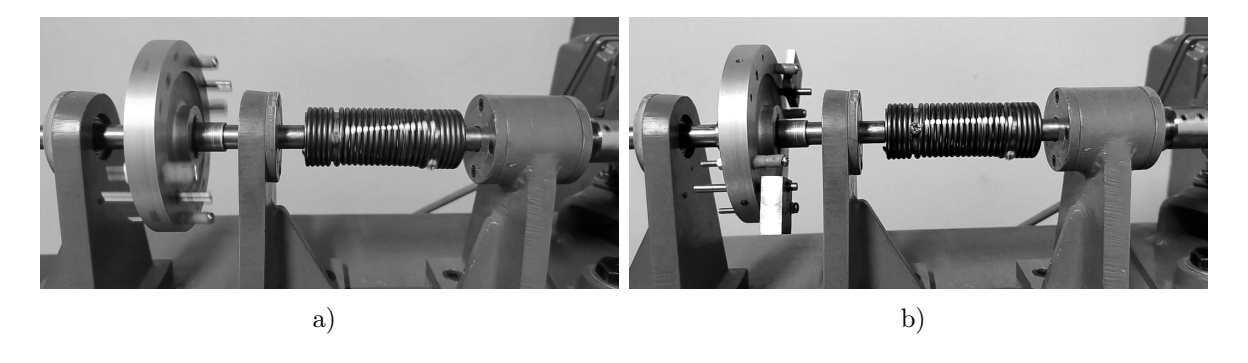


Fig. 6.22. a) y b) Punto de inflexión para ambas condiciones.

En la Fig. 6.24 se observa que el porcentaje de atenuación es directamente proporcional al incremento de la masa. Para facilitar el análisis del comportamiento del resorte durante la vibración, se ha marcado con una línea blanca horizontal. Esta referencia permite

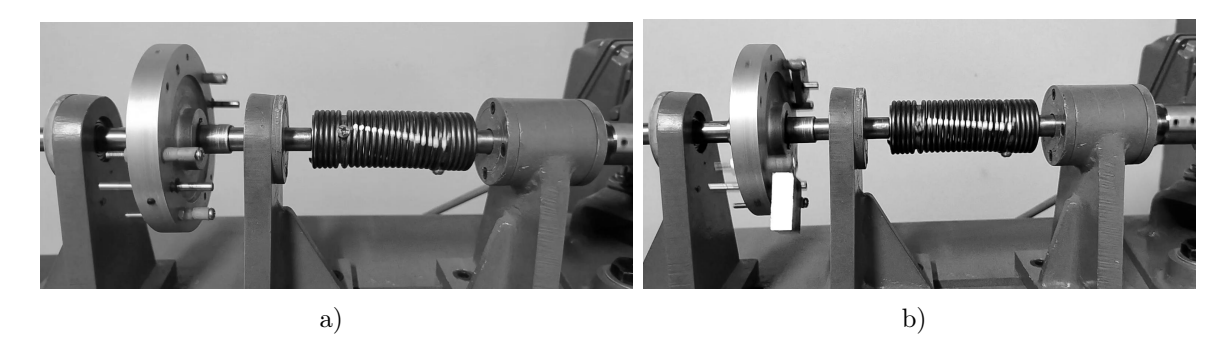


Fig. 6.23. a) Torcimiento del resorte en dirección contraria a la velocidad angular, b) Atenuación de la vibración torsional para una masa de péndulo de 180 gr.

identificar con mayor claridad los desplazamientos del resorte y evaluar el impacto de la variación de las masas en la reducción de las vibraciones torsionales.

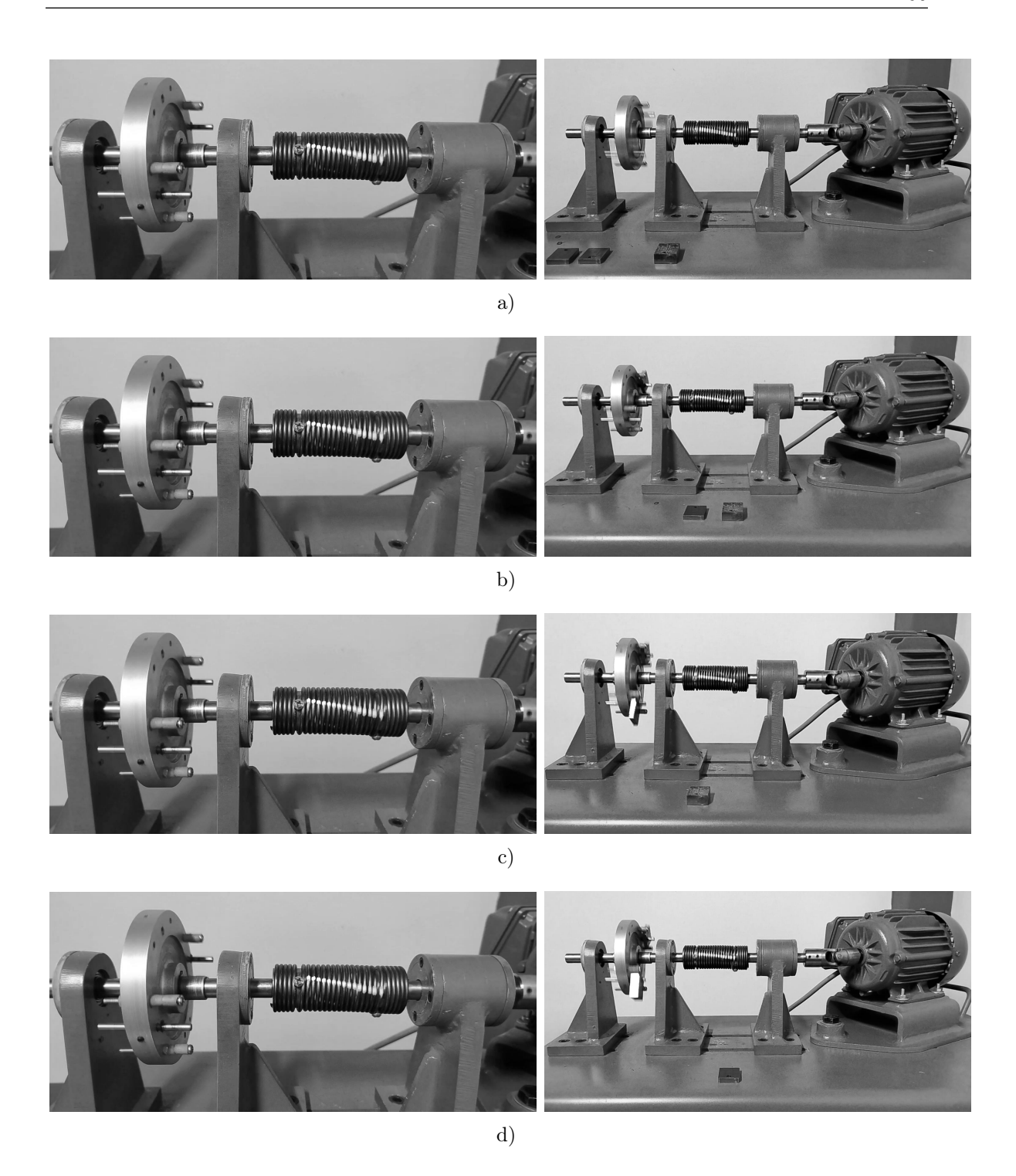
Con la variación de la masa de los péndulos, también se varía el momento de inercia del sistema. En la Tabla 6.4 se muestran los nuevos valores de resonancia para diferentes masas, además se realiza la comparación con las resonancias obtenidas mediante simulación. La frecuencia del sistema de generación de vibraciones torsionales esta sintonizada al segundo armónico (2n) del mecanismo de la junta universal.

Masa (gr)	Simulación numérica (Hz)	Experimental (Hz)	Error porcentual relativo
0	2.51	2.50	0.8 %
45	2.23	2.20	0.9%
90	1.99	2.15	7.4%
135	1.83	2.00	8.5%
180	1.67	1.85	9.7%

Tabla 6.4. Comparación de valores experimentales con los valores simulados

En la norma VDI 3843 [47], se establece que la precisión de la variable objetivo, determinada a través del modelo de cálculo (resultado del cálculo) y la variable medida (resultado de medición), debe estar dentro del rango de tolerancia técnicamente admisible. La norma expone un valor del 10 %, por lo que el error porcentual relativo debe ser inferior a este límite. En la presente investigación el error porcentual relativo se mide respecto a los datos experimentales obtenidos contra los valores obtenidos mediante la simulación numérica, el valor es menor al 10 % lo que indica una precisión suficiente. Finalmente, el modelo conceptual planteado para la generación de vibración torsional en la sección 4.1.2 es ratificado con la experimentación.

La Fig. 6.24 muestra una comparación entre el sistema sin absorbedor (lado izquierdo) y con absorbedor de distintas masas (lado derecho). En cada caso, la línea blanca en el



**Fig. 6.24.** En las figuras en lado izquierdo se muestra el sistema en resonancia sin el absorbedor y el lado derecho se muestra su atenuación para diferentes masas. a) Masa de 45 gr, b) Masa de 90 gr, c) Masa de 135 gr y d) Masa de 180 gr.

resorte indica la deformación angular del sistema debido a las vibraciones torsionales. Se observa que, a medida que se incrementa la masa del absorbedor (de 45 gr a 180 gr), la deformación del resorte disminuye progresivamente. Considerando que las imágenes del lado derecho constituyen el 100% de deformación angular, con 45 gr de masa se observa una ligera reducción de la deformación aproximadamente del 15-20%, con 90 gr entre el

 $30-35\,\%$ , con  $135\,$ gr se observa una reducción considerable de entre  $45-50\,\%$ , finalmente con  $180\,$ gr la deformación es la más baja en comparación con los otros casos, alcanzando aproximadamente una atenuación entre el  $50-55\,\%$ . Estos valores son aproximaciones basados en la observación cualitativa de las imágenes obtenidas en cada experimentación.

# Conclusiones

- El análisis de los parámetros que involucran la generación y atenuación de las vibraciones torsionales permitió comprender el comportamiento dinámico del mecanismo de la junta universal, el cual genera vibraciones torsionales con armónicos pares, siempre que la posición del eje de entrada y salida se encuentren desfasados un ángulo  $(\beta)$  con valores recomendados menores a 25° para obtener un comportamiento aproximadamente sinusoidal. Para la atenuación se determinó que el movimiento del absorbedor pendular simple debe limitarse a un ángulo de 30° para conservar las propiedades de absorción con un torque armónico. Además, al incrementar el número de péndulos la atenuación de la vibración torsional es mayor. El amortiguamiento del sistema torsional y de los péndulos influye en el comportamiento del módulo; un mayor coeficiente de amortiguamiento en el sistema torsional reduce la amplitud pico de deformación del resorte, mientras que un coeficiente elevado de amortiguamiento en los péndulos limita su efectividad como absorbedores dinámicos. La frecuencia del sistema de generación de vibraciones torsionales está sintonizada al segundo armónico del mecanismo de la junta universal, y guarda relación con parámetros como la distancia desde el centro del volante hasta la articulación del péndulo (a= 46 mm), así como la distancia desde la articulación hasta su centro de gravedad (l=11.5 mm).
- Utilizando la metodología VDI 2221 se desarrollaron siete conceptos de solución para el diseño conceptual del módulo. Mediante un proceso de selección sistemática se descartaron los conceptos de solución 1 y 2, por la presencia de un sistema alternante que implicaba un aumento en el peso del módulo, así como la generación de fluctuaciones laterales en los soportes. La evaluación Técnica Económica se realizó según la VDI 2225, en la evaluación técnica los criterios con mayor ponderación fueron: construcción (35%), diseño (25%) y funcionalidad (20%). Por otro lado, en la evaluación económica, el criterio más relevante fue el de construcción, con un 75%, considerando como prioritarios la adquisición de los elementos mecánicos y los costos de manufactura. A partir de los resultados obtenidos en ambas evaluaciones, se seleccionó el concepto de solución número 3, el cual obtuvo puntuaciones superiores a 0.6 en ambos criterios. El concepto cuenta con un mecanismo de junta universal como fuente de excitación de las

- vibraciones torsionales, controlable mediante el ángulo de desfase  $(\beta)$ . El espécimen a ensayar es un resorte físico, y el atenuador seleccionado es un péndulo simple de fabricación sencilla y accesible.
- En el modelado del sistema para un grado de libertad (1 GDL), se utilizó las ecuaciones de Lagrange para caracterizar el movimiento en función de la deformación del resorte, además se determinó que la fuerza responsable de la torsión del resorte es de naturaleza dinámica. Esta fuerza genera un torcimiento opuesto a la velocidad angular en el intervalo de 0° a 90°, y en la misma dirección que la velocidad en el intervalo de 90° a 180°, debido a la variación de la aceleración inducida por la junta universal. La fuerza dinámica resulta del producto entre la inercia del volante y la aceleración angular a la salida de la junta universal, siendo sensible a los cambios del ángulo de desfase. Las ecuaciones de movimiento del sistema con 1 GDL fueron resueltas analíticamente, implementándose con la solución numerica obtenida mediante el método de Runge-Kutta. Este método fue también empleado para resolver el sistema de ecuaciones no lineales que incorpora los efectos del péndulo, dada la alta complejidad del modelo. A partir de la simulación numérica, se determinó que el sistema entra en resonancia a 2.51 Hz, valor que concuerda con el resultado experimental de 2.5 Hz. En la condición antes expuesta, la amplitud pico de deformación del resorte alcanza los 16°. La atenuación de las vibraciones torsionales mejora progresivamente al incrementar el número de péndulos. Para una masa total de 90 gr, se logró una reducción del 30.99 %; con 135 gr, del 46.10%; y con 180 gr la reducción alcanzó el 50.15%.
- El cálculo de los elementos de máquina del módulo se fundamento en lograr la mayor deformación torsional posible para facilitar su observación. Se seleccionó un motor de 0.75 hp y un variador de 1 hp, adecuados para generar las condiciones de operación requeridas, la junta universal elegida es del tipo D-7 con una aplicación menor o igual a 25° y el resorte tiene una rigidez de 0.6 N/m con 15 vueltas activas, un diámetro de alambre de 3.2 mm, diámetro medio de 32.8 mm en vista de que el valor del torque dinámico es pequeño, se obtiene un factor de seguridad conservativo. En consecuencia, la selección de los elementos de máquina se realizó considerando tanto su disposición como su facilidad de obtención, asegurando un diseño funcional y viable.
- En la experimentación directa se observó una atenuación progresiva de las vibraciones torsionales al incrementar la masa aplicada. Con una masa de 45 gr la atenuación fue ligera, estimándose entre 15-20 %. Al aumentar la masa a 90 gr, la reducción alcanzó aproximadamente entre 30-35 %, mientras que con 135 gr, la atenuación fue más significativa en un rango de 45-50 %. Finalmente, con 180 gr se

logró la mayor atenuación, alcanzando valores entre el 50-55 %. Estos resultados muestran una clara correlación con los valores obtenidos en las simulaciones numéricas.

Durante los ensayos, se evidenció que los coeficientes de amortiguamiento del sistema y del péndulo tienen un impacto directo en la generación y atenuación de las vibraciones torsionales. El alineamiento adecuado de los ejes es fundamental para el correcto funcionamiento del módulo; una alineación incorrecta provocaría incrementar los valores del coeficiente de amortiguamiento del sistema, impidiendo la deflexión angular del resorte. Asimismo, el contacto entre el péndulo y su eje debe ser lo más liso posible para obtener valores mínimos de amortiguamiento. La instalación de los péndulos en posiciones opuestas contribuyó a reducir las vibraciones producidas por masas desbalanceadas.

# Recomendaciones

- Se recomienda realizar un estudio que incluya un sistema de medición para las vibraciones torsionales y su atenuación, especialmente cuando las experimentaciones se realicen a altas velocidades. Esto permitirá obtener datos más precisos sobre el comportamiento del sistema bajo diferentes condiciones de operación.
- Con el fin de evaluar la eficiencia del péndulo simple, se sugiere realizar pruebas comparativas utilizando otros modelos de péndulo centrífugo, como los tipos bifiliar y de rodillo. Estos modelos podrían ofrecer una mejor atenuación de las vibraciones torsionales, lo que permitiría validar la efectividad del diseño del péndulo utilizado en este estudio.
- Para estudiar el fenómeno de la vibración torsional en sistemas con trenes de transmisión de múltiples grados de libertad, se recomienda incorporar volantes de inercia para un modelado más representativo del comportamiento del sistema.

# Bibliografía

- [1] D. Newland, "Developments in the design of centrifugal pendulum vibration absorbers," *International Journal of Acoustics and Vibration*, vol. 25, no. 2, pp. 226–277, 2020. doi: 10.20855/ijav.2020.25.21687.
- [2] "Google Earth." https://www.google.com/earth/. Accedido: 27 de octubre de 2023.
- [3] W. Tuplin, Torsional Vibration. Applied mechanics monographs, Pitman, 1966.
- [4] American Society for Testing and Materials International, "Standard terminology relating to fatigue and fracture testing." ASTM E1823-13, 2013. [En línea]. Disponible: https://www.astm.org/e1823-23.html.
- [5] J. Vance et al., "Torsional vibration," in Machinery Vibration and Rotordynamics Torsional Vibration, ch. 2, pp. 35–70, New Jersey, USA: John Wiley & Sons Inc Hoboken, New Jersey, 2010.
- [6] L. Chao and J. Dongxiang, "Torsional vibration characteristics and experimental study of cracked rotor system with torsional oscillation," *Engineering Failure Analysis*, vol. 116, p. 104737, 2020. doi: 10.1177/1045389X15590275.
- [7] L. Chen *et al.*, "Dynamic model and dynamic response of automobile dual-mass flywheel with bifilar-type centrifugal pendulum vibration absorber," *Shock and Vibration*, vol. 2021, p. 26, 2021. doi: 10.1155/2021/6627938.
- [8] D. N. Walker, Torsional Vibration of Turbo-Machinery. NY, USA: McGraw-Hill, 2004.
- [9] V. Manchi and C. Sujatha, "Torsional vibration reduction of rotating shafts for multiple orders using centrifugal double pendulum vibration absorber," Applied Acoustics, vol. 174, p. 107768, 2021. doi: 10.1016/j.apacoust.2020.107768.
- [10] C. Espinoza, Metodología de la investigación tecnológica. Huancayo, Perú: Imagen Gráfica SAC, 2010.
- [11] Methodik zum Entwickeln und Konstruieren technischer Systeme und Produkte, VDI 2221:1993.

- [12] G. Pahl et al., Engineering Design: A Systematic Approach. London: Springer London, 2007.
- [13] N. T. Ashar, "Dynamic analysis of a torsional vibration actuator," Master's thesis, University of Missouri - Rolla, Rolla, Missouri, USA, 1970.
- [14] P. P. Desai, "Design of a torsional vibration machine," Master's thesis, Missouri University of Science and Technology, Rolla, Missouri, USA, 1972.
- [15] Y. Ishida *et al.*, "Nonlinear analysis and experiments on torsional vibration of a rotor with a centrifugal pendulum vibration absorber," *Journal of System Design and Dynamics*, vol. 2, pp. 715–726, 2008. doi:10.1299/jsdd.2.715.
- [16] Y. Ishida et al., "Torsional Vibration Suppression by Roller Type Centrifugal Vibration Absorbers," Journal of Vibration and Acoustics, vol. 131, p. 051012, 09 2009. doi:10.1115/1.3147124.
- [17] K. Kadoi et al., "Nonlinear Analysis of a Torsional Vibration of a Multidegrees-of-Freedom System With Centrifugal Pendulum Vibration Absorbers and Its Suppression," Journal of Vibration and Acoustics, vol. 140, p. 061008, 05 2018. doi:10.1115/1.4040042.
- [18] A. Haris *et al.*, "Design and validation of a nonlinear vibration absorber to attenuate torsional oscillations of propulsion systems," *Nonlinear Dyn*, vol. 100, p. 33–49, 2020. doi: 10.1007/s11071-020-05502-z.
- [19] A. Alsuwaiyan and S. Shaw, "Performance and dynamic stability of general-path centrifugal pendulum vibration absorbers," *Journal of Sound and Vibration*, vol. 252, no. 5, pp. 791–815, 2002. doi: 10.1006/jsvi.2000.3534.
- [20] A. Wedin, "Reduction of vibrations in engines using centrifugal pendulum vibration absorbers," Master's thesis, Chalmers University of Technology, Gotemburgo, Sweden, 2011.
- [21] E. Smith, "Analysis and simulation of centrifugal pendulum vibration absorbers," Master's thesis, Royal Institute of Technology, KTH, Stockholm, Sweden, 2015.
- [22] B. J. Vidmar, Analysis and design of multiple order centrifugal pendulum vibration absorbers. PhD thesis, Michigan State University, Michigan, USA, 2012.
- [23] M. A. Acar, Design and tuning of centrifugal pendulum vibration absorbers for nonlinear response. PhD thesis, Michigan State University, Michigan, USA, 2017.

- [24] K. Melendres, "Cálculo y diseño de un absorsor de vibraciones torsionales tipo péndulo para un motor de combustión interna de 2 cilindros y 4 tiempos," Master's thesis, Pontificia Universidad Católica del Perú, Lima, Perú, 2012.
- [25] W. Eder and S. Hosnedl, Design Engineering: A Manual for Enhanced Creativity. Taylor & Francis, 2007.
- [26] "Verein Deutscher Ingenieure." https://www.vdi.de/. Accedido: 10 de febrero de 2024.
- [27] L. Maurice and J. Adams, *Torsional Rotor Vibration Analysis Models*, vol. 2. NY, USA: Taylor & Francis Group LLC, 2010.
- [28] D. E. Bently et al., Fundamentals of Rotating Machinery Diagnostics. USA: Bently Pressurized Bearing Press, 2002.
- [29] S. Rao, Vibraciones Mecánicas, vol. 5. Mexico: Pearson Education, Inc, 2012.
- [30] A. G. Piersol and T. L. Paez, *Harris' Shock and Vibration Handbook*. New York, NY, USA: McGraw-Hill, 2010.
- [31] E. Abouobaia *et al.*, "Development of a new torsional vibration damper incorporating conventional centrifugal pendulum absorber and magnetorheological damper," *Intelligent Material Systems and Structures*, vol. 27, pp. 980–992, 2016. doi: 10.1177/1045389X15590275.
- [32] J. P. Den Hartog, Mechanical Vibrations. New York, NY, USA: McGraw-Hill, 1976.
- [33] G. Genta, Vibration Dynamics and Control. New York, NY, USA: Springer, 2008.
- [34] O. Matsushita et al., Case Studies of Forced Vibration Problems of a Rotor, vol. 2, Advanced Rotordynamics: Applications of Analysis, Troubleshooting and Diagnosis. Tokyo, Japan: Springer Tokyo, 2020.
- [35] Catalog No. MEVTC, Equipo De Estudio de Vibraciones Torsionales, Controlado desde Computador (PC) con SCADA, Edibon, Madrid, España.
- [36] Catalog No. TM 140, Vibraciones torsionales libres y forzadas, Gunt, Madrid, España.
- [37] Catalog No. SD3, Torsional Vibration Apparatus, Armfield, UK.
- [38] C. Y. Mendivelso, "Modelamiento y análisis del comportamiento rotodinámico de un eje asimétrico sometido a carga combinada lateral y torsional," Master's thesis, Universidad Nacional de Colombia, Bogotá, Colombia, 2014.

- [39] M. Pfabe and C. Woernle, "Reducing torsional vibrations by means of a kinematically driven flywheel theory and experiment," *Mechanism and Machine Theory*, vol. 102, pp. 217–228, 2016. doi: 10.1016/j.mechmachtheory.2016.03.011.
- [40] T. Abu Seer *et al.*, "Adaptive torsional tuned vibration absorber for rotary equipment," *Vibration*, vol. 2, pp. 116–134, 2019. doi:10.3390/vibration2010008.
- [41] K. Praveen Shenoy *et al.*, "Experimental investigation of torsional vibration isolation using magneto rheological elastomer," *MATEC Web Conf.*, vol. 144, p. 01007, 2018. doi: 10.1051/matecconf/201714401007.
- [42] C. Huegel and C. Dinger, "Rotary vibration damper with centrfugal force pendulum." US Patent 8,739,523 B2, June 3, 2014.
- [43] P. G. Otanez and R. L. Melanson, "Centrifugal pendulum vibration absorber." US 2016/0040738A1, February 11, 2016.
- [44] K. Geonwoo and K. Jongryul, "Pendulum assembly of dual mass flywheel." KR 101868699B1, June 11, 2018.
- [45] W. Theodore, *Máquinas eléctricas y sistemas de potencia*. México: Pearson Educación, 2007.
- [46] B. Cleveland Poo, "Estudio teórico de las vibraciones torsionales y radiales de una transmisión de engranajes rectos," Master's thesis, Universidad de Concepción, Región del Biobio, Chile, 2022.
- [47] Modelling of vibrating systems, VDI 3843 Part 1:2018.
- [48] B. Balanchadran and E. Magrab, *Vibrations*. Cambridge: Cambridge University Press, 2019.
- [49] R. Budynas and J. K. Nisbett, *Diseño en ingeniería mecánica de shigley*. España: McGraw-Hill International de España S.L., 2008.
- [50] Catalog No., Universal Joints, Lovejoy.
- [51] P. Schimpke et al., Tratado general de soldadura. Barcelona: Gustavo Gili, S.A., 1982.
- [52] Retaining rings for shafts Normal type and heavy type, DIN 471:2011.
- [53] O. Orlov, Ingeniería de diseño, vol. 2. URSS: Editorial Mir, 1985.
- [54] Altair, Practical Aspects of Finite Element Simulation: A Student Guide . Altair, 5th ed., 2019.

- [55] S. Bhavikatti, *Finite Element Analysis*. New Age International (P) Limited, Publishers, 2005.
- [56] D. Hutton, Fundamentals of Finite Element Analysis. McGraw-Hill series in mechanical engineering, McGraw-Hill, 2004.
- [57] Catalog No. 50024297, W22 Motor eléctrico trifásico, WEG, Jaraguá do Sul, BRA.
- [58] Catalog No. A5E31842763, Convertidor SINAMICS V20, SIEMENS, Núremberg, DEU.
- [59] "SKF." https://www.skf.com/pe. Accedido: 3 de abril de 2024.
- [60] Catalog No. PUB BU/P1 17000/1 ES, Rodamientos, SKF.

# Anexos

# A | Catálogos y Fichas Técnicas



### W22 - IE2 High Efficiency - 60 Hz

			_	Corriente	Par con			<b>T</b> 1	fortune						22	0 V			
Pot		Par nominal	con rotor	rotor	rotor Par máximo	Momento	con rotor t	máximo	Doon (kg)	Nivel de ruido		% de la potencia nominal					Corriente		
		Carcasa	(kgfm)	trabado	trabado	Tb/Tn	J (kgm²)		rabado (s)	Peso (kg)	dB(A)	RPM	F	Rendimient	0	Fac	tor de pote	ncia	nominal
kW	HP		(Kgiiii)	II/In	TI/Tn	10/111	o (kgiii )	Caliente	Frío		ub(ri)		50	75	100	50	75	100	In (A)
IV Polos																			
0,12	0,16	63	0,068	4,6	2,9	3,1	0,0004	37	81	6,2	48	1715	53,0	60,0	64,0	0,44	0,55	0,64	0,769
0,18	0,25	63	0,103	4,7	2,8	2,9	0,0006	30	66	7,2	48	1705	57,0	64,0	68,0	0,47	0,59	0,68	1,02
0,25	0,33	63	0,143	5,0	2,6	3	0,0007	25	55	8,2	48	1705	62,0	68,0	70,0	0,47	0,60	0,69	1,36
0,37	0,5	71	0,213	4,6	2,4	2,5	0,0007	35	77	8,0	47	1695	68,0	71,0	72,0	0,50	0,63	0,72	1,87
0,55	0,75	71	0,319	5,1	3	2,9	0,0008	41	90	11,5	47	1680	71,0	74,5	75,5	0,50	0,63	0,71	2,69
0,75	1	80	0,422	6,6	2,1	2,6	0,0029	13	29	13,5	48	1730	77,5	80,0	80,5	0,57	0,71	0,81	3,02
1,1	1,5	90S	0,614	7,0	2,2	2,9	0,0049	16	35	18,5	51	1745	82,5	83,5	84,0	0,57	0,70	0,78	4,40
1,5	2	908	0,837	7,1	2,3	3	0,0049	10	22	20,1	51	1745	81,0	83,5	84,2	0,57	0,70	0,78	6,00
2,2	3	L90L	1,23	7,4	2,8	3,1	0,0077	11	24	27,0	51	1745	86,0	86,5	87,5	0,60	0,73	0,80	8,25
3	4	100L	1,69	7,3	3,2	3,2	0,0096	16	35	33,0	54	1725	86,4	87,2	87,5	0,61	0,74	0,81	11,1
3,7	5	100L	2,08	8,0	3,5	3,6	0,0104	11	24	34,0	54	1730	85,0	87,0	87,5	0,59	0,72	0,79	14,0
4,5	6	112M	2,52	6,2	2,1	2,8	0,0155	19	42	42,0	56	1740	88,0	88,5	88,5	0,62	0,74	0,81	16,5
5,5	7,5	112M	3,06	7,3	2,7	3,3	0,0180	15	33	45,3	56	1750	88,0	89,1	90,0	0,53	0,67	0,76	21,2

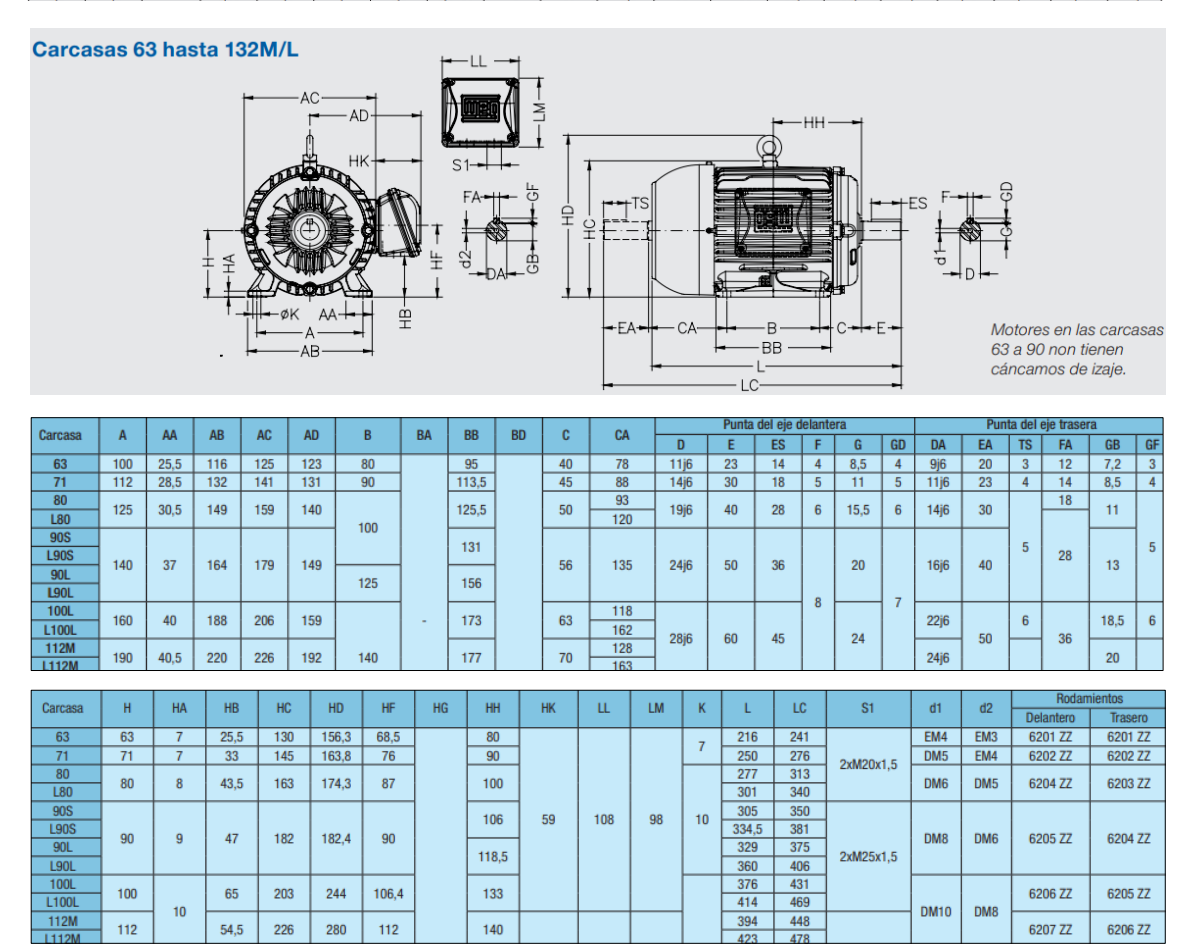


Fig. A.1. Ficha técnica Motor WEG 0.5HP IV Polos. Adaptado de [57]

### **VARIADORES DE VELOCIDAD SINAMICS V20 APLICACIONES BÁSICAS**

Sinamics V20 ofrece funcionalidades básicas para la mayor parte de las aplicaciones industriales de velocidad variable. Ejemplo: bombas, fajas transportadoras, ventiladores y compresores. Trabaja en control de voltaje-frecuencia (VIF, V-If y FCC).

Frecuencia de salida:
Tipo de protección:
Temperatura de operación máxima:
Entradas digitales:
Salidas digitales:

Panel operador básico: Comunicación:

Aplicaciones: Compensación de deslizamiento, arranque al vuelo, controlador PID y arranque secuencial de bombas Bloques de función libre: AND, OR, XOR, NOT, D-FF, RS-FF, Timer, ADD, SUB, MUL, DIV y CMP

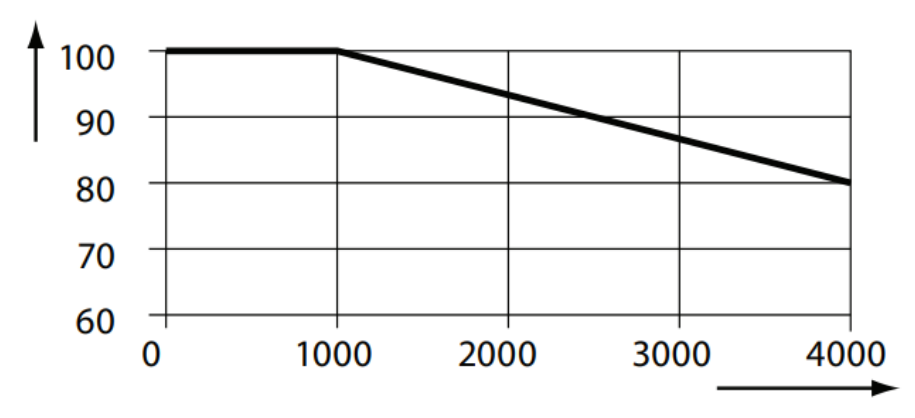
	Código (MLFB)	Poteno HP	cia (LO) KW	Corriente (LO) A	Potenc HP	ia (HO) KW	Corriente (HO) A	Tamaño Constructivo	Precio Lista Unit. \$
SINAM	MICS V20 1 AC 200 V - 240	V (-10	. + 10%)						
100365756	6SL3210-5BB13-7UV1	0.5	0.37	2.3	0.5	0.37	2.3	FSAA (1)	310
100371062	6SL3210-5BB17-5UV1	1	0.75	3.9	1	0.75	3.9	FSAB (1)	366
100254295	6SL3210-5BB21-1UV1	1.5	1.1	6	1.5	1.1	6	FSAC (1)	475
100254296	6SL3210-5BB21-5UV1	2	1.5	7.8	2	1.5	7.8	FSAC (1)	539
100254297	6SL3210-5BB22-2UV1	3	2.2	11	3	2.2	11	FSAD (1)	830
100254298	6SL3210-5BB23-0UV1	4	3	13.6	4	3	13.6	FSAD (1)	964

Tamaño Constructivo	Altura H (mm)	Ancho L (mm)	Profundidad P (mm)	
FSAA	142	68	107.8	# <del>****</del> ****
FSAB	142	68	127.8	] { 4j         <del></del>  6
FSAC	160.9	90.8	147	
FSAD	176.5	136.6	158.8	
FSA	166	90	145.5	]
FSB	160	140	164.5	E 3 MESSES
FSC	182	184	169	
FSD	206.5	240	172.5	
FSE	264.5	245	209	

Notas: 1) Si se requiere utilizar resistencia de frenado para las tallas FSA, FSB y FSC se debe hacer uso de un módulo de frenado 6SL3201-2AD20-8VAO que se ubica en la página 3/4 "Componentes opcionales para V20".

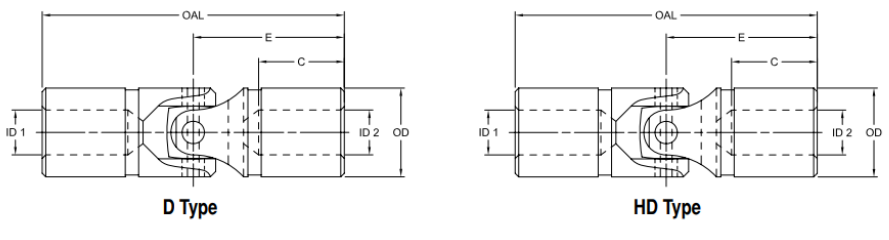
Fig. A.2. Variador de frecuencia. Adaptado de [58]

## Corriente de salida admisible [%]



Altitud de instalación sobre el nivel del mar [m]

Fig. A.3. Altitud de funcionamiento del variador de frecuencia. Adaptado de [58]



D and HD Type Dimensional Data

		OAL	E	С				ID1 -	ID2			OD				
			Main Pin	Bore	Std	Max E	Bore	Max E	Bore	Max Sq	uare/		Stat	tic*	Weight	
	Size		Height	Depth	Bore	No Ke	yway	with Ke	yway	Hex H	lole <sup>3</sup>		Breaking	Torque	Solid	Bored
Solid	Bored	in	in	in	in	in	mm	in	mm	in	mm	in	in-lb	Nm	lbs	lbs
D-1	D-1B	1.75	.88	.56	.19	.25	6	-	-	.19	4	.38	110	12	.05	.04
D-2	D-2B	2.00	1.00	.62	.25	.38	9	_	-	.25	6	.50	378	42	.10	.08
D-3	D-3B	2.25	1.12	.68	.31	.50	12	-	-	.31	8	.62	540	61	.17	.15
D-4	D-4B	2.68	1.34	.88	.38	.62	15	.44	11	.38	9	.75	768	86	.30	.25
D-5	D-5B	3.00	1.50	.88	.44	.69	17	.50	12	.44	11	.88	1,176	132	.45	.37
D-6	D-6B	3.38	1.68	1.00	.50	.75	19	.56	13	.50	12	1.00	1,560	176	.65	.55
D-7	D-7B	3.50	1.75	1.00	.56	.88	22	.62	15	.56	14	1.12	2,880	325	.85	.71
D-8	D-8B	3.75	1.88	1.06	.62	1.00	25	.75	18	.62	15	1.25	5,220	589	1.11	.94
D-10	D-10B	4.25	2.12	1.18	.75	1.12	28	.88	21	.75	19	1.50	7,920	895	1.80	1.50
D-11	D-11B	5.00	2.50	1.38	.88	1.25	31	1.00	25	.88	22	1.75	10,680	1 206	3.00	2.50
D-12	D-12B	5.44	2.72	1.50	1.00	1.50	38	1.19	30	1.00	25	2.00	15,600	1 762	4.20	3.50
D-13	D-13B	7.00	3.50	2.00	1.25	1.75	44	1.50	39	1.12	28	2.50	33,120	3 742	8.50	7.20
D-14	D-14B	9.06	4.53	2.75	1.50	2.00	50	1.81	48	1.38	35	3.00	65,400	7 389	16.00	13.00

Notes:

- \* indicates: This is not a recommended operating torque.
- 3 indicates: Square and hex bores are measured across the flats.
- Operation of all universal joints is determined by the angle/speed combinations of the application. Consult Lovejoy Engineering for specific limitations and recommendations.
- Applications that fall outside the limitations of these tables should be referred to Lovejoy Engineering for assistance.

Fig. A.4. Datos de dimensiones de la junta universal tipo D y HD. [50]

SIEMENS Convertidor SINAMICS V20

Puesta en marcha Puesta en marcha rápida

#### **Funciones**

Este menú se ha diseñado para la configuración sencilla de los datos nominales de la placa de características del motor.

#### Configuración de datos del motor

#### Menú de texto

Si establece P8553 en 1, los números de los parámetros de este menú se sustituyen por un texto breve.

#### Configuración de parámetros

#### Nota

En la tabla siguiente, "•" indica que el valor de este parámetro se debe introducir según la placa de características del motor.

Parámetro	Nivel de acceso	Función	Menú de texto (si P8553 = 1)
P0100	1	Selección de 50/60 Hz	
		=0: Europa [kW], 50 Hz (valor predeterminado de fábrica)	EU-U5
		=1: Norteamérica [hp], 60 Hz	(EU - US)
		=2: Norteamérica [kW], 60 Hz	(EU - US)
P0304[0] •	1	Tensión nominal del motor [V]	
		Tenga en cuenta que la entrada de los datos de la placa de características tiene que corresponder con el cableado del motor (en estrella/triángulo).	(MOT V)
P0305[0] •	1	Corriente nominal del motor [A]	
		Tenga en cuenta que la entrada de los datos de la placa de características tiene que corresponder con el cableado del motor (en	(MOT A)
D0007[0] •	1	estrella/triángulo).	, , ,
P0307[0] •	1	Potencia nominal del motor [kW/hp]	P0100 = 0 o 2:
		Si P0100 = 0 o 2, unidad de potencia del motor = [kW] Si P0100 = 1, unidad de potencia del motor = [hp]	Not P
			(MOT P)
			P0100 = 1:
			NothP
			(MOT HP)
P0308[0] •	1	Factor de potencia nominal del motor (cosφ)	
		Visible solamente cuando P0100 = 0 o 2	ПСо5
			(M COS)
P0309[0] •	1	Eficiencia nominal del motor [%]	
		Visible solamente cuando P0100 = 1	N EFF
		El ajuste 0 produce el cálculo interno del valor.	(M EFF)
P0310[0] •	1	Frecuencia nominal del motor [Hz]	NF-E9
			(M FREQ)
P0311[0] •	1	Velocidad nominal del motor [RPM]	п грп
			(M RPM)
P1900	2	Selección de la identificación de datos del motor	
		= 0: Deshabilitada	Not id
		= 2: Identificación de todos los parámetros en parada	(MOT ID)

Convertidor SINAMICS V20 Instrucciones de servicio, 02/2013, A5E31842763

Fig. A.5. Puesta en Marcha Rápida Sinamics V20. Adaptado de [57]

#### Н

AISI: 1045 WN: 1.1191 DIN: CK45

» Aleación promedio: C 0,45 Si 0,30 Mn 0,70 %

» Color de identificación: Rojo/Blanco/Rojo

» Estado de suministro:
 » Formato de suministro:
 » Barras redondas, platinas

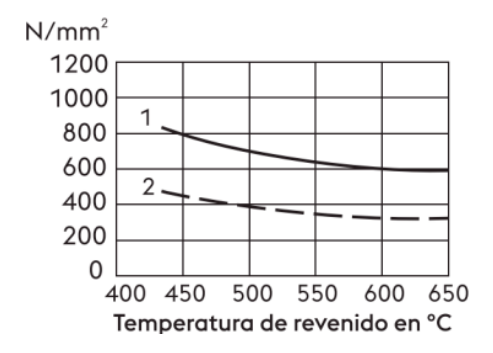
#### ACERO FINO AL CARBONO DE ALTA CALIDAD

Gran pureza de fabricación y estricto control de calidad.

**APLICACIONES:** Partes de maquinaria y repuestos sometidos a esfuerzos normales; árboles de transmisión, ejes, pernos, tuercas, ganchos, pines de sujeción, pasadores, cuñas, chavetas, etc., también para herramientas de mano, portamatrices, etc.

#### INDICACIONES PARA EL TRATAMIENTO TÉRMICO

Forjado °C	Normalizado °C	Recocido	Tem	ple °C	Revenido	Nitruración		
		(enfriamiento lento en el	Al agua	Al aceite (dimensiones	(según el uso)	(en baño de sales)		
		horno) °C		menores)	°C	°C		
850-1100	840-880	650-700	820-850	830-860	100-300	580		



- 1.- Resistencia a la tracción
- 2.- Límite de Fluencia

	PROPIEDADES MECANICAS					
Estado de suministro	Diámetro Límite de fluencia N/mm²		Resistencia a la tracción N/mm²	Alargamiento (Lo=5d) % mín.	Contracción % mín.	
Normalizado	-	370	650	10	35	
Recocido -	16-100	340	650-750	17	35	
	100-250	330	580-700	18	-	

#### SOLDADURA:

- » Con soldadura especial de alta resistencia
- » Según tamaño y complejidad del trabajo, se recomienda un precalentamiento entre 200-300°C y el uso de electrodos **Böhler UTP 76, diamondspark Ni1 RC (C1), diamondspark Ni1 RC, diamondspark Ni2 RC, Böhler UTP 6020.**

**Nota:** La información brindada en la presente hoja técnica es de carácter referencial. Para información más detallada, por favor, solicitar asesoría técnica.

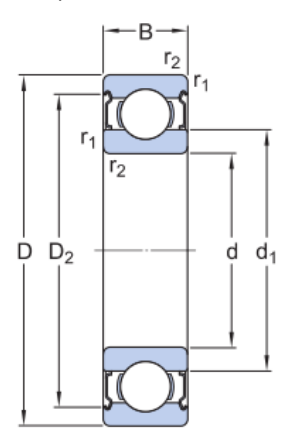


www.voestalpine.com/highperformancemetals/peru www.bohlerperu.com

Fig. A.6. Ficha técnica del eje

# 16002-2Z

Rodamiento rígido de bolas con sellos o placas de protección



#### Dimensiones:

15 mm	Diámetro interno
32 mm	Diámetro exterior
8 mm	Ancho
≈20.5 mm	Diámetro del resalte
≈28.2 mm	Diámetro del rebaje
mín. 0.3 mm	Dimensión del chaflán
	32 mm 8 mm ≈20.5 mm ≈28.2 mm

#### Datos del cálculo:

Capacidad de carga dinámica básica	С	5.85 kN
Capacidad de carga estática básica	C <sub>0</sub>	2.85 kN
Carga límite de fatiga	Pu	0.12 kN
Velocidad de referencia		50 000 r/min
Velocidad límite		26 000 r/min
Factor de carga mínima	k <sub>r</sub>	0.02
Factor de cálculo	$f_0$	14

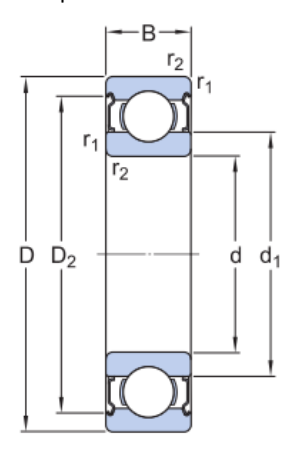
#### Masa:

Masa de rodamiento	0.0281 kg

Fig. A.7. Ficha técnica del Rodamiento 16002-2z. Adaptado de [59]

# 624-2Z

Rodamiento rígido de bolas con sellos o placas de protección



#### Dimensiones:

d	4 mm	Diámetro interno
D	13 mm	Diámetro exterior
В	5 mm	Ancho
$d_1$	≈6.95 mm	Diámetro del resalte
D <sub>2</sub>	≈11.2 mm	Diámetro del rebaje
r <sub>1,2</sub>	mín. 0.2 mm	Dimensión del chaflán

### Datos del cálculo:

Capacidad de carga dinámica básica	С	9.36 kN
Capacidad de carga estática básica	Co	0.29 kN
Carga límite de fatiga	Pu	0.012 kN
Velocidad de referencia		110000 r/min
Velocidad límite		53000 r/min
Factor de carga mínima	k <sub>r</sub>	0.025
Factor de cálculo	fo	7.3

### Masa:

Masa de rodamiento	0.0031 kg

 $\bf Fig.~A.8.$ Ficha técnica del Rodamiento 624-2<br/>z. Adaptado de [59]

# B | Cotización de Equipos

# Comerciales



RUC N° 20602216609

COTIZACIÓN: Nº 0033-2025 FECHA: 03 de junio del 2025

Señores:

Universidad Nacional de San Antonio Abad del Cusco

#### **EQUIPOS GUNT- ALEMANIA**

ITEM PAQ.	DESCRIPCIÓN	CANTIDAD	MODELO	VENTA UNITARIO	VE	ENTA TOTAL
1	Vibraciones torsionales libres y forzadas	1	TM 140	S/ 242,000.00	S/	242,000.00
	PRECIO TOTAL INCLUIDO IGV					242,000.00

#### **CONSIDERACIONES:**

- \* PRECIOS: Los precios se entienden en SOLES incluido IGV
- GARANTÍA: 12 meses contra toda falla de fabricación.
- INCLUYE: instalación y capacitación en el uso y manejo de los equipos, así como el soporte técnico respectivo.
- \* TIEMPO DE ENTREGA: 210 días
- \* MODALIDAD: Llave en mano.
- \* LUGAR DE ENTREGA: En las instalaciones de almacén central de la universidad.
- ❖ VALIDEZ DE LA OFERTA: 30 días

Atentamente,

TECNOLOGIA Y EQUIPAMIENTO KANG S.A.

Cristhian Reyes - A. Comercial Celular: +511 924028640

> Calle Enrique Palacios № 360, oficina 307 – Miraflores Correo: <u>tecnologia.kang@qmail.com</u>



51 998 124 556 - 51 966 686 250

estatales@zamtsu.com - www.zamtsu.com

Enrique Barrón 1065, Santa Beatriz, Cercado de Lima



#### PROFORMA Nº 1951/ZC/25

Lima, 17 de junio 2025



Exsbo

G**™**INSTEK

OPTIKA

NAUGRA

**L**TLutron

UNIVERSIDAD NACIONAL DE SAN ANTONIO ABAD DEL CUSCO RUC: 20172474501

Móvil: 951728416

Señores:

Correo: 173013@unsaac.edu.pe

Dirección: Av. De la Cultura Nº 733 - Cusco.

#### Att. Ruth Maritza Cuyo Lipa

En a	aten	ción a su solicitud, ponemos a su consideración la siguiente d	cotizacion:	
ITEMS	C A N	DESCRIPCION	PRECIO TOTAL S/ INC. IGV	PRECIO TOTAL S/ INC. IGV
01	01	EQUIPO DE ESTUDIO DE VIBRACIONES TORSIONALES, CONTROLADO DESDE COMPUTADOR (PC), CON SCADA Marca: Edibon Modelo: MEVTC Procedencia: España	82,600.00	82,600.00

dma

KELLER

#### **Condiciones Comerciales:**

I.G.V.:	Incluido el 18%					
Forma de Pago:	FACTURA A 10 DIAS					
Entrega:	Indicado en el Ítem.					
Lugar de Entrega:	En los Almacenes de su entidad.					
Validez:	15 días.					
Garantía:	12 meses por defecto de fábrica.					
RNP:	VIGENTE - BIENES Y SERVICO					
RUC:	20108605392					

#### **Cuentas Corrientes:**

Entidades Bancarias:	Cuenta en Soles (S/)	Código de Cuenta Interbancaria (CCI)				
Scotiabank (*)	0587168626	SB-00924120058716862614				
ВСР	193-1726807093	BCP-00219300172680709319				

<sup>\*</sup> Cta. Ahorros

Ing. Francisco Quispe López Jefe de Ventas Estatales y Entidades Educativas Central: 417-7200 anexo 206 Celular: 99 8124556 RPE: 966686250

E-mail: estatales@zamtsu.com
Msn: estatales1@hotmail.com
www.zamtsu.com



Fig. B.2. Cotización Equipos EDIBON

# C | Formato de Inspección y Experimentación



#### Módulo para el Estudio de la Absorción Dinámica de Vibraciones Torsionales

	Hoja de In	spección										
Equipo:	Módulo para el Estudio de la Absorción Dinámica	de Vibracior	nes Torsionale	S	Fecha:							
Inspecciono:	1											
Frecuencia:					- Planeth-							
Protección personal y	Sistema en Movimiento: (Precaución)											
Precaución:	Riesgo Eléctrico: (Cables, equipos eléctricos)	4 *										
Equipo	Descripción de la Tarea	Registro / Observación										
	Estado de limpieza general	Visual	Limpio	Limpieza								
cción	Verificar que las conexiones eléctricas del motor no estén dañadas.	Visual	OK	Aviso								
la Absor Torsiona	Asegurar que el variador de frecuencia se encuentre limpio y sin conexiones sueltas. Dar aviso si hay conexiones sueltas.	Visual	OK	Limpio / Aviso								
Módulo para el Estudio de la Absorción Dinámica de Vibraciones Torsionales	Verificar integridad y alineación entre ejes y soportes. Alinear y limpiar en caso de ser necesario.	Visual	Alineado y limpio	Ajuste								
el Est	Confirmar el montaje correcto del mecanismo atenuador	Visual	Fijo	Ajustar / Corregir								
ulo para ámica d	Inspeccionar los alrededores buscando vibraciones extrañas. Dar aviso en caso de encontrarlas	Auditivo	Sin vibraciones	Aviso								
) ii	Realizar ajustes menores	Manual	OK	Ejecutar								
M	Revisar presencia de ruidos anómalos durante la operación.	Sin ruido	Aviso									

Fig. C.1. Formato de Inspección



#### UNIVERSIDAD NACIONAL DE SAN ANTONIO ABAD DEL CUSCO FACULTAD DE INGENIERÍA ELÉCTRICA, ELECTRÓNICA, INFORMÁTICA Y MECÁNICA ESCUELA PROFESIONAL DE INGENIERÍA MECÁNICA



#### LABORATORIO DE VIBRACIONES MECÁNICAS

#### TEMA: Estudio de la Absorción Dinámica de Vibraciones Torsionales

#### I. Objetivo:

II. Materiales y Equipos: Módulo para el Estudio de la Absorción Dinámica de Vibraciones Torsionales

Parámetros Iniciales									
Sistema Generador de Vibraciones Torsionales									
Motor Eléctrico	0.75 <i>hp</i>								
Momento de Inercia del Volante	$0.0006 \ kgm^2$								
Rigidez del resorte	0.6 Nm/rad								
Absorción Dinámica de Vibraciones Torsionales									
Masa de péndulos	45 <i>gr</i> , 90 <i>gr</i> ,135 <i>gr</i> y 180 <i>gr</i>								

#### III. Experimentación:

#### GENERACIÓN DE VIBRACIONES TORSIONALES

Estado de Resonancia (Hz)											
Velocidad del motor	Frecuencia Natural	Frecuencia de resonancia (Segundo Armónico <i>n</i> = 2)									

#### ABSORCIÓN DINÁMICA

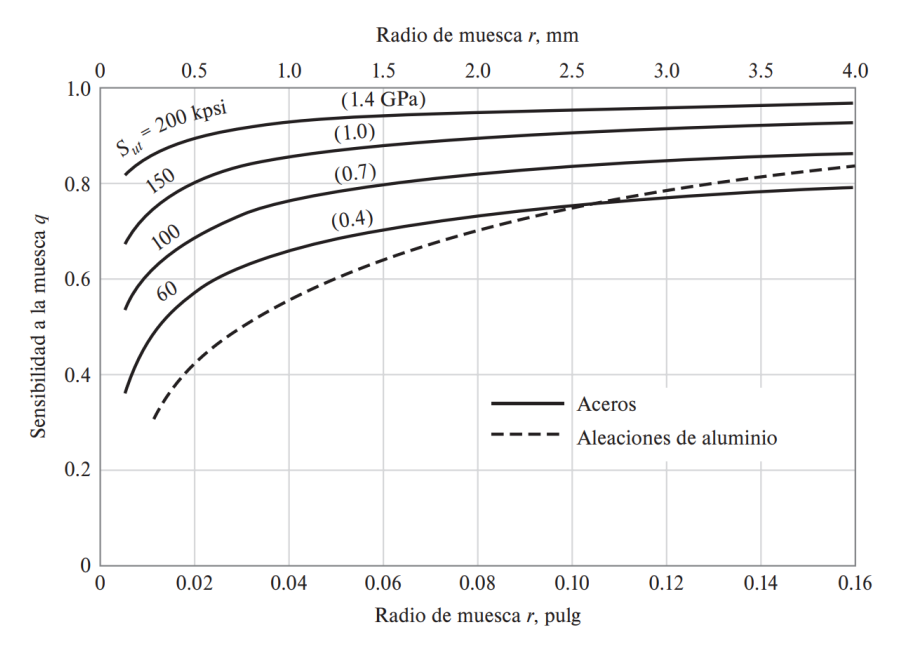
N°	Masa del péndulo (gr)	Resonancia Ω (Hz)	Frecuencia del péndulo $\omega_p^*$	Atenuación Observable
1				SI() NO()
2				SI() NO()
3				SI() NO()
4				SI() NO()

<sup>\*</sup>Frecuencia del péndulo:  $\omega_p = \Omega n = \Omega \sqrt{\frac{a}{l}}$ 

#### IV. Resultados y Conclusiones

Fig. C.2. Ficha de Experimentación para el Estudio de la Absorción Dinámica de Vibraciones Torsionales

## D | Figuras y Tablas para el Diseño



**Fig. D.1.** Sensibilidad a la muesca sometidos a flexión inversa de cargas axiales inversas. Adaptado de [49]

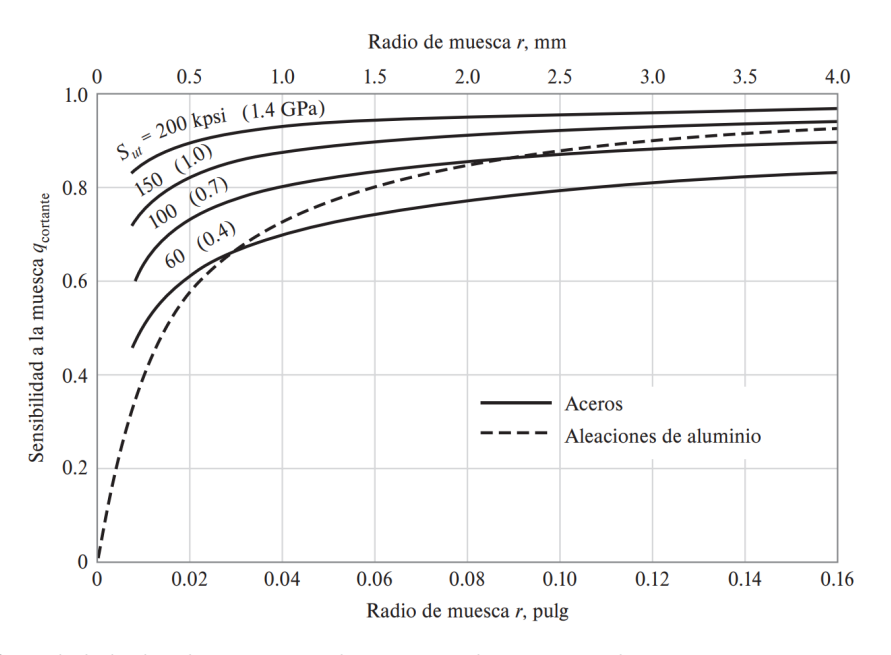
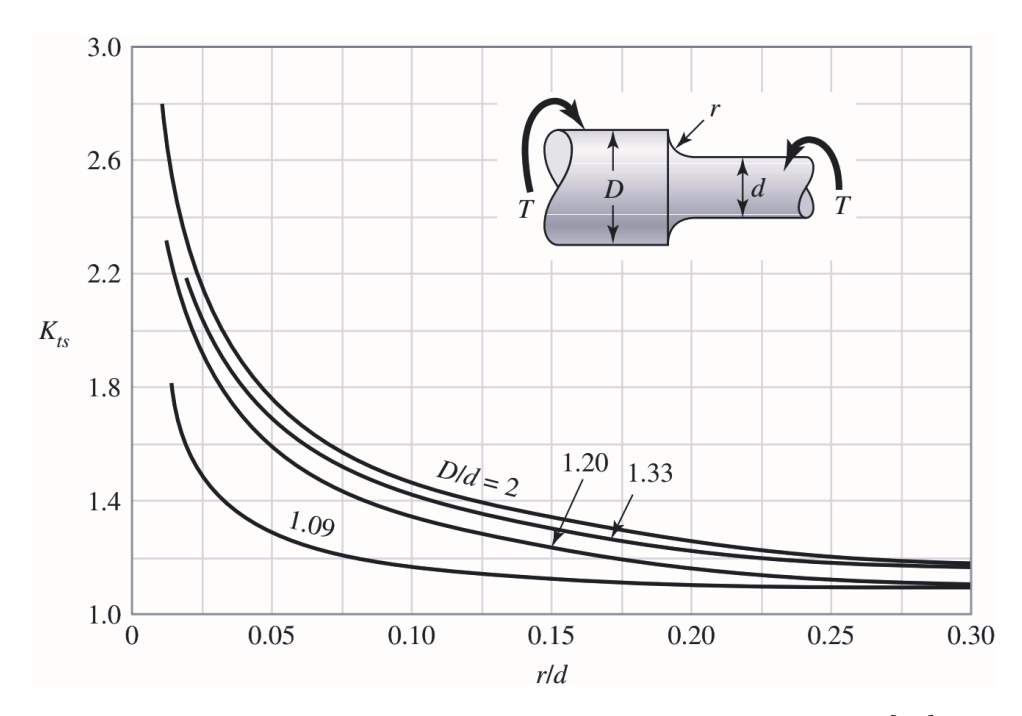


Fig. D.2. Sensibilidad a la muesca de materiales sometidos a torsión inversa. Adaptado de [49]



 ${\bf Fig.~D.3.}$  Eje redondo con filete en torsión. Adaptado de [49]

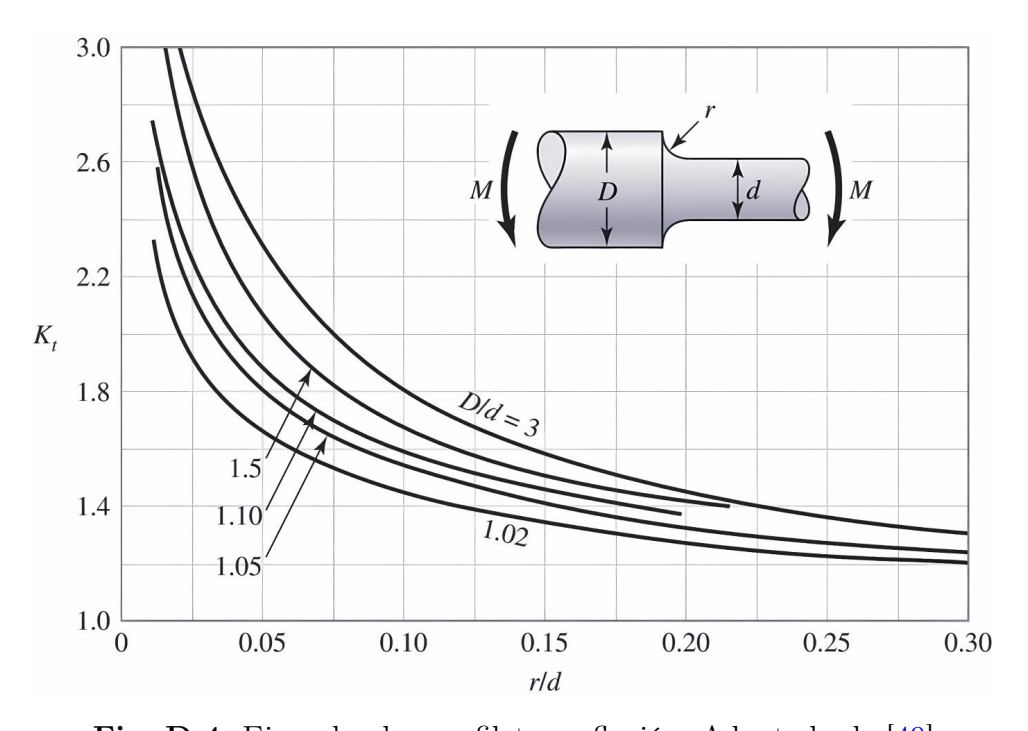


Fig. D.4. Eje redondo con filete en flexión. Adaptado de [49]

Tipo de máquina	Vida especificada (h)
Electrodomésticos, máquinas agrícolas, instrumentos,	300 - 3000
equipos técnicos de uso médico	
Máquinas utilizadas intermitentemente o durante breves	3000 - 8 000
períodos: herramientas eléctricas portátiles, dispositivos	
de elevación en talleres, máquinas y equipos para la	
construcción	
Máquinas utilizadas intermitentemente o durante breves	8 000 - 12 000
períodos donde se requiere una alta confiabilidad	
de funcionamiento: ascensores (elevadores), grúas para	
productos embalados o eslingas para tambores, etc.	
Máquinas para 8 horas de trabajo diario, no siempre	10 000 - 25 000
utilizadas al máximo: transmisiones por engranajes de uso	
general, motores eléctricos para uso industrial, trituradoras	
giratorias	20,000,000
Máquinas para 8 horas de trabajo diario utilizando	20 000 - 30 000
plenamente sus capacidades: herramientas mecánicas,	
máquinas para carpintería, máquinas para la industria de	
la ingeniería, grúas para materiales a granel, ventiladores,	
cintas transportadoras, equipos de impresión, separadores	
y centrifugadoras	40 000 - 50 000
Máquinas para 24 horas de trabajo continuo: unidades de engranajes para laminadoras, maquinaria eléctrica de	40 000 - 50 000
tamaño medio, compresores, tornos de extracción para	
minas, bombas, maquinaria textil	
Maquinaria para energía eólica, incluidos los rodamientos	30 000 - 100 000
del eje principal, de orientación, de la caja de engranajes	30 000 - 100 000
de cambio de paso, del generador	
Maquinaria para abastecimiento de agua, hornos giratorios,	60 000 - 100 000
máquinas de trenzado de cables, maquinaria de propulsión	00 000 100 000
para buques de alta mar	
Maquinas eléctricas de gran tamaño, plantas de generación	100 000 - 200 000
de energía, bombas para minas, ventiladores para minas,	200 000 200 000
rodamientos para ejes en túnel para buques de alta mar	
- Todamionos para ojos on vanor para suques de ana mar	

**Tabla D.1.** Valores orientativos de la vida especificada de los diferentes tipos de máquinas. [60]

Shaft diameter					Ring				Groove					Supplementary data <sup>d</sup>								
d <sub>1</sub>	s		4	d <sub>3</sub>	а	b	d <sub>5</sub>	Mass per 1 000 units in kg			m	t	n <sub>4</sub>	d4	$F_{N}$	$F_{R}$	g	$F_{Rg}$	n <sub>abl</sub>	Nominal size of pliers as		
Nominal size		perm. dev.		perm. dev.	max.	≈	min.	≈		perm. dev.	H13		min.		kN	kN		kN	min <sup>-1</sup>	in DIN 5254		
3	0,4		2,7		1,9	0,8	1,0	0,017	2,8	0 -0,04	0,5	0,10	0,3	7,0	0,15	0,47	0,5	0,27	360 000			
4	0,4		3,7	+0,04 -0.15	2,2	0,9	1,0	0,022	3,8		0,5	0,10	0,3	8,6	0,20	0,50	0,5	0,30	211 000			
5	0,6	0 4,7 -0,15 5,6 +0,06 7,4 -0,18			0 4.7	-0,13	2,5	1,1	1,0	0,066	4,8	0 -0,05	0,7	0,10	0,3	10,3	0,26	1,00	0,5	0,80	154 000	
6	0,7		2,7	1,3	1,2	0,084	5,7		0,8	0,15	0,5	11,7	0,46	1,45	0,5	0,90	114 000	3				
7	0,8		7.4 +0,06		3,1	1,4	1,2	0,121	6,7	0	0,9	0,15	0,5	13,5	0,54	2,60	0,5	1,40	121 000			
8	0,8			3,2	1,5	1,2	0,158	7,6	-0,06	0,9	0,20	0,6	14,7	0,81	3,00	0,5	2,00	96 000				
9	1,0		8,4		3,3	1,7	1,2	0,300	8,6		1,1	0,20	0,6	16,0	0,92	3,50	0,5	2,40	85 000	İ		
10	1,0		9,3		3,3	1,8	1,5	0,340	9,6		1,1	0,20	0,6	17,0	1,01	4,00	1,0	2,40	84 000	3; 10		
11	1,0		10,2		3,3	1,8	1,5	0,410	10,5		1,1	0,25	0,8	18,0	1,40	4,50	1,0	2,40	70 000			
12	1,0		11,0		3,3	1,8	1,7	0,500	11,5		1,1	0,25	0,8	19,0	1,53	5,00	1,0	2,40	75 000			
13	1,0	0 -0.06	11,9	+0,10	3,4	2,0	1,7	0,530	12,4	0 -0.11	1,1	0,30	0,9	20,2	2,00	5,80	1,0	2,40	66 000	1		
14	1,0	.,	12,9	-0,36	3,5	2,1	1,7	0,640	13,4	]	1,1	0,30	0,9	21,4	2,15	6,35	1,0	2,40	58 000	10		
15	1,0		13,8		3,6	2,2	1,7	0,670	14,3		1,1	0,35	1,1	22,6	2,66	6,90	1,0	2,40	50 000			
16	1,0		14,7		3,7	2,2	1,7	0,700	15,2		1,1	0,40	1,2	23,8	3,26	7,40	1,0	2,40	45 000	1		
17	1,0		15,7		3,8	2,3	1,7	0,820	16,2		1,1	0,40	1,2	25,0	3,46	8,00	1,0	2,40	41 000			

 $\bf Tabla\ D.2.$  Especificaciones de las dimensiones del anillo de retención de tipo normal y la ranura

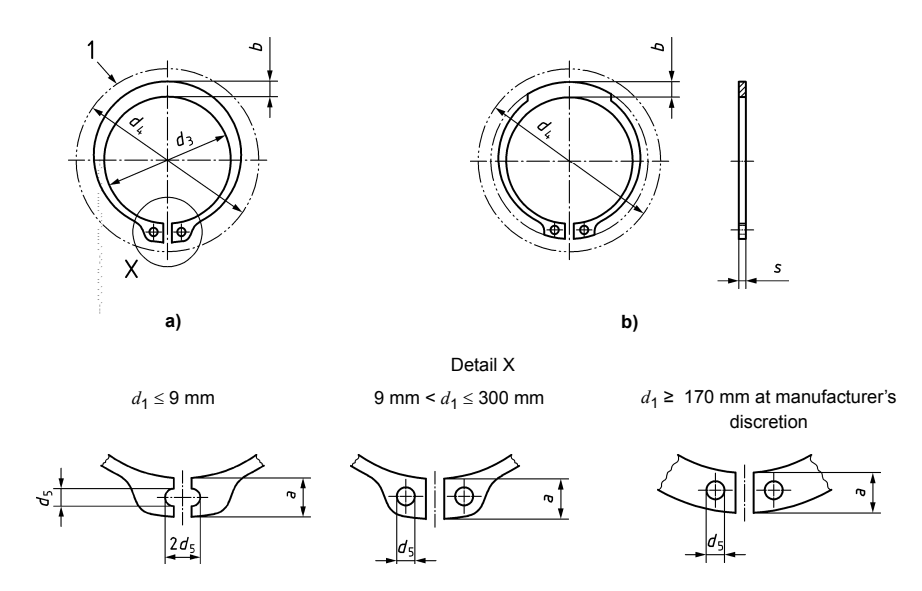


Fig. D.5. Dimensiones del anillo de retención

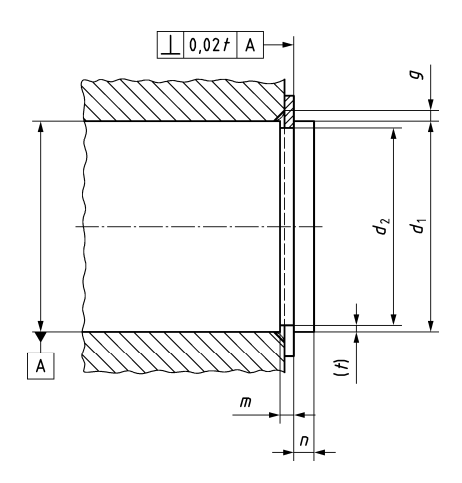


Fig. D.6. Ejemplo de instalación

### E | Códigos de Matlab

### E.1. Código de Respuesta del Sistema no Linealizado

```
1 clear
2 clc
₃ close all
5 % Condiciones iniciales
6 y0=[0 0 0 0]'; % [theta, thetadot phi phidot]
7 tspan=linspace(0,8,1500);
9 % Resolver con ode45
10 [t,y]=ode45(@funcion,tspan,y0);
12 % Extrayendo el ángulo y la velocidad angular de y-vector
theta_sin_linealizado=y(:,1); % Ángulo del rotor
14 thetadot=y(:,2); % Velocidad angular del rotor
phi=y(:,3); % Ángulo del péndulo
phidot=y(:,4); % Velocidad angular del péndulo
  %%% Plots vs. tiempo %%%
20 figure(1) % Plot rotor angle
plot(t, theta_sin_linealizado, 'k', 'LineWidth', 1)
22 grid on
23 xlabel('t(seg) ', 'Interpreter', 'latex', 'FontSize', 14)
24 ylabel('$\theta_(t)$ (rad)', 'Interpreter', 'latex', 'FontSize', 14)
_{26} % Encuentra el índice correspondiente al tiempo t = \frac{5}{2} segundos
t_{5} = t_{1};
29 % Extrae los datos de posición del péndulo después de 5 segundos
```

```
30 theta_after_15s = phi(t_5s_index:end);
32 % Cálculo de la amplitud promedio del ángulo phi
amplitud_promedio_phi = (max(theta_after_15s) - min(theta_after_15s))/2;
34 display(amplitud_promedio_phi)
35 display(max(theta_after_15s))
36 display(min(theta_after_15s))
38 set(gca, 'FontSize', 12); % Tamaño de fuente de los números de los ejes
set(gca, 'LineWidth', 0.8); % Grosor de línea de los ejes
40 set(gca, 'FontName', 'Times New Roman'); % Tipo de fuente de los ejes
42 ruta = 'C:\Matlab\Variables\theta_sin_linealizado';
43 save(ruta, 'theta_sin_linealizado')
45 % figure(2) % Plot rotor angular speed
46 % plot(t,thetadot), grid
47 % xlabel('time [s]')
48 % ylabel('thetadot(t), [degrees/s]')
50 figure(3) % Plot absorber angle
51 plot(t,phi), grid
52 xlabel('time [s]')
53 ylabel('phi(t), [degrees]')
56 % figure(4) % Plot absorber angular speed
57 % plot(t,phidot), grid
58 % xlabel('time [s]')
59 % ylabel('phidot(t), [degrees/s]')
61 %%
62 % [funcion.m]
63 % Archivo de función para describir la dinámica de CPVA
65 function ydot=funcion(t,y)
66 a=0.08; % Longitud del centro del VI a la articulación del péndulo
67 1=0.02; % Longitud del punto de articulación al CG del péndulo
68 m=1.5; % Masa del péndulo
```

```
69 Tm=14.231; % Par en (resonancia)
70 Omega=26; % Velocidad del motor (resonancia)
71 K=18.928; % Constante de rigidez
72 J=0.007; % Momento de inercia del volante
<sub>73</sub> beta = 20*pi/180; % Ángulo del eje de entrada y de salida
_{74} A = (\cos(beta)^2+1)/(2*\cos(beta));
75 B = (1-\cos(beta)^2)/(2*\cos(beta));
76 n=2; % Número de armónica de la fuente de excitación
77 Ta=(A-B*cos((n)*Omega*t)); % Fuente de excitación externa
78 ca=0.05; % Coeficiente de amortiguamiento del sistema
79 cs=0.01; % Coeficiente de amortiguamiento del péndulo
  % Constantes para la matriz A para su simplicidad
k1=J+m*(a^2+l^2+a*l*cos(y(3)));
k^{2}=m*1*(1+a*\cos(y(3)));
k^3 = m \times 1 \times (1 + a \times \cos(y(3)));
85 k4=m*1<sup>2</sup>;
^{87} % A*ydot=f => ydot=A^(-1)*f
89 A=[1 0 0 0;
90 0 k1 0 k2
91 0 0 1 0;
92 0 k3 0 k4];
_{94} f=[y(2);
95 Tm*Ta-ca*y(2)+2*m*a*1*sin(y(3))*(y(2)+0mega)*y(4)+m*a*1*sin(y(3))*y(4)^2-K*
      y(1);
96 y(4);
_{97} -cs*y(4)-m*a*l*sin(y(3))*(Omega+y(2))^2];
98 ydot=A\f;
99 end
```

### E.2. Código para la Obtención de la Amplitud pico de la Deformación Torsional vs Velocidad

```
2 clc
₃ close all
5 % Condiciones iniciales
6 y0=[0 0 0 0]';
7 tspan=linspace(0,10,1000);
9 % Rango de valores de Omega
10 Omega_valores = 0:0.25:29;
12 % Vector para almacenar las amplitudes promedio
amplitud_theta_masa = zeros(size(Omega_valores));
  % Iterar sobre diferentes valores de Omega (velocidad del motor)
16 for i = 1:length(Omega_valores)
      Omega = Omega_valores(i);
      % Resolver con ode45
      [t,y] = ode45(@(t,y) dynsystem(t, y, Omega), tspan, y0);
20
      % Extraer el ángulo del vector y
      theta_sin_pendulo = y(:,1)*(180/pi); % Rotor angle
      % Encuentra el indice correspondiente al tiempo t >= 7 segundos
      t_7s_index = find(t >= 7, 1);
26
      % Extrae los datos de posición del péndulo después de 7 segundos
      theta_after_7s = theta_sin_pendulo(t_7s_index:end);
30
      % Calcula la amplitud pico de la deflexión torsional
      amplitud_pico = (max(abs(theta_after_7s))); %
33
      % Almacena la amplitud promedio en el vector
      amplitud_theta_masa(i) = amplitud_pico;
36 end
38 % Trazar la gráfica de amplitud pico vs Omega
39 figure(1);
40 plot(Omega_valores, amplitud_theta_masa, 'k-o');
```

```
41 xlabel('Omega');
42 ylabel('Amplitud Promedio');
43 title('Amplitud Promedio vs Omega');
44 grid on;
46 % Guardar los resultados en una variable
47 ruta = 'C:\Matlab\Amplitud total\amplitud_theta_masa';
48 save(ruta, 'amplitud_theta_masa');
function ydot=dynsystem(t, y, Omega)
51 a=0.046; % Longitud del centro del VI a la articulación del péndulo
52 1=0.0115; % Longitud del punto de articulación al CG del péndulo
53 m=0.09; % Masa del péndulo
54 K=0.6144; % Rigidez del resorte
55 J=0.0006; % Momento de inercia del motor
56 b_2=0.2487; %Coeficiente de Fourier para el segundo armónico
57 n=2; % Número del armónico de la fuente de excitación
Ta=-J*b_2*(16)^2*sin(n*Omega*t); % Torque dinámico
59 ca=0.005; % Coeficiente de amortiguamiento del rotor
60 cs=0.001; % Coeficiente de amortiguamiento del péndulo
62 % Constantes para la matriz A para su simplicidad
63 k1=J+m*(a^2+l^2+2*a*l*cos(y(3)));
k^{2}=m*1*(1+a*\cos(y(3)));
65 \text{ k3=m*1*(1+a*cos(y(3)));}
66 k4=m*1^2;
68 % A*ydot=f => ydot=A^(-1)*f
70 A=[1 0 0 0;
71 0 k1 0 k2
72 0 0 1 0;
73 0 k3 0 k4];
_{75} f=[y(2);
_{76} Ta-ca*y(2)+2*m*a*1*sin(y(3))*(y(2)+0mega)*y(4)+m*a*1*<math>sin(y(3))*y(4)^2-K*y(1)
     );
77 y(4);
_{78} -cs*y(4)-m*a*l*sin(y(3))*(0mega+y(2))^2];
```

```
79 ydot=A\f;
80 end
```

#### E.3. Código para el Procesamiento de Imagenes

```
1 clear all:
2 clc;
4 % Crear una carpeta para guardar los fotogramas
5 outputFolder = 'fotogramas_grises';
6 if ~exist(outputFolder, 'dir')
      mkdir(outputFolder);
8 end
10 % Leer el video original
video = VideoReader('Vibración torsional.mp4');
12 outputVideo = VideoWriter('video_lento_grises.avi');
outputVideo.FrameRate = video.FrameRate / 2; % Reducir la tasa de
     fotogramas para ralentizar (ajustar según lo deseado)
14 open(outputVideo);
16 % Leer y procesar cada fotograma
17 frames = []; % Almacenar los fotogramas para ralentización
18 frameIndex = 1; % Índice para los fotogramas
19 while hasFrame(video)
      % Leer el fotograma
      frame = readFrame(video);
      % Convertir el fotograma a escala de grises
      grayFrame = rgb2gray(frame);
      % Guardar el fotograma como una imagen
      imwrite(grayFrame, fullfile(outputFolder, sprintf('frame_%04d.png',
     frameIndex)));
      frameIndex = frameIndex + 1;
28
      % Almacenar el fotograma convertido
      frames = cat(4, frames, grayFrame);
```